

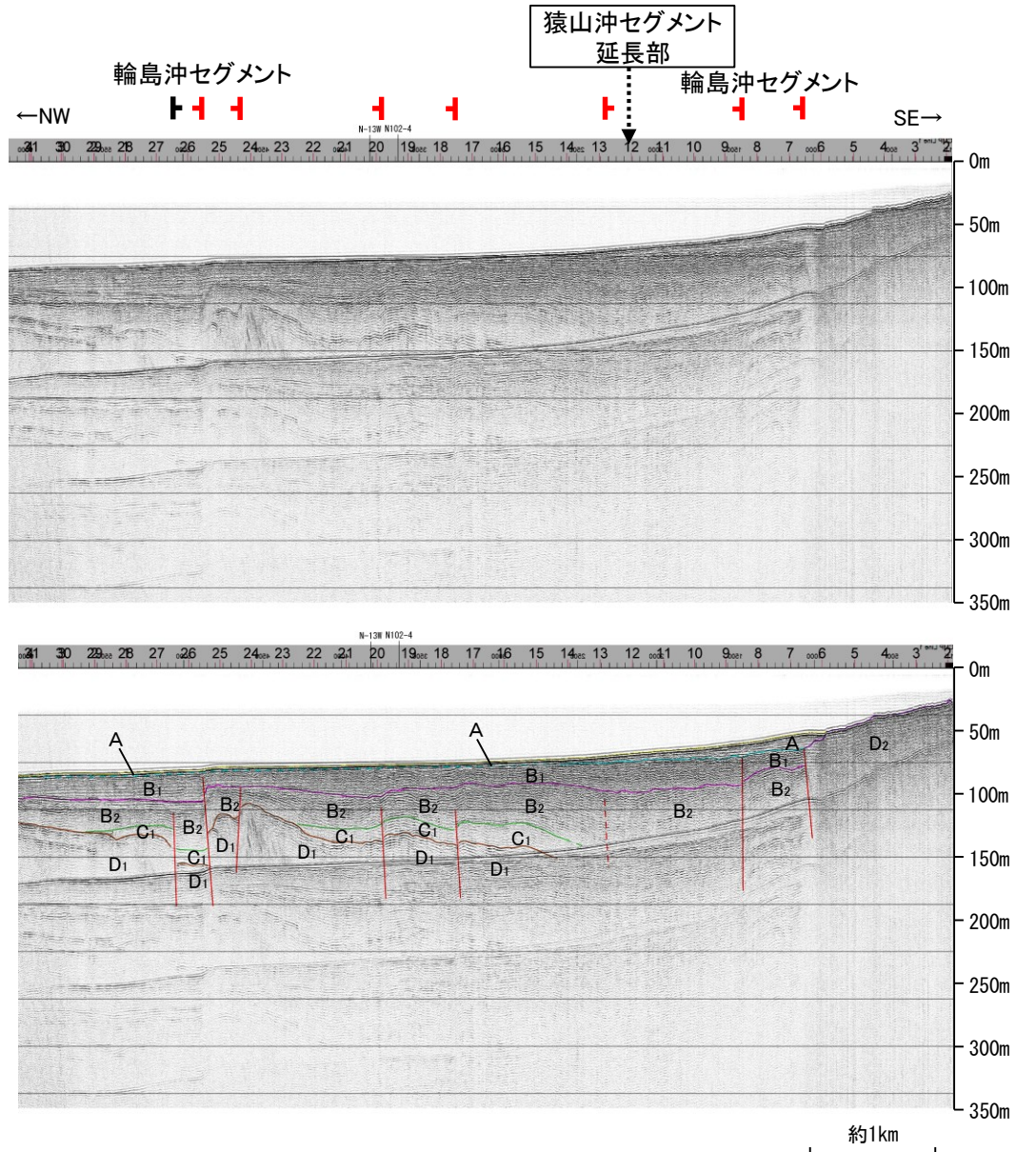
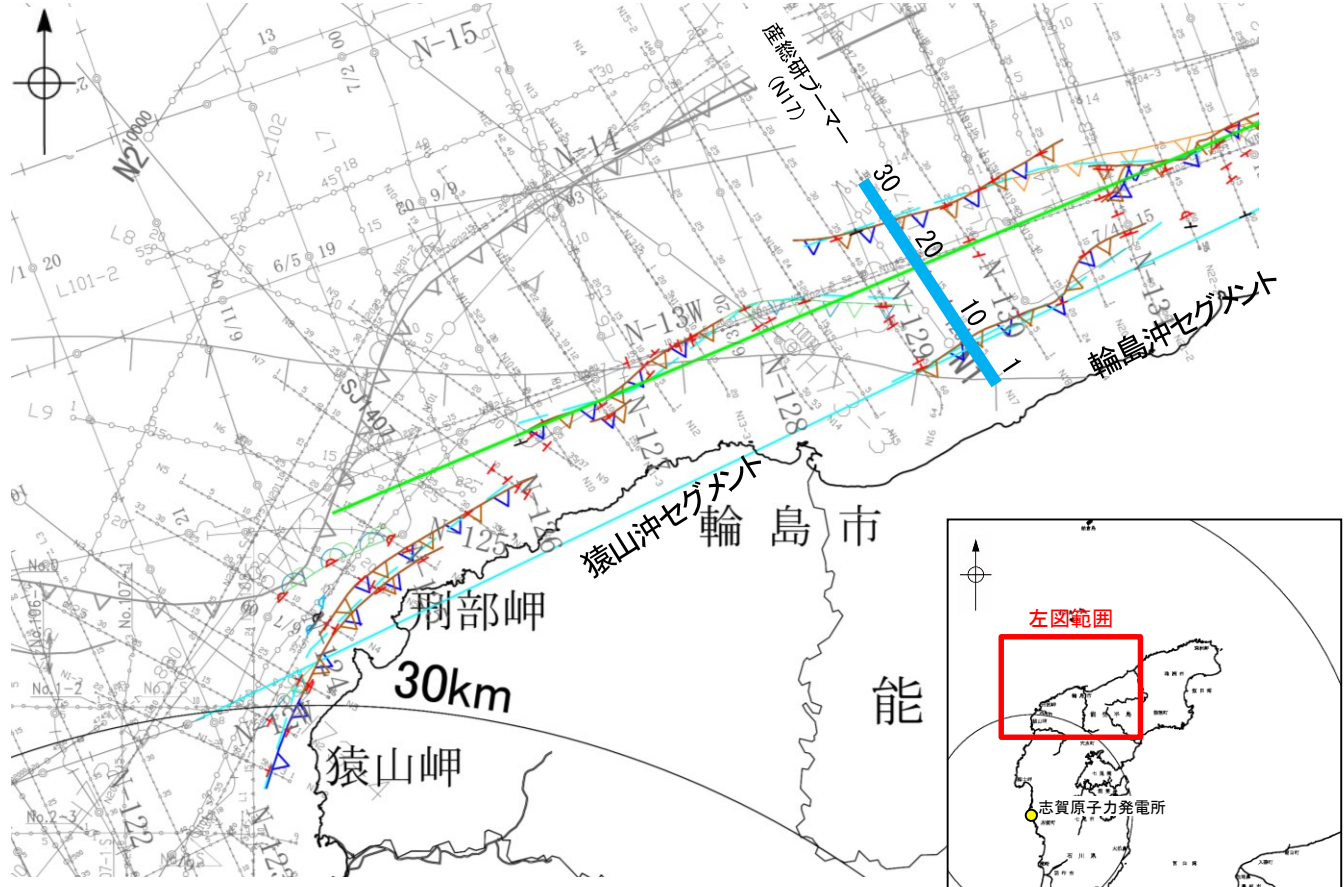
2.5.2 (4) 能登半島北部沿岸域断層帯(猿山沖セグメント)の端部 – 北東端調査 N17測線 –

○N16測線で推定した断層等の北東方延長にあたるN17測線においてD層の隆起構造は見られないこと、測点13付近に南東落ちの断層は認められるが、北西落ちの猿山沖セグメントとは隆起側が逆の断層であることから異なる構造と判断され、少なくとも猿山沖セグメントに対応する断層等を示唆するような変位、変形は認められない。

○測点6.5、測点8.5付近でB₁層及びB₂層に北西落ちの変位、測点24付近でB₂層及びD₁層に北西落ちの変位、測点25.5付近でB₁層、B₂層、C₁層及びD₁層に北西落ちの変位、測点26.5付近でB₂層、C₁層及びD₁層に南東落ちの断層が認められることから断層を推定した。これらの断層はいずれも東方へ連続し、連続性の観点から輪島沖セグメントに対応すると判断した。

○その他、測点17.5及び測点20付近でB₂層、C₁層及びD₁層に北西落ちの変位が認められることから断層を推定した。これらの断層はD層の隆起構造が顕著でないことから、猿山沖セグメントとは異なる構造と判断した。

○また、文献(井上・岡村(2010)、尾崎ほか(2019)及び国交省ほか(2014))の断層トレースも当測線まで延長していない。



位置図
凡例

- | | |
|--|--|
| <p>文献による断層
対象文献断層</p> <ul style="list-style-type: none"> 岡村(2002)による逆断層 井上・岡村(2010)による逆断層 井上・岡村(2010)による撓曲軸 井上・岡村(2010)による活断層 <p>国交省ほか(2014)による津波断層モデルの位置(破線は断層トレース)</p> <p>文科省ほか(2015)による震源断層モデルの上端位置</p> <p>対象外文献断層</p> <ul style="list-style-type: none"> 鈴木(1979)による正断層 岡村(2007a)による新第三紀逆断層 井上・岡村(2010)による逆断層 井上・岡村(2010)による撓曲軸 文部科学省研究開発局・国立大学法人東京大学地震研究所(2015)による震源断層モデルの上端位置 | <p>音探記録から推定した対象断層
(測線位置における活動性)</p> <ul style="list-style-type: none"> 尾崎他(2019)による逆断層 尾崎他(2019)による撓曲軸 尾崎他(2019)による活断層 <p>B₁層以上またはQ層に変位。変形が認められる
B₁層以上またはQ層に変位。変形の可能性が否定できない
B₁層以上またはQ層に変位。変形が認められない</p> <p>端部測線</p> |
|--|--|
- | | |
|---|--|
| <p>No. 8 調査測線 (北陸電力: スーパーカー・シングルチャンネル・約2450ジュール)</p> <p>No. 9-S 調査測線 (北陸電力: スーパーカー・シングルチャンネル・約360ジュール)</p> <p>K17 調査測線 (東京大学地震研究所: ブーマー・マルチチャンネル)</p> <p>L5 調査測線 (産業技術総合研究所: ブーマー・マルチチャンネル)</p> <p>N5 調査測線 (産業技術総合研究所: ブーマー・マルチチャンネル)</p> <p>LINE-A 調査測線 (東京大学地震研究所: エアガン・マルチチャンネル)</p> | <p>N-118 調査測線 (地質調査所: エアガン・シングルチャンネル)</p> <p>L4 調査測線 (三澤(1997): ウォーターガン・シングルチャンネル)</p> <p>N1 調査測線 (文部科学省研究開発局・国立大学法人東京大学地震研究所: エアガン・マルチチャンネル)</p> <p>H73-1 調査測線 (エアガン・マルチチャンネル)</p> <p>SJ1407 調査測線 (海洋研究開発機構: エアガン・マルチチャンネル)</p> |
|---|--|

地質時代	地層名	
第四紀	完新世	A層
	後期	B ₀ 層
	更新世	B ₁ 層 B ₂ 層 B ₃ 層
新第三紀	鮮新世	C ₁ 層 C ₂ 層
	中新世	D ₁ 層 D ₂ 層
先第三紀	D ₃ 層	

A層とB層の細区分ができない層は、Q層と称する。

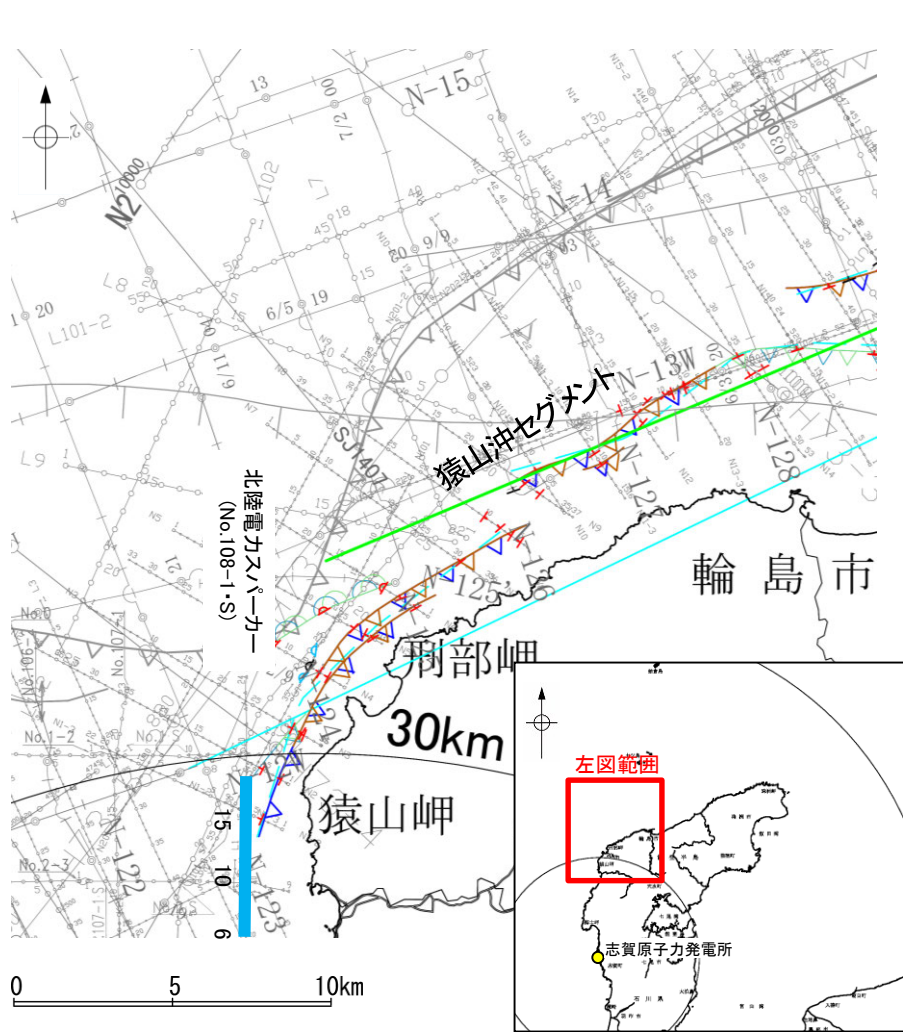
枠囲みの内容は機密事項に属しますので公開できません。

この図面は、産業技術総合研究所の海上音波探査の記録を北陸電力が独自に解析・作成したものである

断層(破線は推定)

2.5.2 (4) 能登半島北部沿岸域断層帯(猿山沖セグメント)の端部 —南西端調査 No.108-1・S測線—

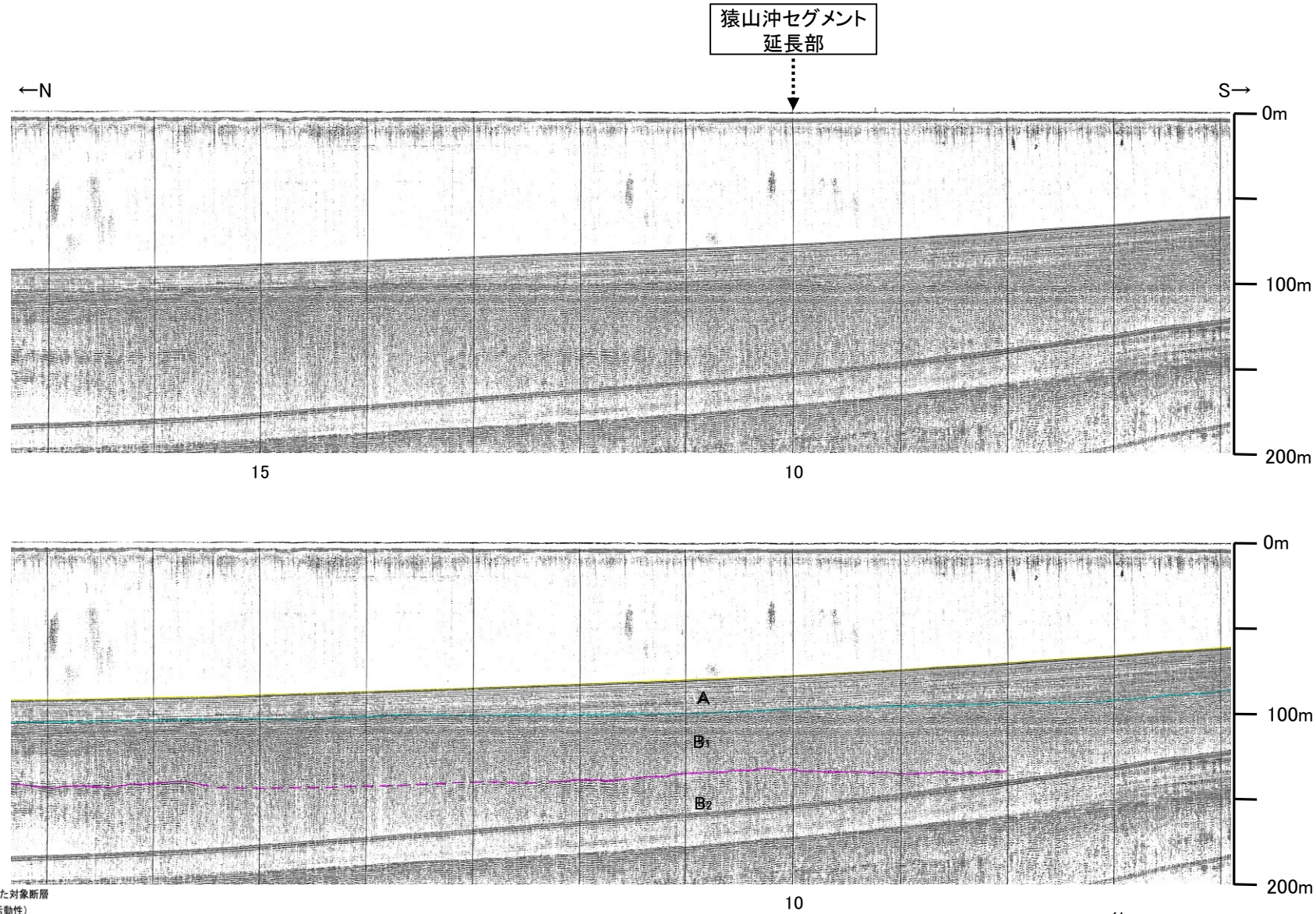
○N1測線で推定した断層等の南西方延長にあたるNo.108-1・S測線において、いずれの地層にも断層等を示唆するような変位、変形は認められない。
○また、文献(井上・岡村(2010), 尾崎ほか(2019)及び国交省ほか(2014))の断層トレースも当測線まで延長していない。



位置図

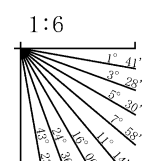
凡 例

- | | |
|---|---|
| <p>文献による断層
対象文献断層</p> <ul style="list-style-type: none"> 井上・岡村(2010)による逆断層 井上・岡村(2010)による拗曲軸 井上・岡村(2010)による活断層 国交省ほか(2014)による津波断層モデルの位置(破線は断層トレース) 文科省ほか(2015)による震源断層モデルの上端位置 <p>対象外文献断層</p> <ul style="list-style-type: none"> 鈴木(1979)による正断層 岡村(2007a)による新第三紀逆断層 井上・岡村(2010)による逆断層 井上・岡村(2010)による拗曲軸 文部科学省研究開発局・国立大学法人東京大学地震研究所(2015)による震源断層モデルの上端位置 井上他(2007)による背斜軸(逆断層の伏在を推定) 尾崎他(2019)による逆断層 尾崎他(2019)による拗曲軸 | <p>音探記録から推定した対象断層
(測線位置における活動性)</p> <ul style="list-style-type: none"> B₁層以上またはQ層に変位、変形が認められる B₁層以上またはQ層に変位、変形の可能性が否定できない B₁層以上またはQ層に変位、変形が認められない <p> 端部測線</p> |
|---|---|



約 500m

地質時代		地層名		
第四紀	完新世	A層		
	更新世	後期	B ₀ 層	
		中期	B層	B ₁ 層
			前期	B ₂ 層
新第三紀	鮮新世	C層	C ₁ 層	
	中新世	D層	D ₁ 層	
		古第三紀	D層	D ₂ 層
先第三紀				

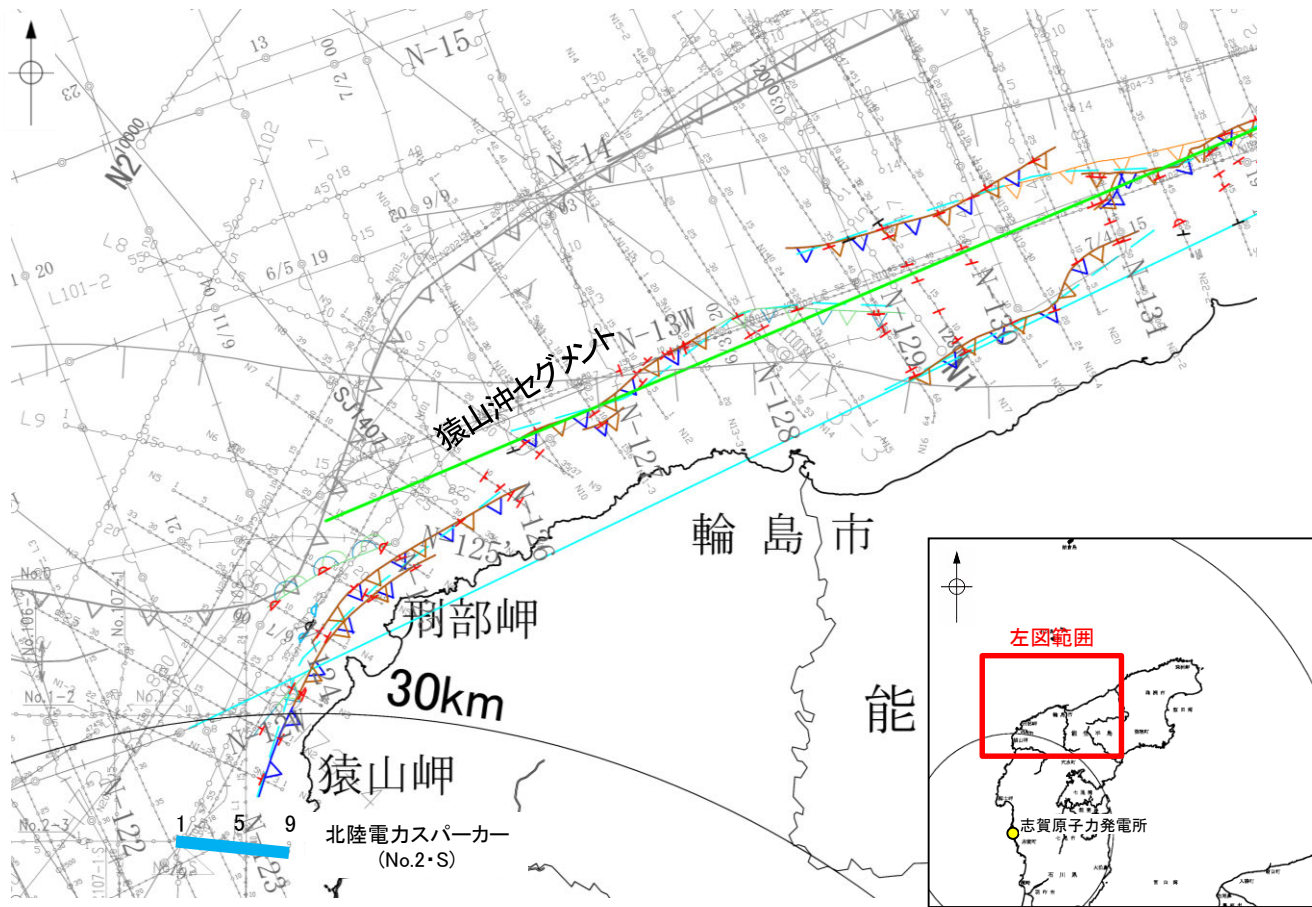


A層とB層の細区分ができない層は、Q層と称する。

枠囲みの内容は機密事項に属しますので公開できません。

2.5.2 (4) 能登半島北部沿岸域断層帯(猿山沖セグメント)の端部 —南西端調査 No.2・S測線—

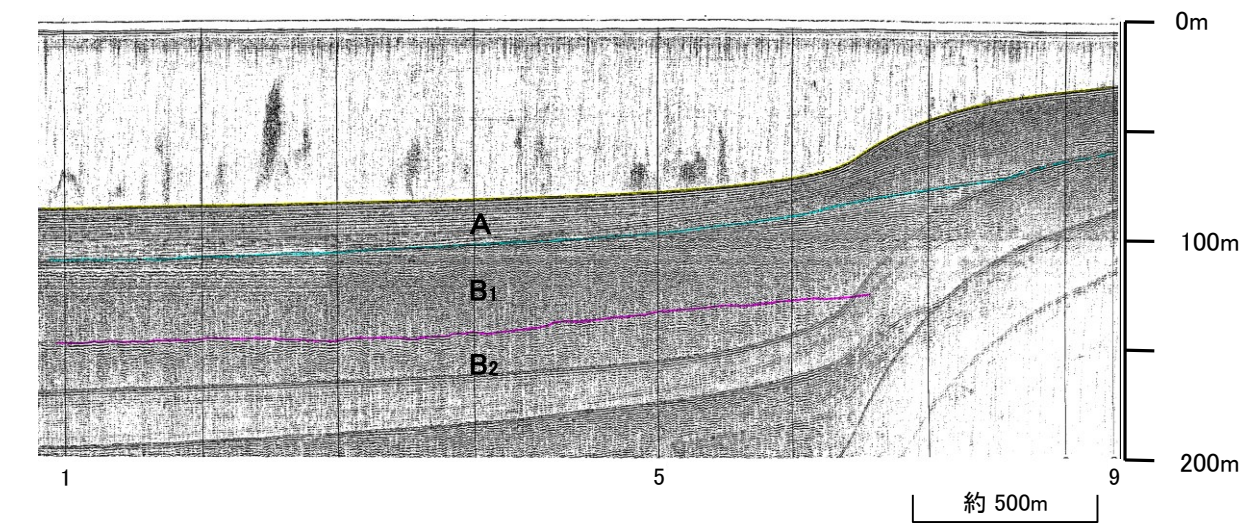
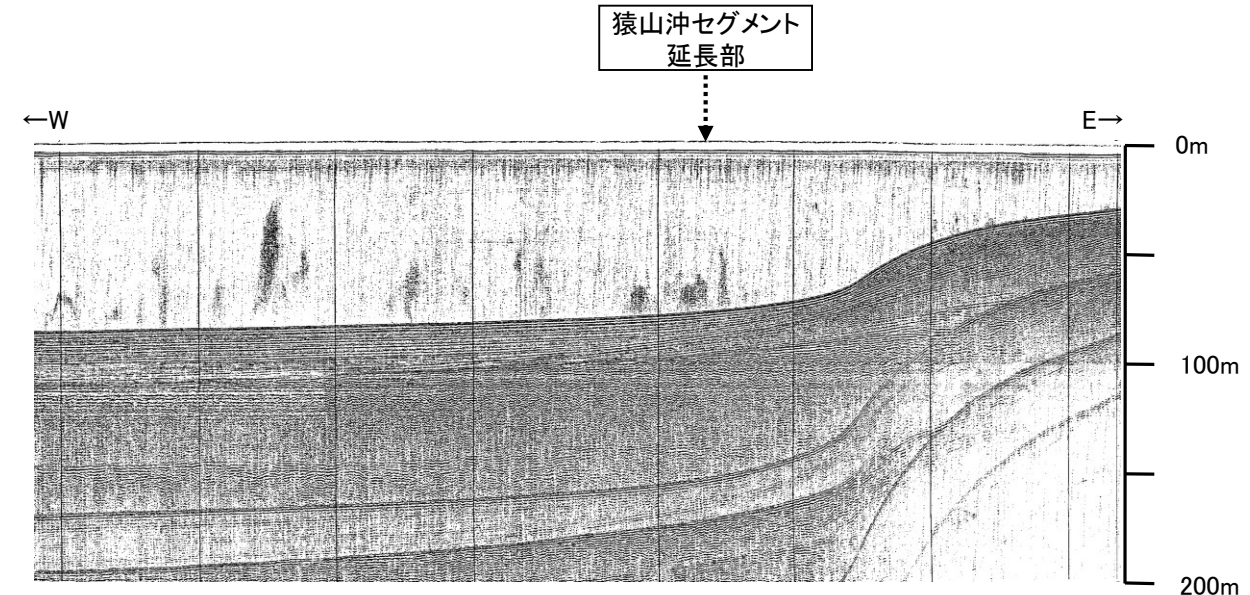
○N1測線で推定した断層等の南西方延長にあたるNo.2・S測線において、いずれの地層にも断層等を示唆するような変位、変形は認められない。
○また、文献(井上・岡村(2010), 尾崎ほか(2019)及び国交省ほか(2014))の断層トレースも当測線まで延長していない。



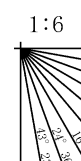
位置図
凡 例

- | | |
|--|---|
| <p>文献による断層
対象文献断層</p> <ul style="list-style-type: none"> 井上・岡村(2010)による逆断層 井上・岡村(2010)による撓曲軸 井上・岡村(2010)による活断層 国交省ほか(2014)による津波断層モデルの位置(破線は断層トレース) 文科省ほか(2015)による震源断層モデルの上端位置 <p>対象外文献断層</p> <ul style="list-style-type: none"> 鈴木(1979)による正断層 岡村(2007)による新第三紀逆断層 井上・岡村(2010)による逆断層 井上・岡村(2010)による撓曲軸 文部科学省研究開発局・国立大学法人東京大学地震研究所(2015)による震源断層モデルの上端位置 井上他(2007)による背斜軸(逆断層の伏在を推定) 尾崎他(2019)による逆断層 尾崎他(2019)による撓曲軸 | <p>音探記録から推定した対象断層
(測線位置における活動性)</p> <ul style="list-style-type: none"> B₁層以上またはQ層に変位、変形が認められる B₁層以上またはQ層に変位、変形の可能性が否定できない B₁層以上またはQ層に変位、変形が認められない <p> 右図記録範囲</p> |
| <p>No. 8 調査測線(北陸電力: スーパーカー・シングルチャンネル・約2450ジュール)</p> <p>No. 9・S 調査測線(北陸電力: スーパーカー・シングルチャンネル・約360ジュール)</p> <p>K17 調査測線(東京大学地震研究所: プーマー・マルチチャンネル)</p> <p>L5 調査測線(産業技術総合研究所: プーマー・マルチチャンネル)</p> <p>N1 調査測線(産業技術総合研究所: プーマー・マルチチャンネル)</p> <p>LINE-A 調査測線(東京大学地震研究所: エアガン・マルチチャンネル)</p> | <p>N-118 調査測線(地質調査所: エアガン・シングルチャンネル)</p> <p>L4 調査測線(三澤(1997): ウォーターガン・シングルチャンネル)</p> <p>N1 調査測線(文部科学省研究開発局・国立大学法人東京大学地震研究所: エアガン・マルチチャンネル)</p> <p>H73-1 調査測線(): エアガン・マルチチャンネル)</p> <p>SJ1407 調査測線(海洋研究開発機構: エアガン・マルチチャンネル)</p> |

枠囲みの内容は機密事項に属しますので公開できません。



地質時代	地層名	
第四紀	完新世	A層
	後期	B ₀ 層
	更新世	B層
		B ₁ 層
新第三紀	中期	B ₂ 層
	前期	C層
	鮮新世	C ₂ 層
古第三紀	D層	
	先第三紀	D ₂ 層



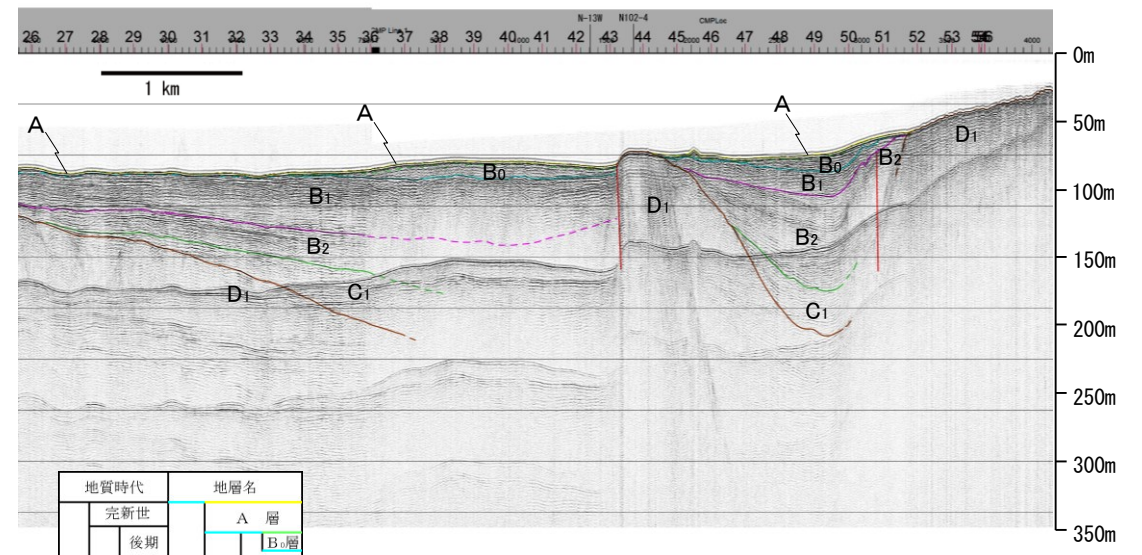
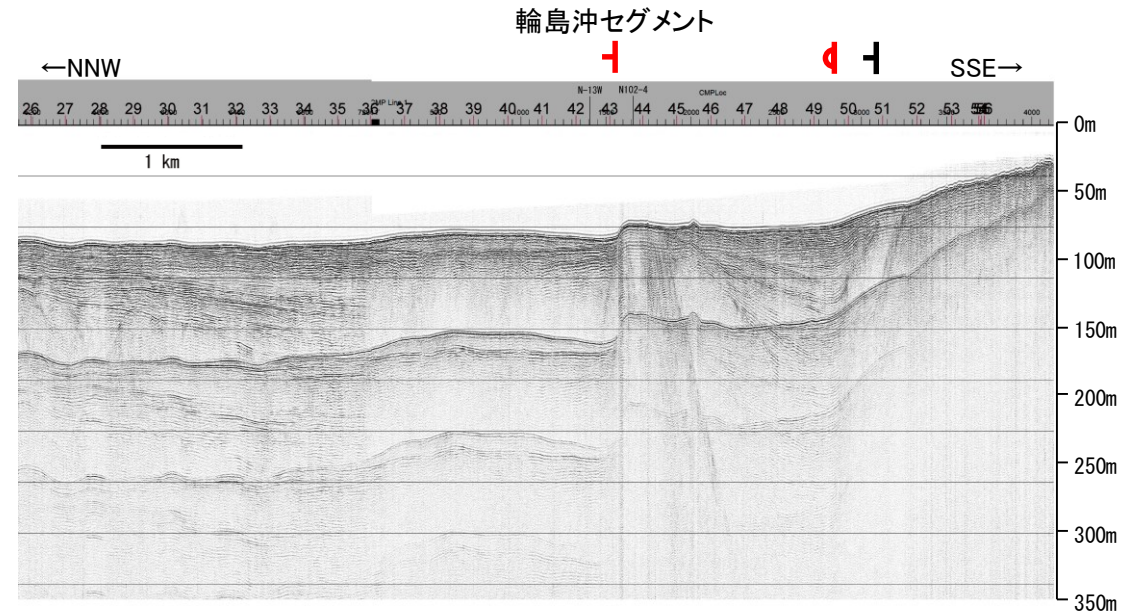
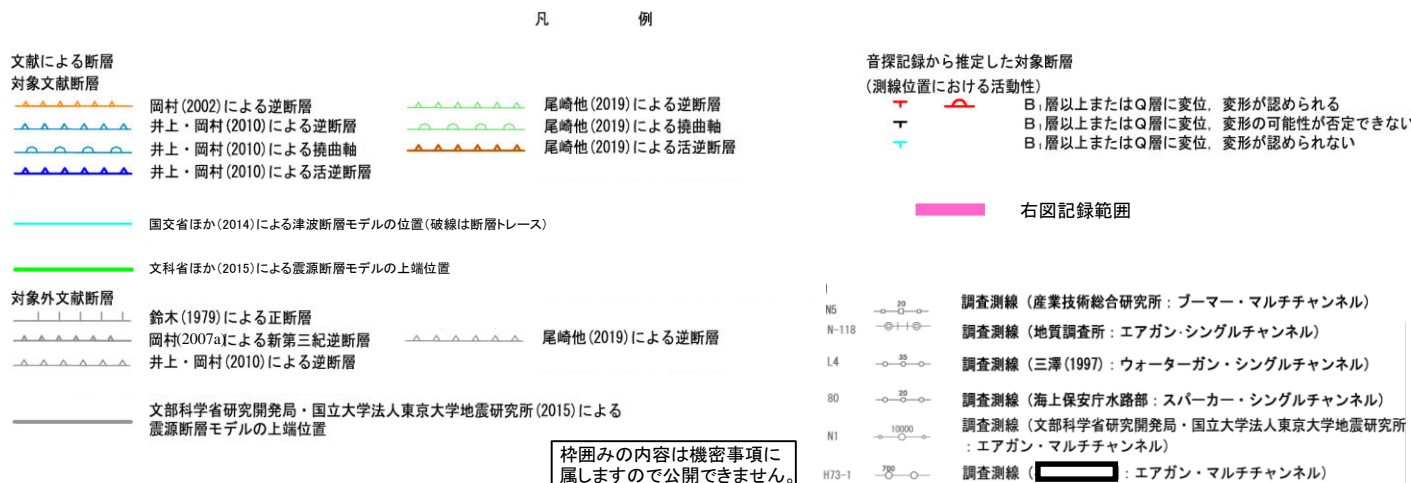
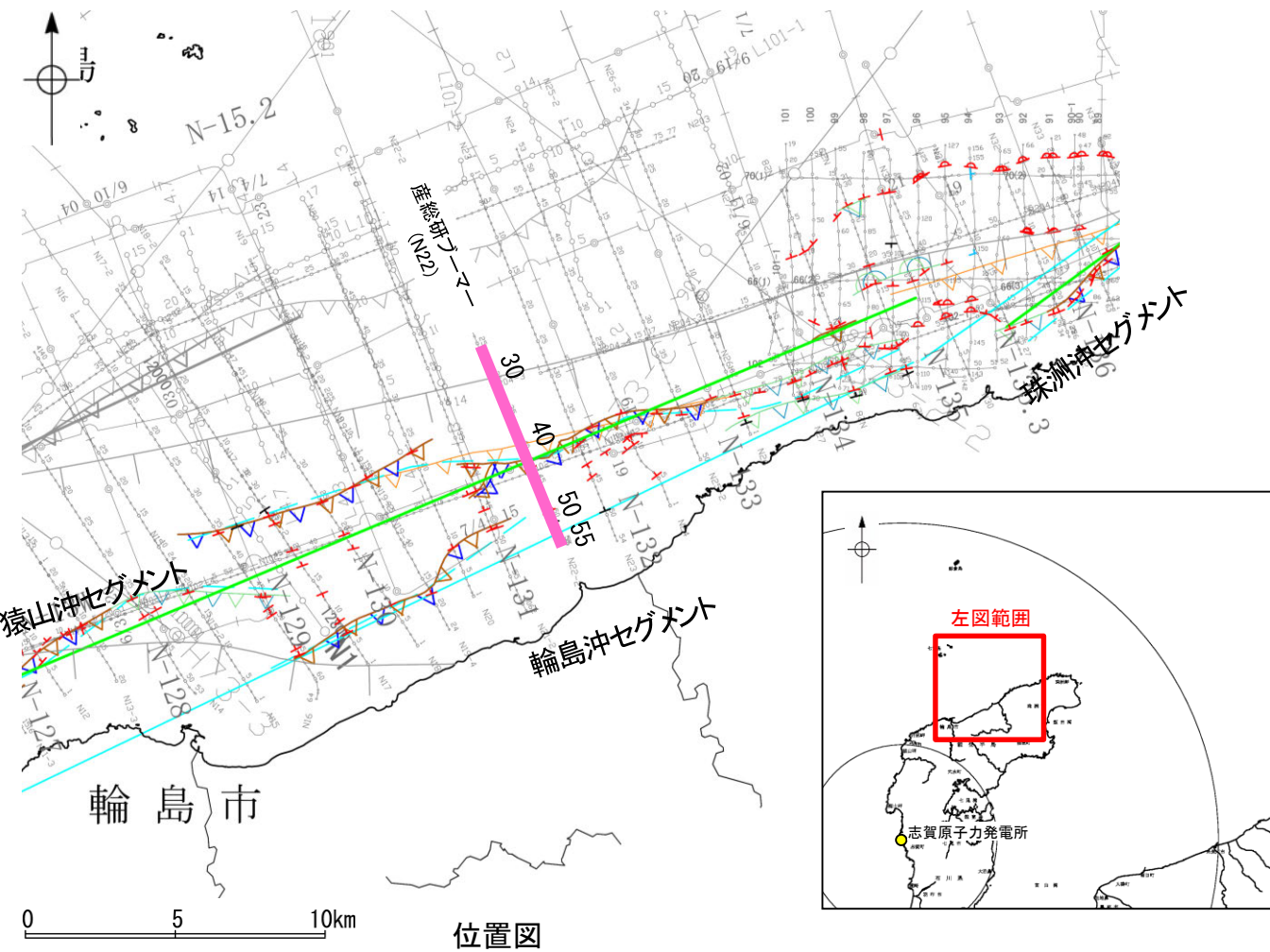
A層とB層の細区分ができない層は、Q層と称する。

2.5.2 (5) 能登半島北部沿岸域断層帯(輪島沖セグメント)の活動性 —N22測線—

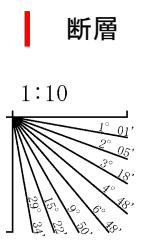
○N22測線において、D層の小隆起域北縁の測点43付近で、A層、B₀層、B₁層、B₂層及びD₁層に北落ちの変位が認められることから断層を推定した。変位はB₁層以上に及んでいることから、B₁層以上に変位、変形が認められると判断した。この断層は西方及び東方へ連続し、連続性の観点から輪島沖セグメントに対応すると判断した。

○また、測点50付近でB₀層、B₁層、B₂層、C₁層及びD₁層に北落ちの変形が認められることから撓曲を推定した。変形はB₁層以上に及んでいることから、B₁層以上に変位、変形が認められると判断した。

○さらに、測点51付近でB₂層、C₁層及びD₁層に北落ちの変位が認められることから断層を推定した。A層、B₀層及びB₁層は層厚が薄く、内部構造を確認できないことから、B₁層以上に変位、変形の可能性が否定できないと判断した。



地質時代		地層名	
第四紀	完新世	A層	B ₀ 層
	後期	B ₁ 層	B ₂ 層
	前期	C ₁ 層	C ₂ 層
新第三紀	鮮新世	D ₁ 層	D ₂ 層
	中新世	D ₃ 層	
古第三紀		D ₄ 層	
先第三紀			

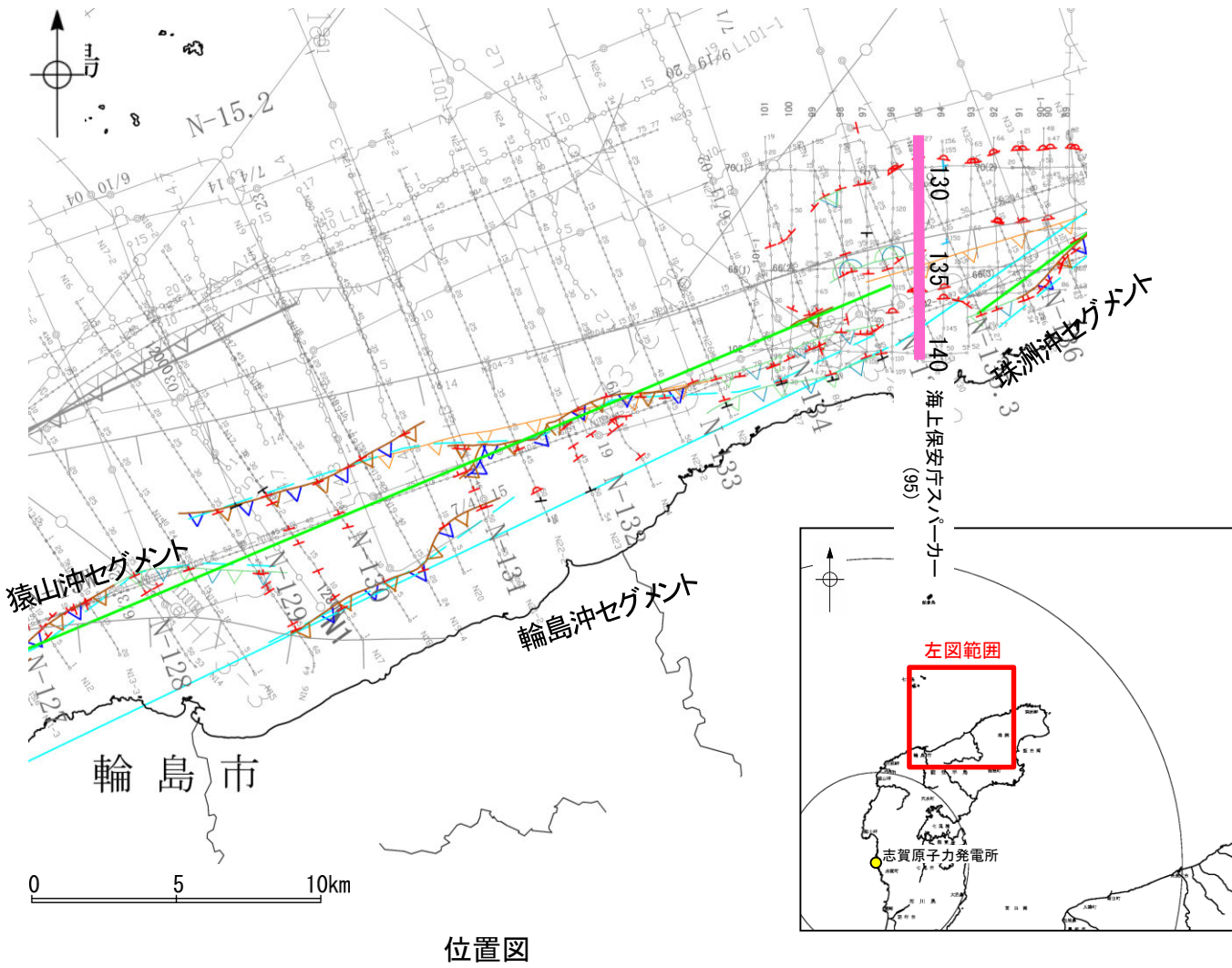


この図面は、産業技術総合研究所の海上音波探査の記録を北陸電力が独自に解析・作成したものである

A層とB層の細区分ができない層は、Q層と称する。

2.5.2 (5) 能登半島北部沿岸域断層帯(輪島沖セグメント)の活動性 —95測線—

○95測線において、測点134付近でA層、B₁層及びB₂層上部に北落ちの変形が認められ、B₂層下部、C₁層及びD₁層に北落ちの変位が認められることから断層を推定した。変形はA層、B₁層に及んでいることから、B₁層以上に変位、変形が認められると判断した。この断層は西方へ連続することから、連続性の観点から輪島沖セグメントに対応すると判断した。
○また、測点128付近でB₁層、B₂層、C₁層及びD₁層に北落ちの変形、測点136付近でA層、B₀層、B₁層、B₂層、C₁層及びD₁層に北落ちの変形、測点137付近でB₀層、B₁層、B₂層、C₁層及びD₁層に変形が認められることから撓曲を推定した。いずれも変形はB₁層以上に及んでいることから、B₁層以上に変位、変形が認められると判断した。



位置図

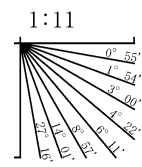
凡 例

- | | |
|--|---|
| <p>文献による断層
対象文献断層</p> <ul style="list-style-type: none"> 岡村(2002)による逆断層 井上・岡村(2010)による逆断層 井上・岡村(2010)による撓曲軸 井上・岡村(2010)による活逆断層 尾崎他(2019)による逆断層 尾崎他(2019)による撓曲軸 尾崎他(2019)による活逆断層 <p>国交省ほか(2014)による津波断層モデルの位置(破線は断層トレース)</p> <p>文科省ほか(2015)による震源断層モデルの上端位置</p> <p>対象外文献断層</p> <ul style="list-style-type: none"> 鈴木(1979)による正断層 岡村(2007a)による新第三紀逆断層 井上・岡村(2010)による逆断層 尾崎他(2019)による逆断層 <p>文部科学省研究開発局・国立大学法人東京大学地震研究所(2015)による震源断層モデルの上端位置</p> | <p>音探記録から推定した対象断層
(測線位置における活動性)</p> <ul style="list-style-type: none"> B₁層以上またはQ層に変位、変形が認められる B₁層以上またはQ層に変位、変形の可能性が否定できない B₁層以上またはQ層に変位、変形が認められない <p>右図記録範囲</p> <p>調査測線 (産業技術総合研究所: プーマー・マルチチャンネル)</p> <p>調査測線 (地質調査所: エアガン・シングルチャンネル)</p> <p>調査測線 (三澤(1997): ウォーターガン・シングルチャンネル)</p> <p>調査測線 (海上保安庁水路部: スパーカー・シングルチャンネル)</p> <p>調査測線 (文部科学省研究開発局・国立大学法人東京大学地震研究所: エアガン・マルチチャンネル)</p> <p>調査測線 (): エアガン・マルチチャンネル)</p> |
|--|---|

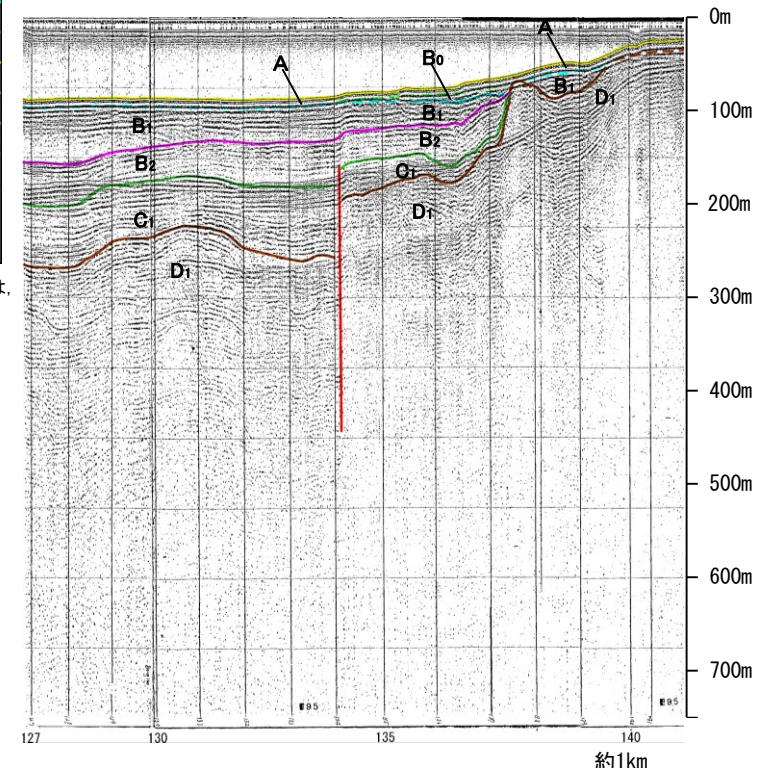
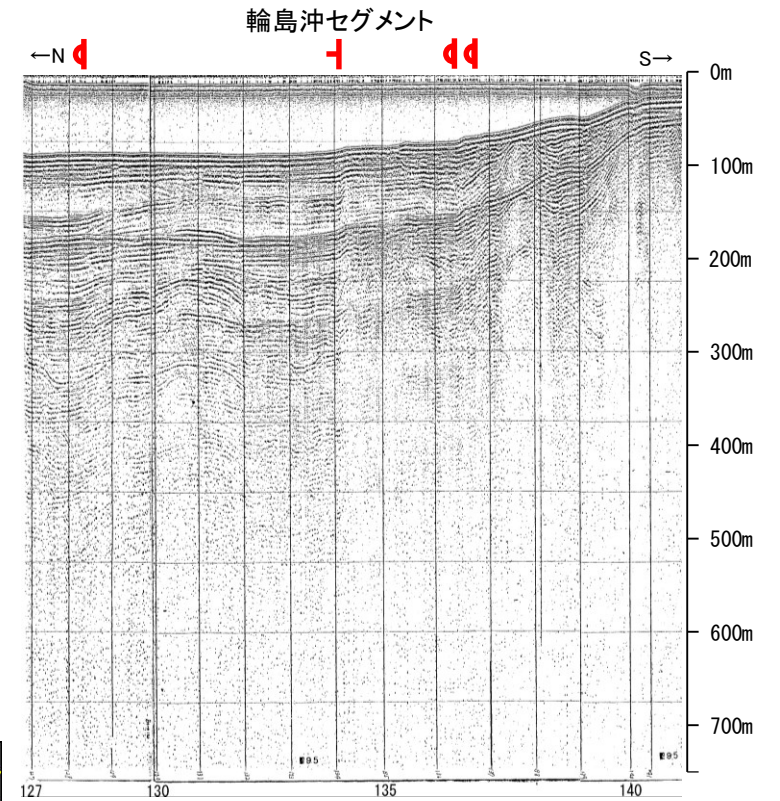
枠囲みの内容は機密事項に属しますので公開できません。

地質時代	地層名	
第四紀	完新世	A層
	後期	B ₀ 層
		B ₁ 層
	更新世	B ₂ 層
B ₃ 層		
第三紀	中期	C ₁ 層
	前期	C ₂ 層
		C ₃ 層
	鮮新世	D ₁ 層
中新世	D ₂ 層	
	D ₃ 層	
古第三紀	D ₄ 層	
先第三紀	D ₅ 層	

A層とB層の細区分ができない層は、Q層と称する。



断層



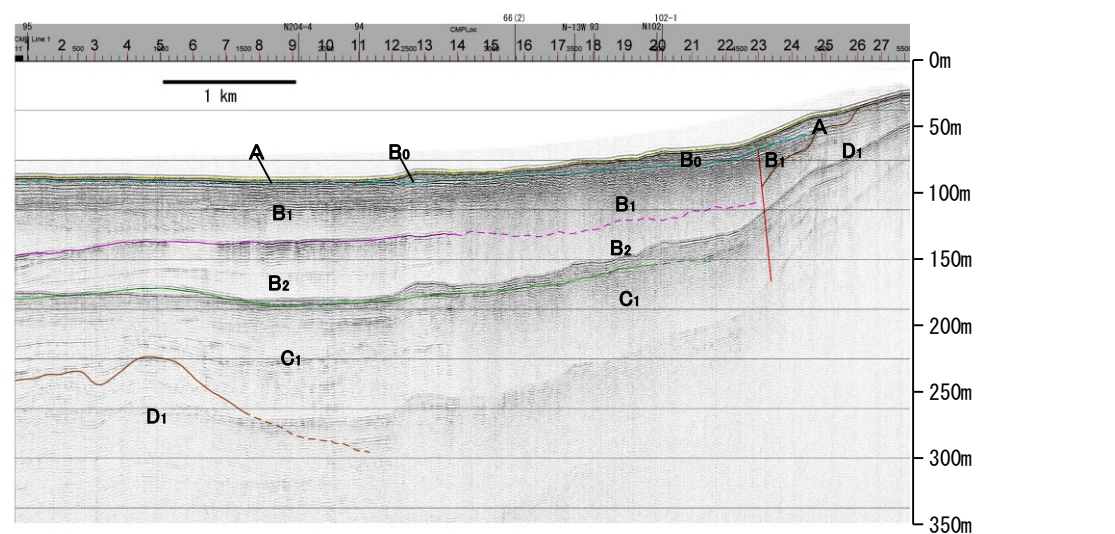
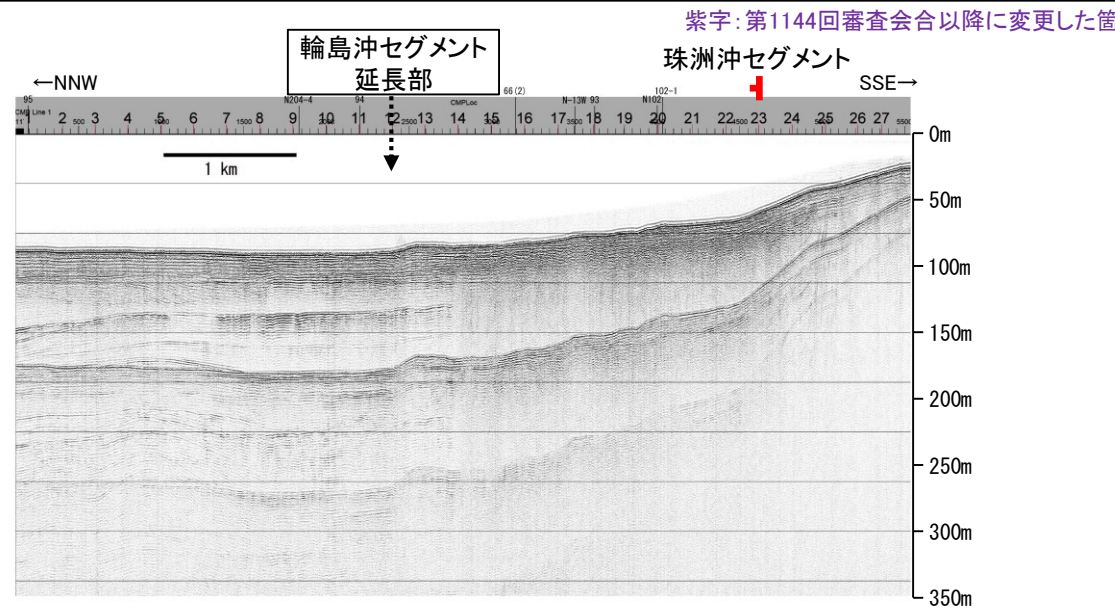
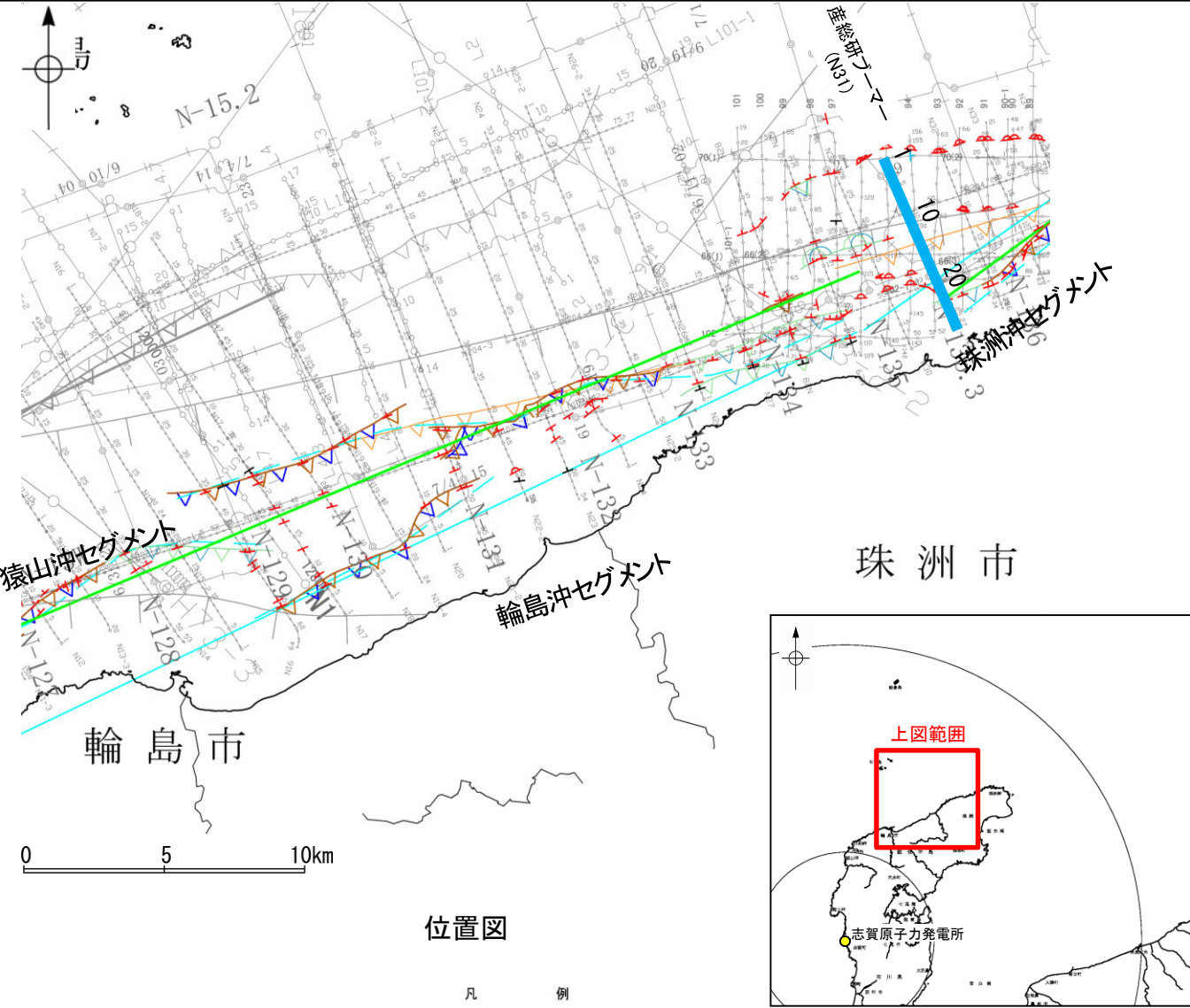
この図面は、海上保安庁水路部の海上音波探査の記録を北陸電力が独自に解析・作成したものである

2.5.2 (6) 能登半島北部沿岸域断層帯(輪島沖セグメント)の端部 —北東端調査 N31測線—

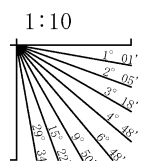
○95測線で推定した断層等の北東方延長にあたるN31測線において、D層上面は不明瞭であり隆起構造は確認できないが、変位、変形がC₁層以上に及んでおらず、少なくとも輪島沖セグメントに対応する断層等を示唆するような変位、変形は認められない。

○D層の隆起帯北縁の測点23付近でB₀層下部、B₁層、B₂層及びD₁層に北落ちの変位が認められることから断層を推定した。この断層は東方へ連続することから、連続性の観点から珠洲沖セグメントに対応すると判断した。

○また、文献(井上・岡村(2010)、尾崎ほか(2019)及び国交省ほか(2014))の断層トレースも当測線まで延長していない。



地質時代		地層名	
第四紀	完新世	A層	断層
	更新世	B ₀ 層	
		B ₁ 層	
		B ₂ 層	
中世	C ₁ 層		
新第三紀	鮮新世	C ₂ 層	
	中新世	D ₁ 層	
古第三紀		D ₂ 層	
先第三紀			



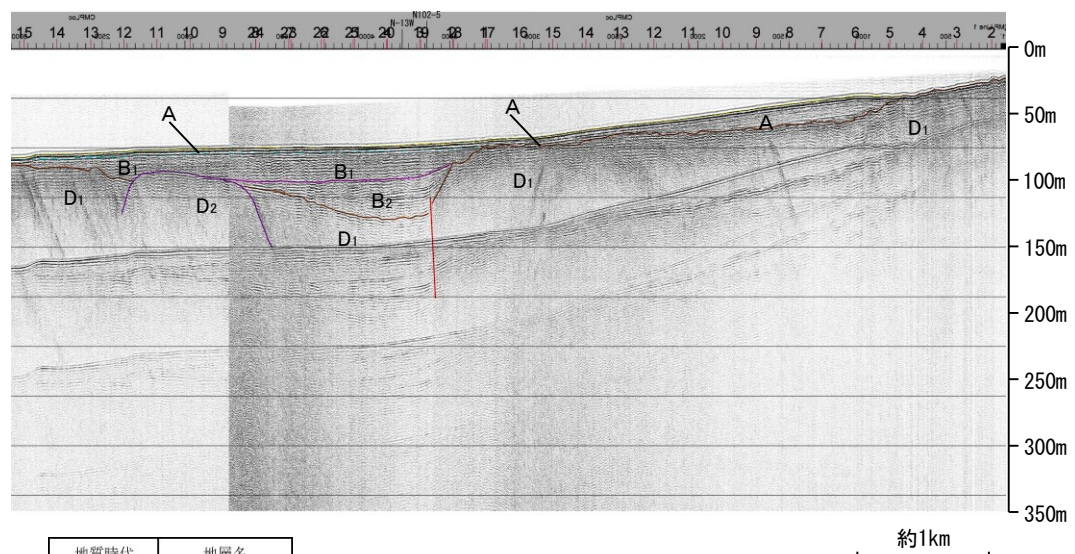
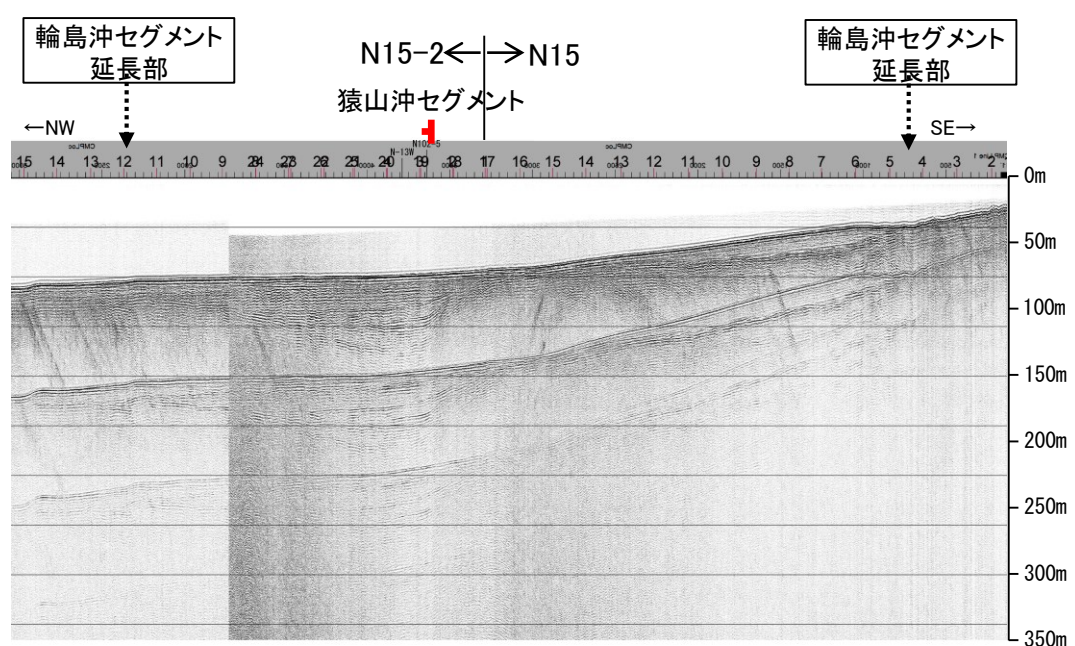
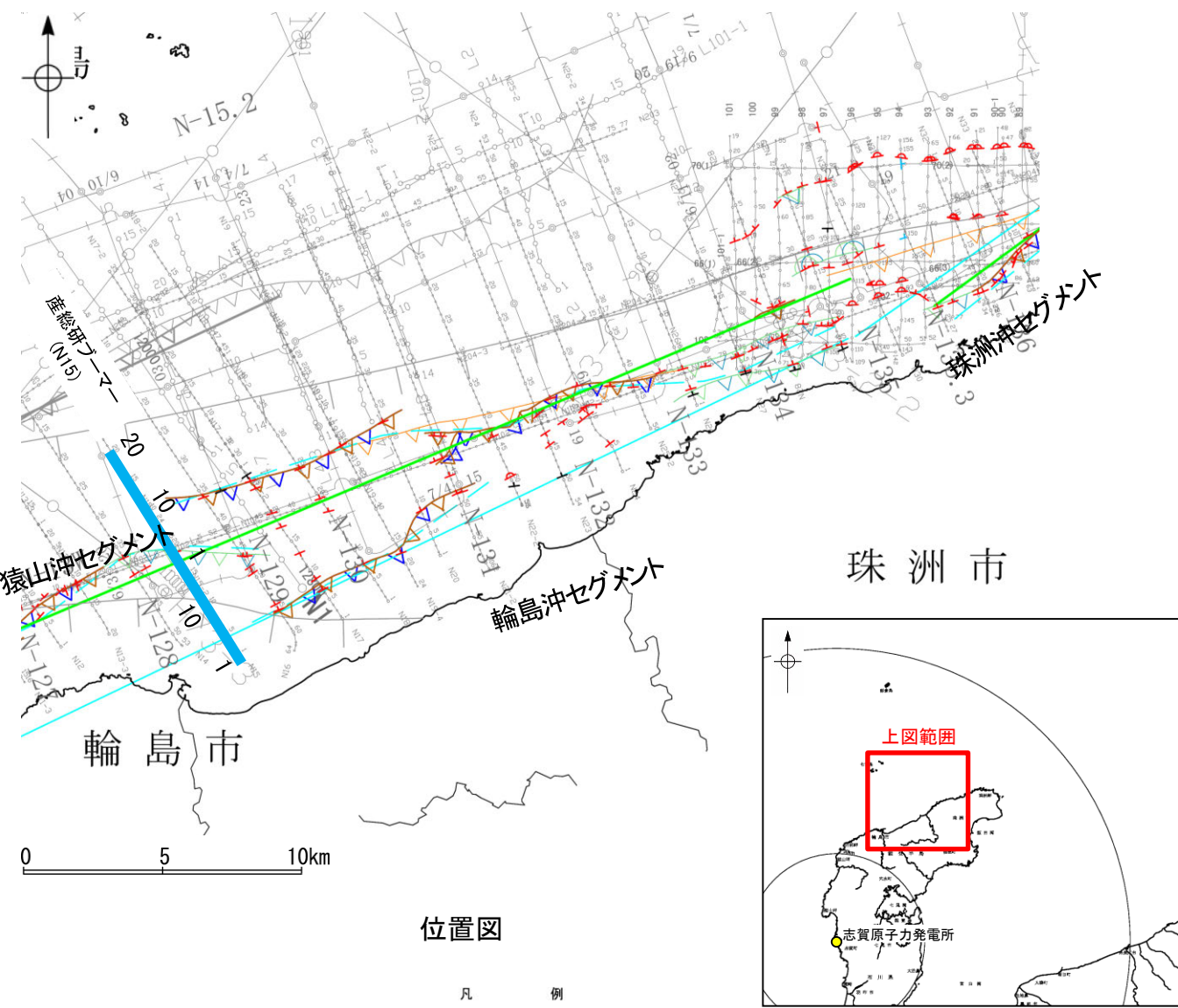
この図面は、産業技術総合研究所の海上音波探査の記録を北陸電力が独自に解析・作成したものである

A層とB層の細区分ができない層は、Q層と称する。

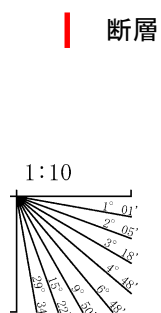
枠囲みの内容は機密事項に属しますので公開できません。

2.5.2 (6) 能登半島北部沿岸域断層帯(輪島沖セグメント)の端部 –南西端調査 N15測線–

○N16測線で推定した断層等の南西方延長にあたるN15測線において、D層上面は平坦であり、少なくとも輪島沖セグメントに対応する断層等を示唆するような変位、変形は認められない。
 ○D層の隆起帯北縁の測点3付近(N15-2測線)でB₂層下部及びD₁層に北西落ちの変位が認められることから、断層を推定した。この断層は西方へ連続し、連続性の観点から猿山沖セグメントに対応すると判断した。
 ○また、文献(井上・岡村(2010), 尾崎ほか(2019)及び国交省ほか(2014))の断層トレースも当測線まで延長していない。



地質時代		地層名
第四紀	完新世	A層
	更新世	B ₃ 層
		B ₂ 層
		B ₁ 層
前期	C ₁ 層	
新第三紀	鮮新世	C ₂ 層
	中新世	D ₁ 層
古第三紀		D ₂ 層
先第三紀		



断層

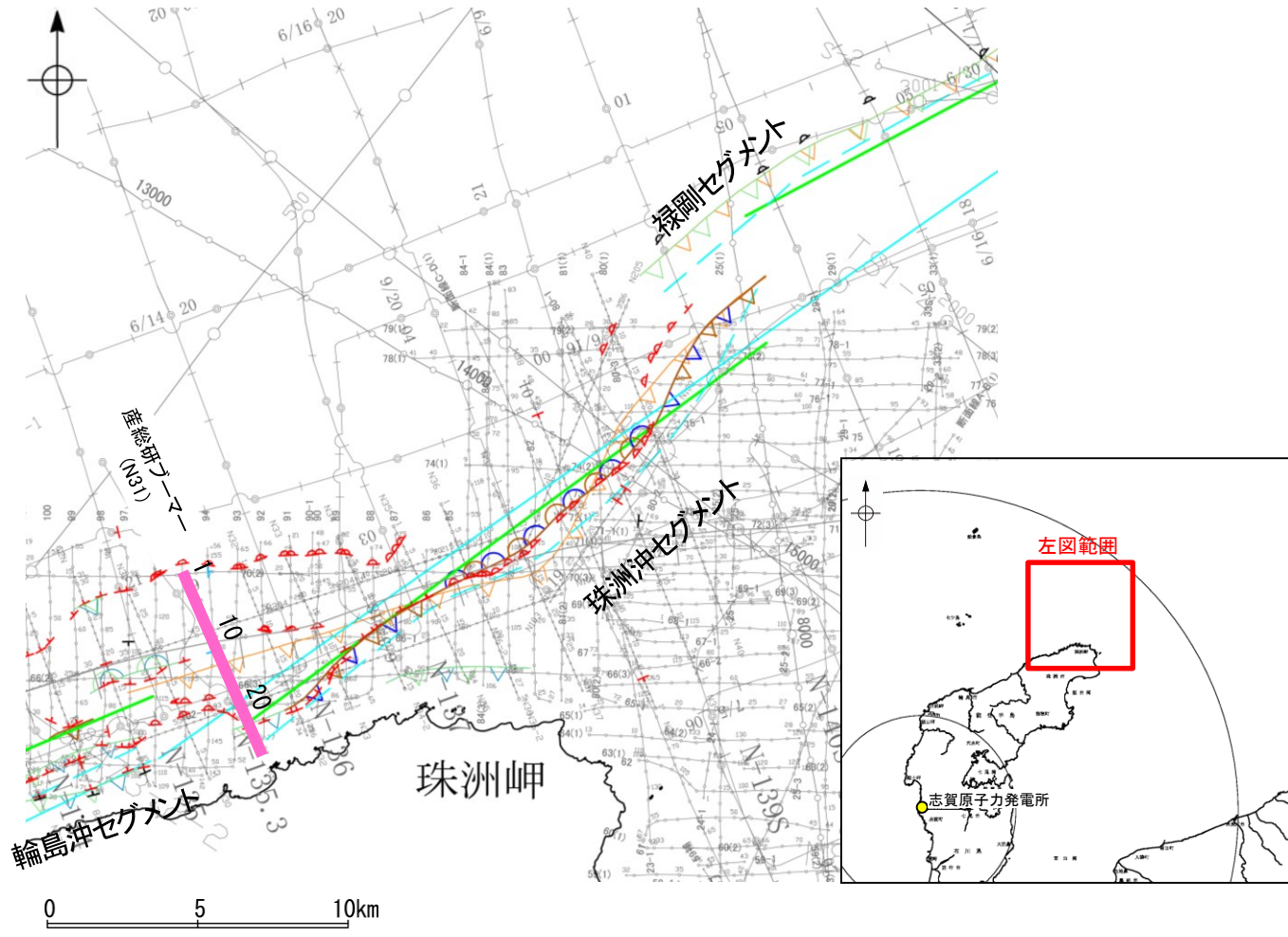
・この図面は、産業技術総合研究所の海上音波探査の記録を北陸電力が独自に解析・作成したものである

A層とB層の細区分ができない層は、Q層と称する。

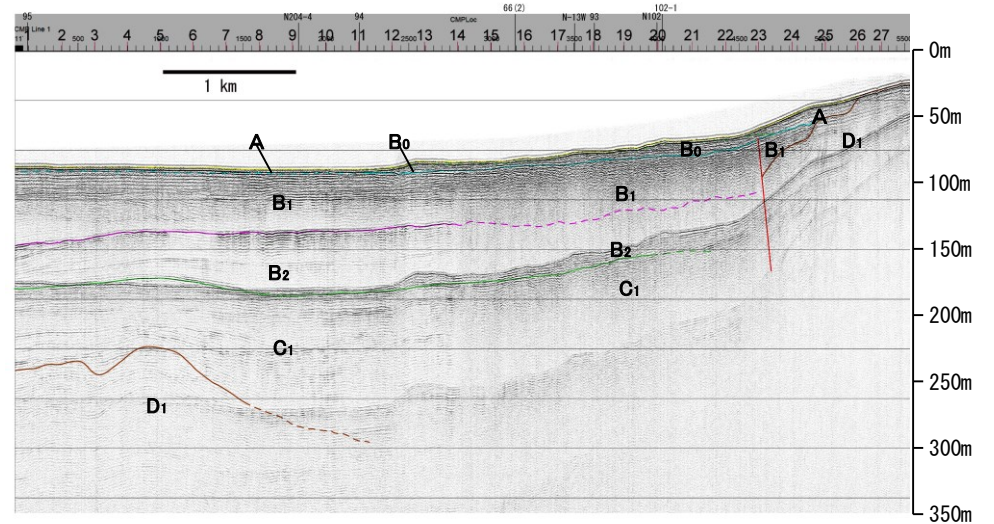
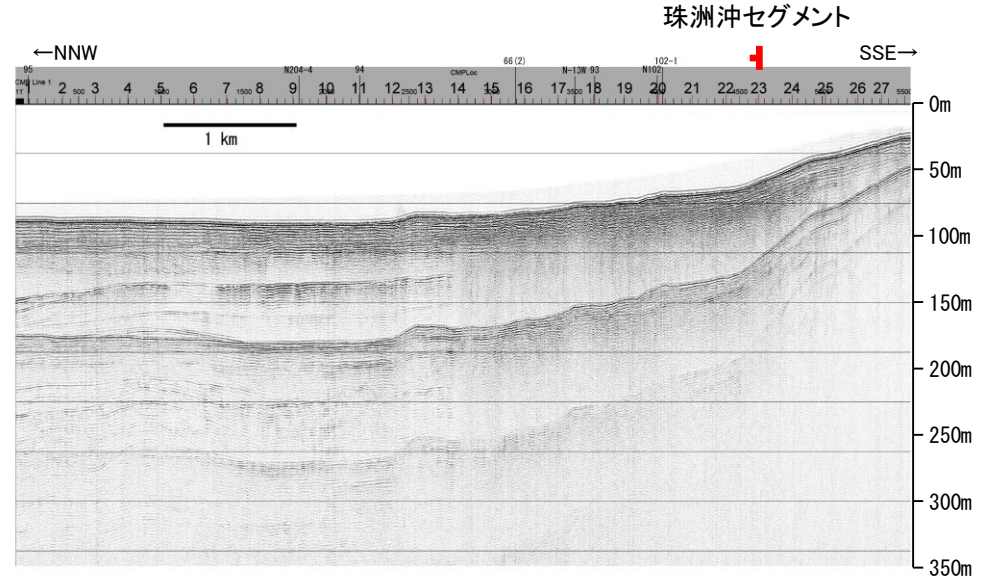
枠囲みの内容は機密事項に属しますので公開できません。

2.5.2 (7) 能登半島北部沿岸域断層帯(珠洲沖セグメント)の活動性 —N31測線—

○N31測線において、D層の隆起帯北縁の測点23付近で、B₀層下部、B₁層、B₂層及びD₁層に北落ちの変位が認められることから断層を推定した。変位はB₀層下部及びB₁層に及んでいることから、B₁層以上に変位、変形が認められると判断した。この断層は東方に連続し、連続性の観点から珠洲沖セグメントに対応すると判断した。



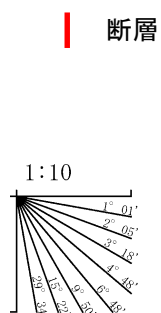
位置図



- 凡 例
- 文献による断層
 - 対象文献断層
 - 岡村(2002)による逆断層
 - 井上・岡村(2010)による逆断層
 - 井上・岡村(2010)による活断層
 - 井上・岡村(2010)による活逆断層
 - 井上・岡村(2010)による活逆断層
 - 井上・岡村(2010)による活逆断層
 - 岡村(2002)による逆断層
 - 尾崎他(2019)による逆断層
 - 尾崎他(2019)による活断層
 - 尾崎他(2019)による活逆断層
 - 尾崎他(2019)による逆断層
 - 尾崎他(2019)による活断層
 - 尾崎他(2019)による活逆断層
 - 国交省ほか(2014)による津波断層モデルの位置(破線は断層トレース)
 - 文科省ほか(2015)による震源断層モデルの上端位置
 - 対象外文献断層
 - 鈴木(1979)による正断層
 - 調査測線 (産業技術総合研究所: プーマー・マルチチャンネル)
 - 調査測線 (地質調査所: エアガン・シングルチャンネル)
 - 調査測線 (海上保安庁水路部: スーパーカー・シングルチャンネル)
 - 調査測線 (文部科学省研究開発局・国立大学法人東京大学地震研究所: エアガン・マルチチャンネル)
 - 調査測線 (エアガン・マルチチャンネル)
 - 調査測線 (エアガン・マルチチャンネル)
 - 調査測線 (海洋研究開発機構: エアガン・マルチチャンネル)

枠囲みの内容は機密事項に属しますので公開できません。

地質時代	地層名		
第四紀	完新世	A層	
	更新世	後期	B ₀ 層
		中期	B ₁ 層
		前期	B ₂ 層
第三紀	鮮新世	C ₁ 層	
	中新世	C ₂ 層	
		D層	D ₁ 層
古第三紀	D ₂ 層		
先第三紀	D ₃ 層		

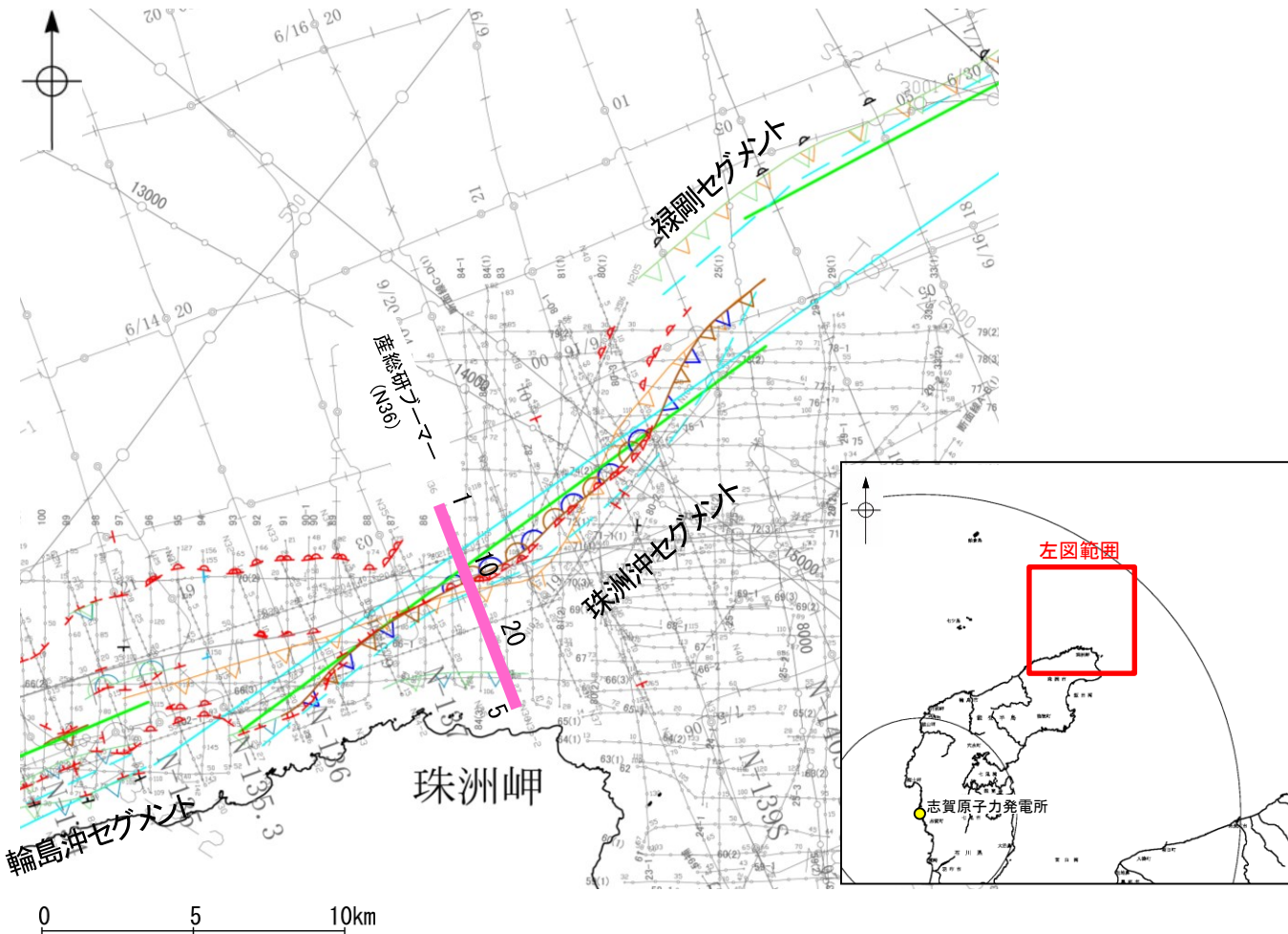


この図面は、産業技術総合研究所の海上音波探査の記録を北陸電力が独自に解析・作成したものである

A層とB層の細区分ができない層は、Q層と称する。

2.5.2 (7) 能登半島北部沿岸域断層帯(珠洲沖セグメント)の活動性 —N36測線—

○N36測線において、D層の隆起帯北縁の測点11.5付近で、A層、B₁層、B₂層及びC₁層に北落ちの変形が認められることから撓曲を推定した。変形はA層及びB₁層に及んでいることから、B₁層以上に変位、変形が認められると判断した。この撓曲は西方及び東方に連続することから、連続性の観点から珠洲沖セグメントに対応すると判断した。

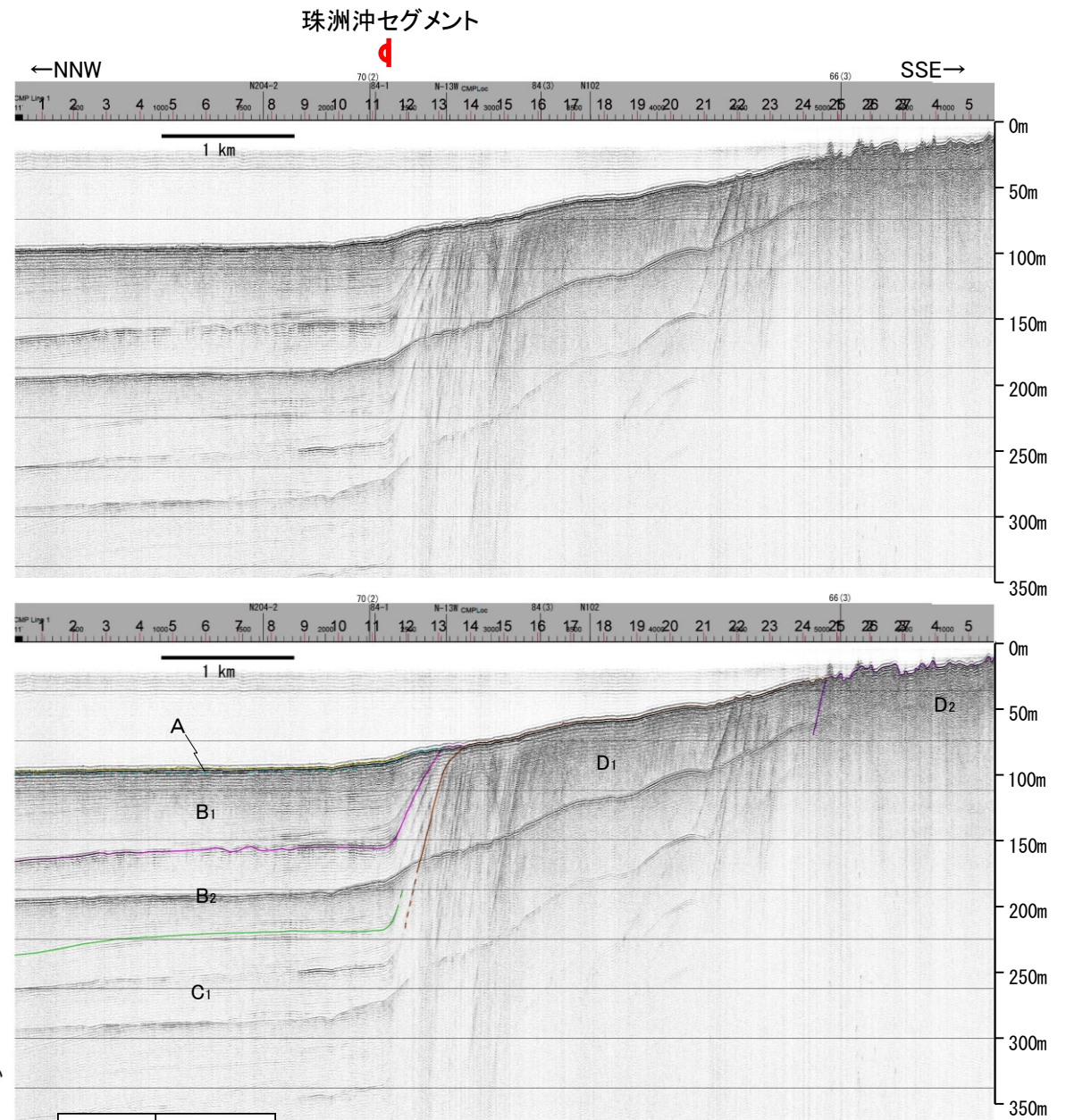


位置図

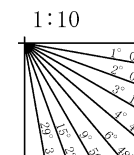
凡 例

- | | | |
|--|--|--|
| <p>文献による断層
対象文献断層</p> <ul style="list-style-type: none"> 岡村(2002)による逆断層 井上・岡村(2010)による逆断層 井上・岡村(2010)による撓曲軸 井上・岡村(2010)による活逆断層 井上・岡村(2010)による活撓曲軸 国交省ほか(2014)による津波断層モデルの位置(破線は断層トレス) 文科省ほか(2015)による震源断層モデルの上端位置 <p>対象外文献断層</p> <ul style="list-style-type: none"> 鈴木(1979)による正断層 | <p>音探記録から推定した対象断層
(測線位置における活動性)</p> <ul style="list-style-type: none"> 尾崎他(2019)による逆断層 尾崎他(2019)による撓曲軸 尾崎他(2019)による活逆断層 尾崎他(2019)による活撓曲軸 <p>右図記録範囲</p> | <ul style="list-style-type: none"> N-118 調査測線 (地質調査所: エアガン・シングルチャンネル) 80 調査測線 (海上保安庁水路部: スーパーカー・シングルチャンネル) N1 調査測線 (文部科学省研究開発局・国立大学法人東京大学地震研究所: エアガン・マルチチャンネル) H73-1 調査測線 (エアガン・マルチチャンネル) T81-B 調査測線 (エアガン・マルチチャンネル) SJ1407 調査測線 (海洋研究開発機構: エアガン・マルチチャンネル) |
|--|--|--|

枠囲みの内容は機密事項に
属しますので公開できません。



地質時代		地層名	
第四紀	完新世	A層	B ₀ 層
	後期	B ₁ 層	B ₂ 層
	中期	B ₃ 層	
更新世	前期	C ₁ 層	C ₂ 層
	鮮新世	D ₁ 層	D ₂ 層
新第三紀	中新世	D層	
古第三紀			
先第三紀			



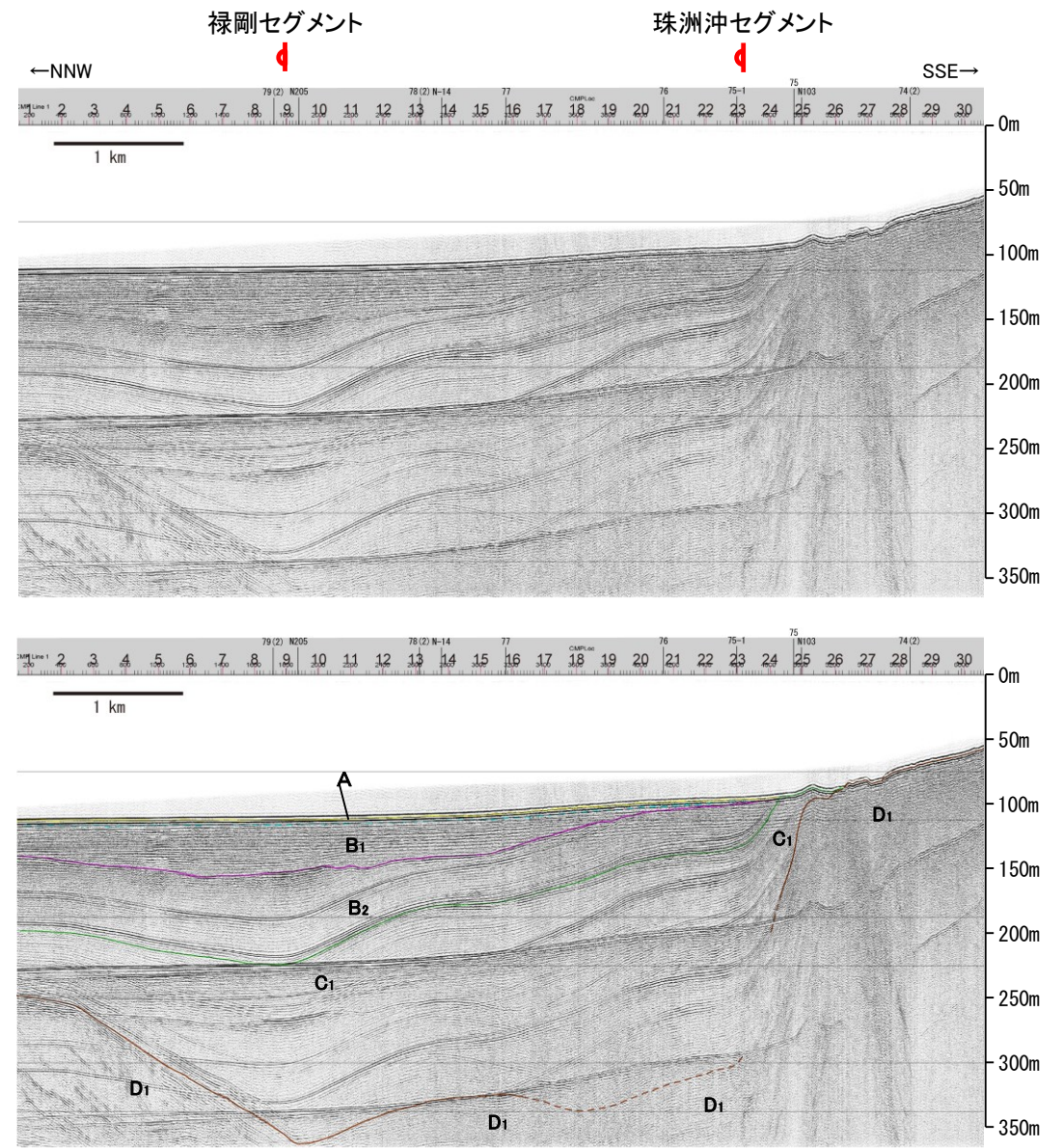
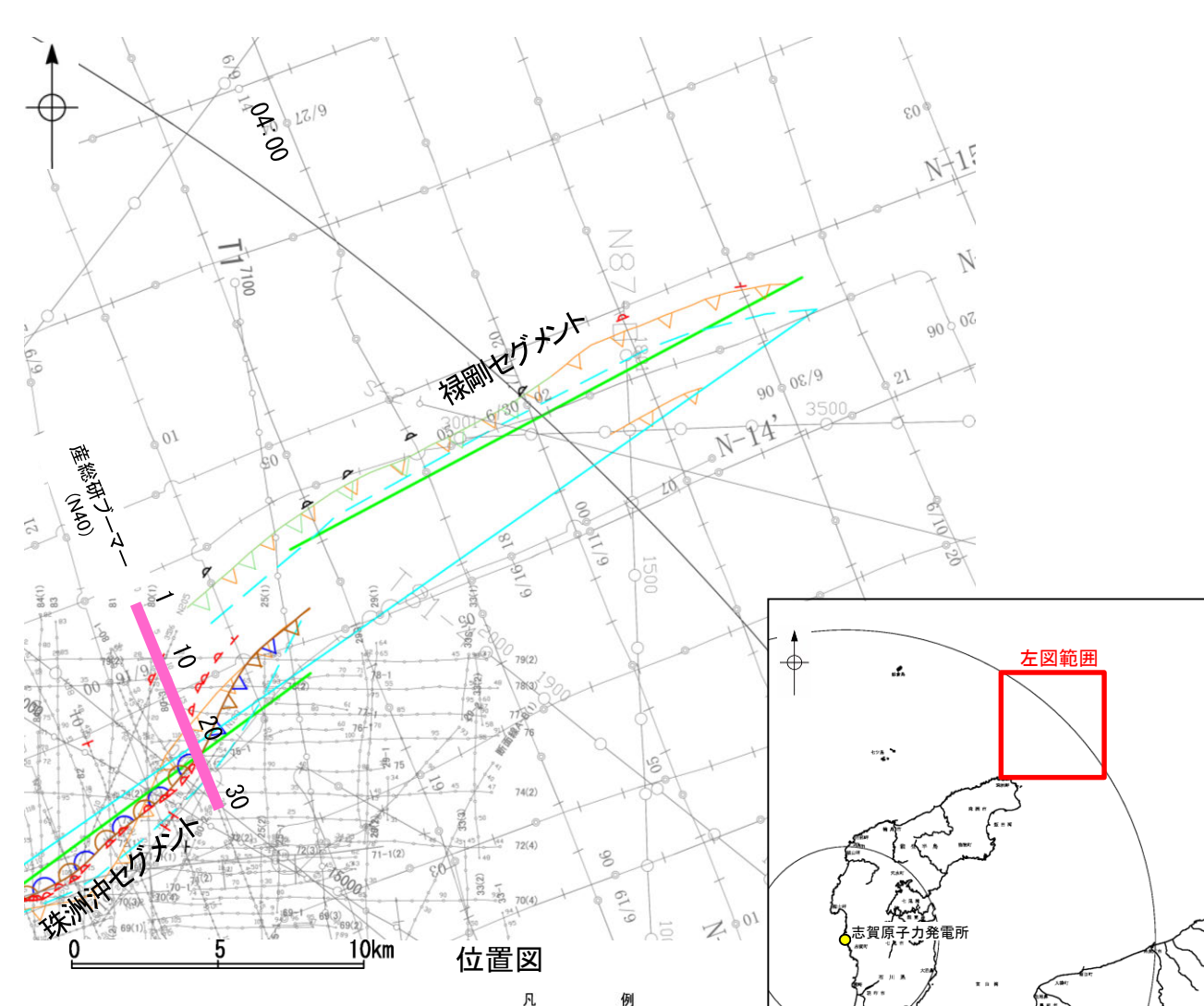
・この図面は、産業技術総合研究所の海上音波探査の記録を北陸電力が独自に解析・作成したものである

A層とB層の細区分ができない層は、Q層と称する。

2.5.2 (7) 能登半島北部沿岸域断層帯(珠洲沖セグメント, 禄剛セグメント)の活動性 —N40測線—

○N40測線において、測点23付近でB₁層、B₂層、C₁層及びD₁層に北落ちの変形が認められることから撓曲を推定した。変形はB₁層に及んでいることから、B₁層以上に変位、変形が認められると判断した。この撓曲は南西方へ連続することから、連続性の観点から珠洲沖セグメントに対応すると判断した。

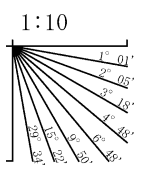
○また、測点9付近のD層上面の小起伏に沿って、B₁層、B₂層及びC₁層に北落ちの変形が認められることから撓曲を推定した。変形はB₁層に及んでいることから、B₁層以上に変位、変形が認められると判断した。この撓曲は北東方へ連続することから、連続性の観点から禄剛セグメントに対応すると判断した。



- 文献による断層
対象文献断層
- 岡村(2002)による逆断層
 - 井上・岡村(2010)による活逆断層
 - 井上・岡村(2010)による活撓曲軸
 - 国交省ほか(2014)による津波断層モデルの位置(破線は断層トレス)
 - 文科省ほか(2015)による震源断層モデルの上端位置
- 対象外文献断層
- 鈴木(1979)による正断層
- 調査測線 (産業技術総合研究所: プーマー・マルチチャンネル)
- N-11B
 - 80
 - N1
 - H73-1
 - T81-8
 - SJ1407

- 音探記録から推定した対象断層
(測線位置における活動性)
- B₁層以上またはQ層に変位、変形が認められる
 - B₁層以上またはQ層に変位、変形の可能性が否定できない
 - B₁層以上またはQ層に変位、変形が認められない
- 右図記録範囲

地質時代		地層名	
第四紀	完新世	A層	B ₀ 層
	後期	B ₁ 層	B ₂ 層
	中期	B ₃ 層	B ₄ 層
更新世	前期	C ₁ 層	C ₂ 層
	鮮新世	D ₁ 層	D ₂ 層
新第三紀	中新世	D ₃ 層	
古第三紀		D ₄ 層	
先第三紀			



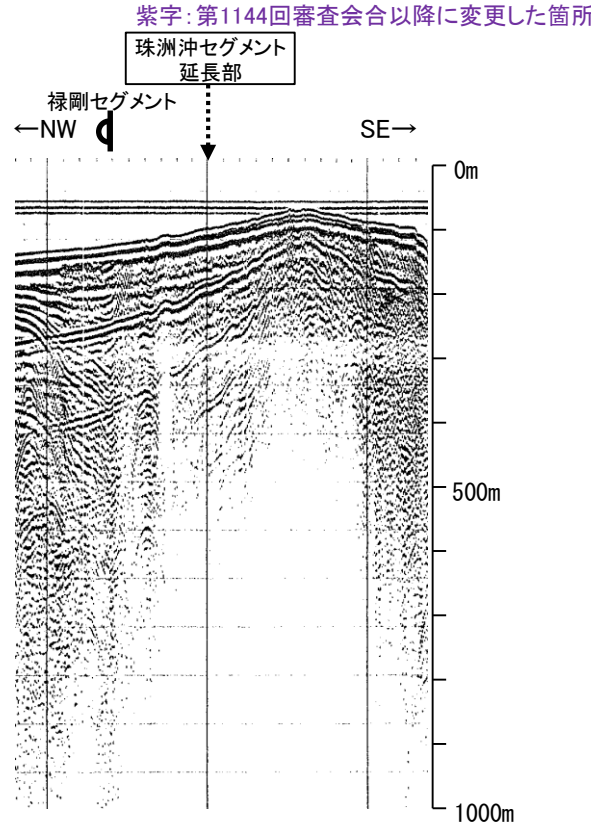
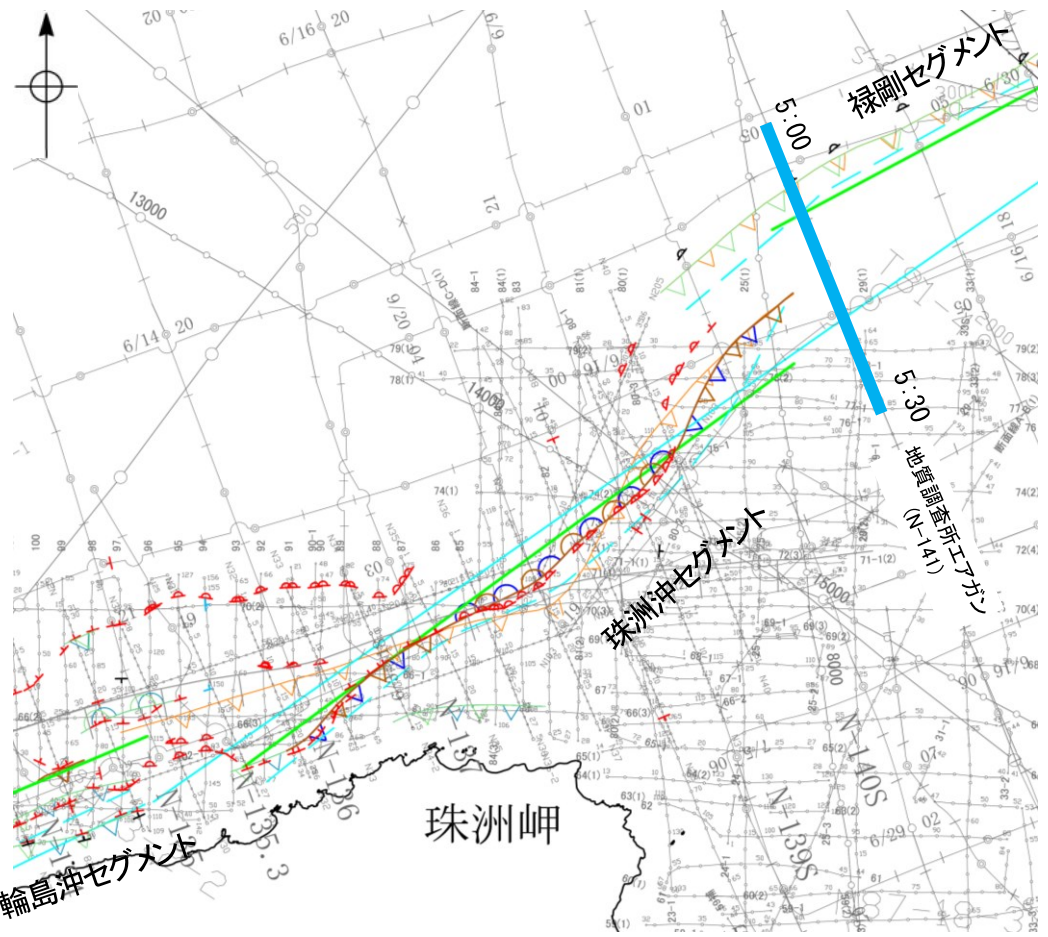
・この図面は、産業技術総合研究所の海上音波探査の記録を北陸電力が独自に解析・作成したものである

枠囲みの内容は機密事項に属しますので公開できません。

A層とB層の細区分ができない層は、Q層と称する。

2.5.2 (8) 能登半島北部沿岸域断層帯(珠洲沖セグメント)の端部 —北東端調査 N-141測線—

○N-140測線で推定した断層等の北東方延長にあたるN-141測線において、D層の隆起帯上面は平坦であり、少なくとも珠洲沖セグメントに対応する断層等を示唆するような変位、変形は認められない。
 ○D層の隆起帯北縁の測点5:05付近でC層及びD₁層に北西落ちの変形が認められることから撓曲を推定した。この撓曲は東方へ連続することから、連続性の観点から禄剛セグメントに対応すると判断した。
 ○また、文献(井上・岡村(2010)、尾崎ほか(2019)及び国交省ほか(2014))の断層トレースも当測線まで延長していない。

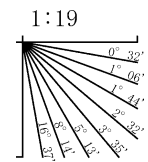


位置図
凡例

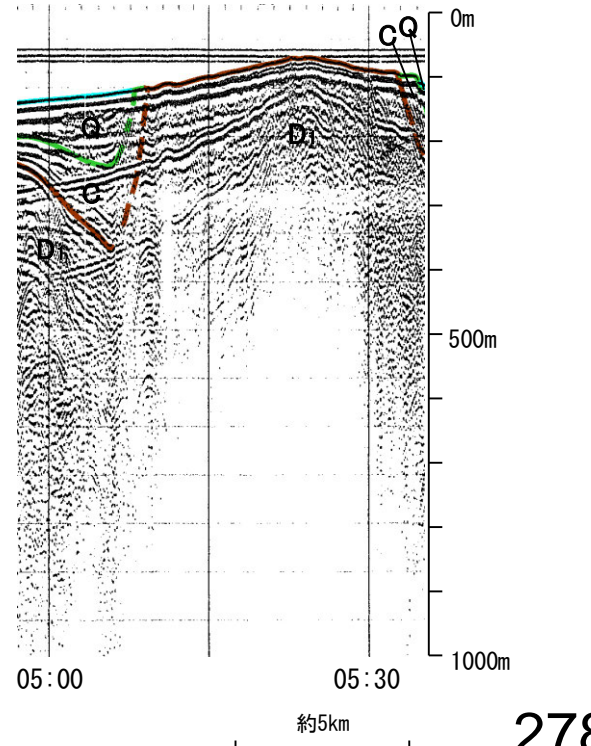
- 文献による断層
対象文献断層
- 岡村(2002)による逆断層
 - 井上・岡村(2010)による逆断層
 - 井上・岡村(2010)による撓曲軸
 - 井上・岡村(2010)による活逆断層
 - 井上・岡村(2010)による活撓曲軸
 - 国交省ほか(2014)による津波断層モデルの位置(破線は断層トレース)
 - 文科省ほか(2015)による震源断層モデルの上端位置
- 対象外文献断層
- 鈴木(1979)による正断層

- 音探記録から推定した対象断層
(測線位置における活動性)
- 尾崎他(2019)による逆断層
 - 尾崎他(2019)による撓曲軸
 - 尾崎他(2019)による活逆断層
 - 尾崎他(2019)による活撓曲軸
- 右図記録範囲

地質時代	地層名		
第四紀	完新世	A層	
	更新世	後期	B ₁ 層
		中期	B ₂ 層
		前期	B ₃ 層
第三紀	鮮新世	C ₁ 層	
	中新世	C ₂ 層	
		D ₁ 層	
古第三紀	D ₂ 層		
先第三紀	D ₂ 層		



A層とB層の細区分ができない層は、Q層と称する。



枠囲みの内容は機密事項に属しますので公開できません。

- N-118 調査測線 (地質調査所: エアガン・シングルチャンネル)
- 80 調査測線 (海上保安庁水路部: スーパーカー・シングルチャンネル)
- N1 調査測線 (文部科学省研究開発局・国立大学法人東京大学地震研究所: エアガン・マルチチャンネル)
- H73-1 調査測線 (エアガン・マルチチャンネル)
- T81-B 調査測線 (エアガン・マルチチャンネル)
- SJ1407 調査測線 (海洋研究開発機構: エアガン・マルチチャンネル)

・この図面は、海上保安庁水路部(現、海上保安庁海洋情報部)の海上音波探査の記録を北陸電力が独自に解析・作成したものである

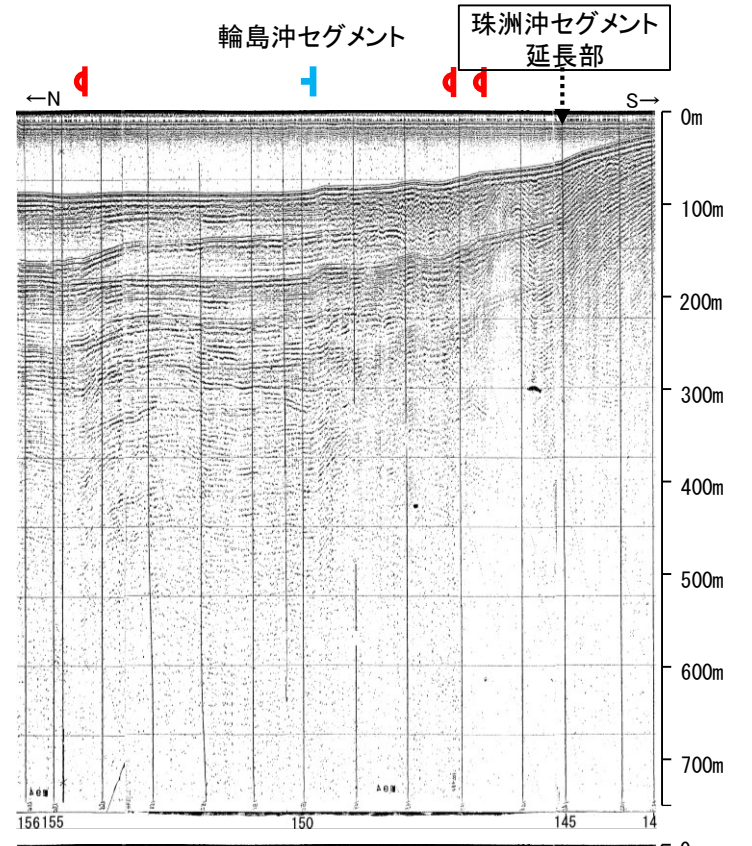
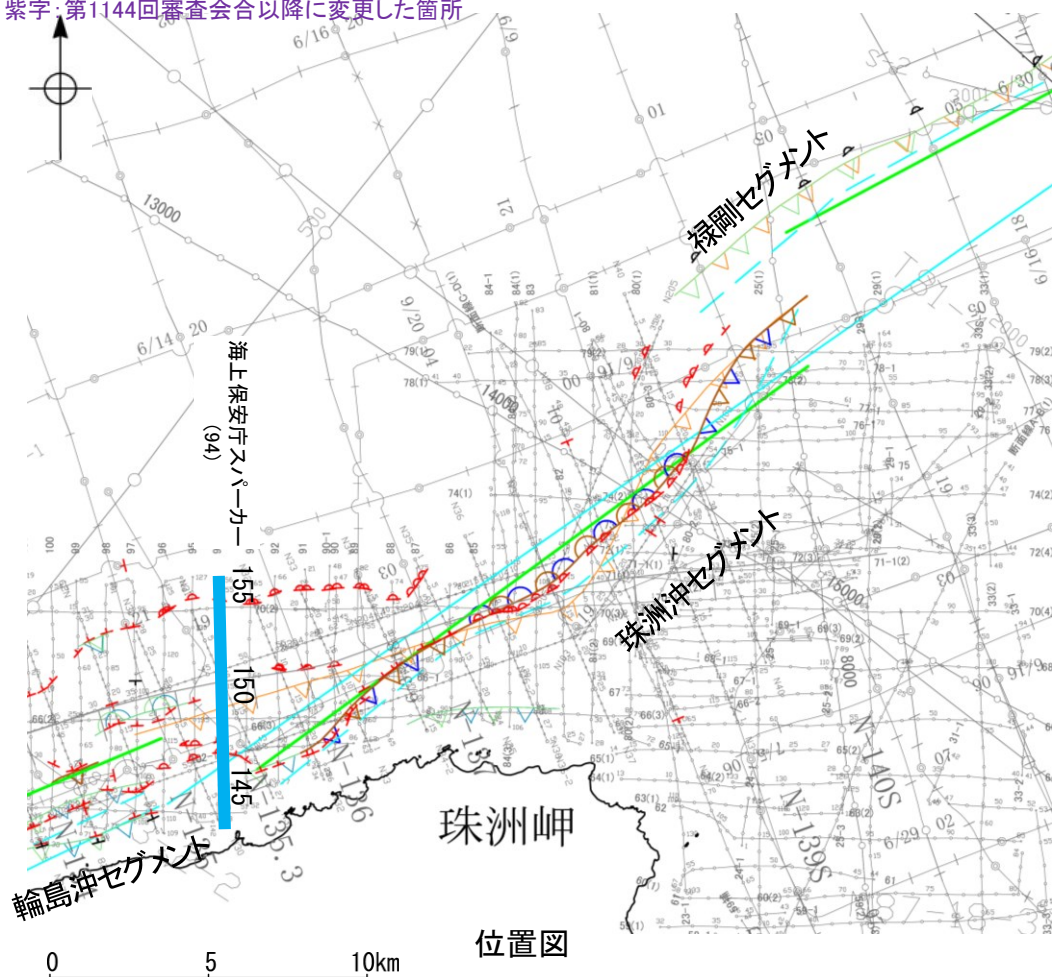
2.5.2 (8) 能登半島北部沿岸域断層帯(珠洲沖セグメント)の端部 —南西端調査 94測線—

○N31測線で推定した断層等の南西方延長にあたる94測線において、D層の隆起帯北縁は北方へ緩やかに傾斜しており、少なくとも珠洲沖セグメントに対応する断層等を示唆するような変位、変形は認められない。

○測点146.5付近、147付近でB₁層、B₂層、C₁層及びD₁層に北落ちの変形が認められることから撓曲を推定した。測点150付近でD₁層に変位が推定されることから断層を推定した。これらは西方へ連続することから、連続性の観点から輪島沖セグメントに対応すると判断した。

○また、文献(井上・岡村(2010)、尾崎ほか(2019)及び国交省ほか(2014))の断層トレースも当測線まで延長していない。

紫字: 第1144回審査会合以降に変更した箇所



- 凡 例
- 文献による断層
対象文献断層
- 岡村(2002)による逆断層
 - 井上・岡村(2010)による逆断層
 - 井上・岡村(2010)による撓曲軸
 - 井上・岡村(2010)による活逆断層
 - 井上・岡村(2010)による活撓曲軸
 - 国交省ほか(2014)による津波断層モデルの位置(破線は断層トレース)
 - 文科省ほか(2015)による震源断層モデルの上端位置
- 対象外文献断層
- 鈴木(1979)による正断層
- 調査測線 (地質調査所: エアガン・シングルチャンネル)
- N-118
 - 80
 - N1
 - H73-1
 - T81-B
 - SJ1407
- 調査測線 (海上保安庁水路部: スーパー・シングルチャンネル)
- 80
- 調査測線 (文部科学省研究開発局・国立大学法人東京大学地震研究所: エアガン・マルチチャンネル)
- N1
- 調査測線 (エアガン・マルチチャンネル)
- H73-1
 - T81-B
- 調査測線 (エアガン・マルチチャンネル)
- T81-B
- 調査測線 (海洋研究開発機構: エアガン・マルチチャンネル)
- SJ1407

- 音探記録から推定した対象断層 (測線位置における活動性)
- 逆断層
 - 活断層
 - 活撓曲軸
- 右図記録範囲

地質時代		地層名	
第四紀	完新世	Q層	A層
	後期		B ₀ 層
	更新世	B ₁ 層	
	中期	B ₂ 層	
第三紀	前期	C層	C ₁ 層
	中期		C ₂ 層
	古第三紀	D層	D ₁ 層
先第三紀			D ₂ 層

A層とB層の細区分ができない層は、Q層と称する。

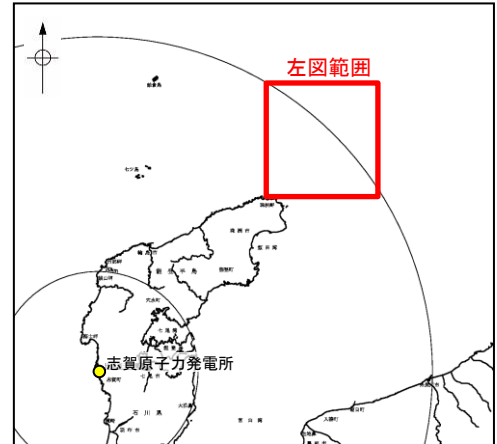
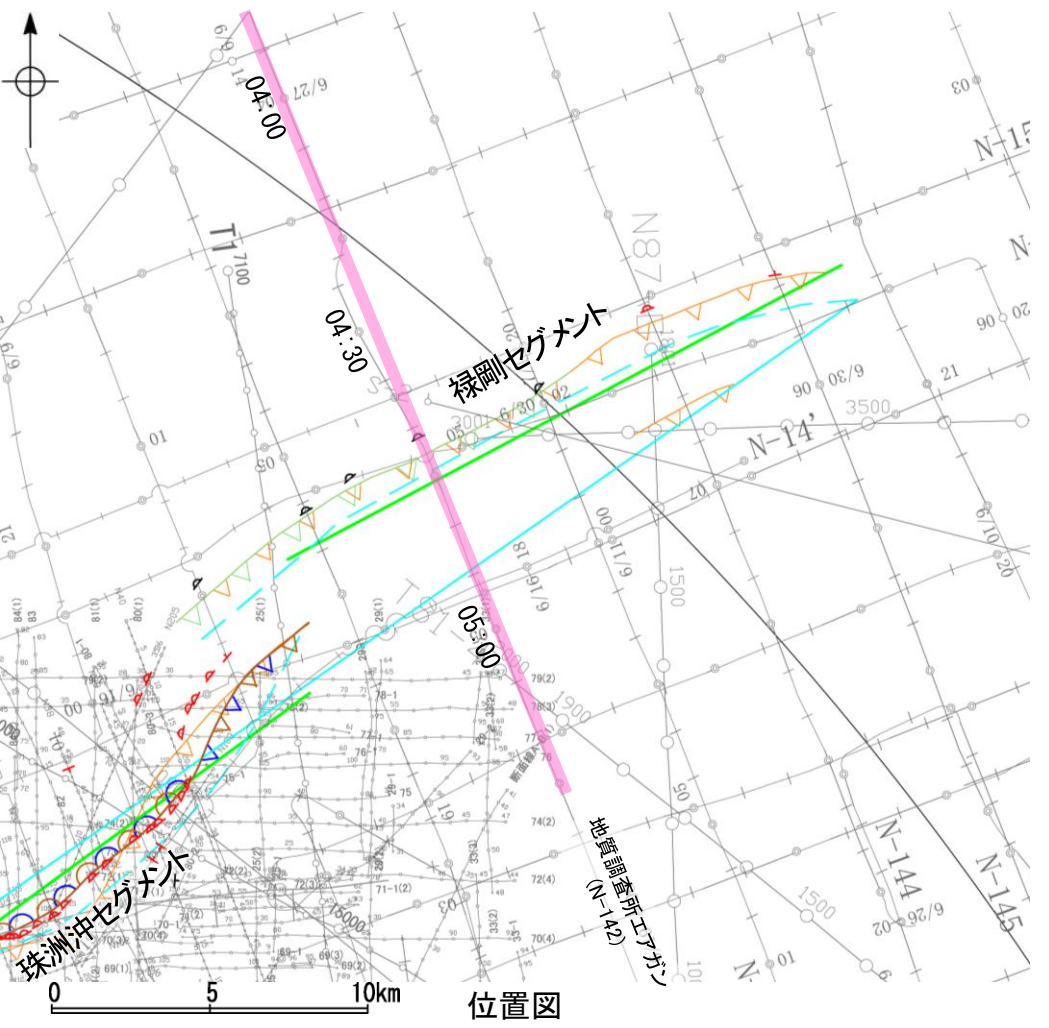
断層(破線は推定)

この図面は、海上保安庁水路部(現、海上保安庁海洋情報部)の海上音波探査の記録を北陸電力が独自に解析・作成したものである

枠囲みの内容は機密事項に属しますので公開できません。

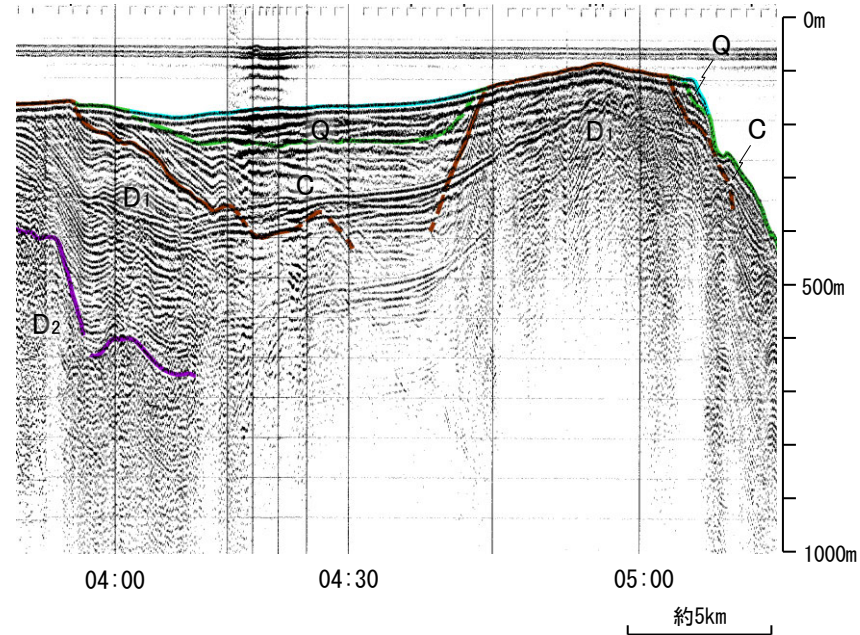
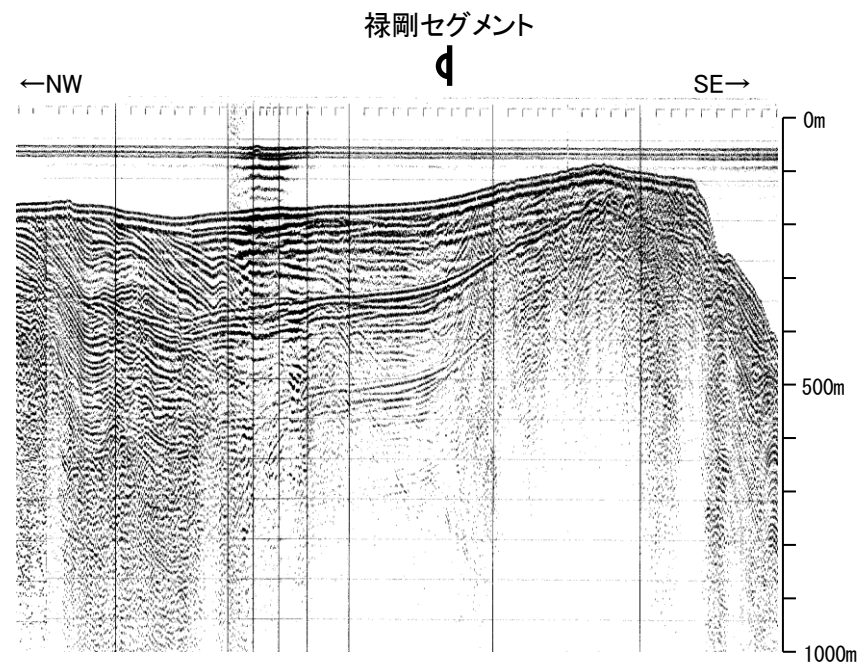
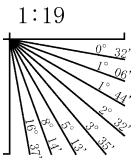
2.5.2 (9) 能登半島北部沿岸域断層帯(禄剛セグメント)の活動性 -N-142測線-

ON-142測線において、D層の隆起域を構成する禄剛海脚を中心とした複背斜構造の北縁の測点4:40付近で、Q層基底及びC層に北西落ちの変形が認められることから撓曲を推定した。変位、変形はQ層内に及んでいないものの、Q層基底に及んでいることから、Q層以上に変位、変形の可能性が否定できないと判断した。この撓曲は南西方及び北東方に連続することから、連続性の観点から禄剛セグメントに対応すると判断した。



地質時代		地層名	
第四紀	完新世	Q層	A層
	後期		B ₁ 層
			B ₂ 層
	中期	B ₃ 層	
	前期	C層	
第三紀	鮮新世	D層	C ₁ 層
	中新世		C ₂ 層
古第三紀			D ₁ 層
先第三紀			D ₂ 層

A層とB層の細区分ができない層は、Q層と称する。



- 文献による断層
対象文献断層
- 岡村(2002)による逆断層
 - 尾崎他(2019)による逆断層
 - 井上・岡村(2010)による活逆断層
 - 尾崎他(2019)による活逆断層
 - 井上・岡村(2010)による活撓曲軸
 - 尾崎他(2019)による活撓曲軸
 - 国交省ほか(2014)による津波断層モデルの位置(破線は断層トレース)
 - 文科省ほか(2015)による震源断層モデルの上端位置
- 対象外文献断層
- 鈴木(1979)による正断層
- 調査測線 (産業技術総合研究所: プーマー・マルチチャンネル)

- 音探記録から推定した対象断層
(測線位置における活動性)
- 逆断層 (T)
 - 活断層 (D)
 - 活撓曲 (C)
- 右図記録範囲

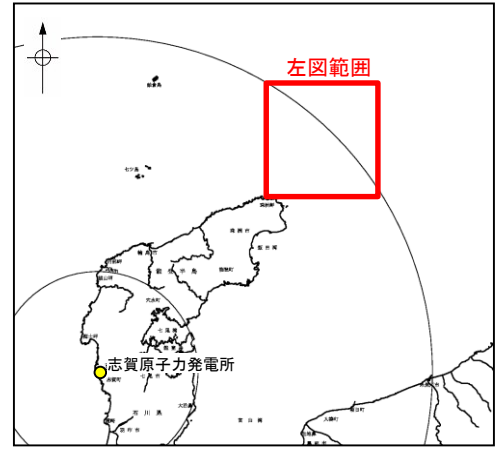
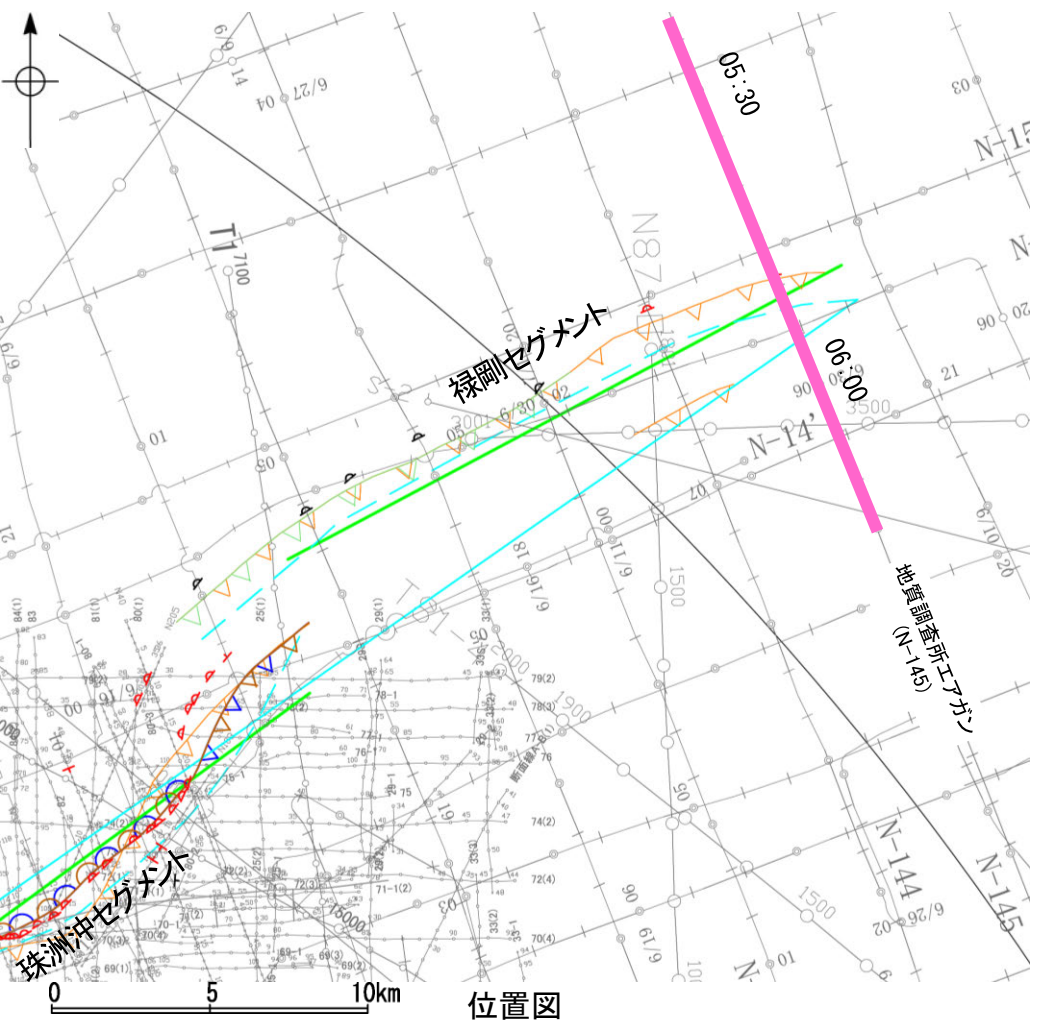
- N-118 調査測線 (地質調査所: エアガン・シングルチャンネル)
- 80 調査測線 (海上保安庁水路部: スパーカー・シングルチャンネル)
- 調査測線 (文部科学省研究開発局・国立大学法人東京大学地震研究所: エアガン・マルチチャンネル)
- H73-1 調査測線 (): エアガン・マルチチャンネル)
- T81-8 調査測線 (): エアガン・マルチチャンネル)
- SJ1407 調査測線 (海洋研究開発機構: エアガン・マルチチャンネル)

枠囲みの内容は機密事項に属しますので公開できません。

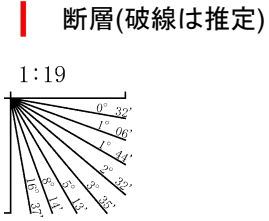
この図面は、地質調査所(現産業技術総合研究所)の海上音波探査の記録を北陸電力が独自に解析・作成したものである

2.5.2 (9) 能登半島北部沿岸域断層帯(禄剛セグメント)の活動性 —N-145測線—

○N-145測線において、禄剛海脚を中心とする複背斜構造の一部をなすD層の小起伏の北縁の測点5:50付近で、Q層及びC層上部に北西落ちの変形が認められ、C層下部及びD₁層に変位が推定されることから断層を推定した。変形はQ層に及んでいることから、Q層以上に変位、変形が認められると判断した。この断層は南西方に連続することから、連続性の観点から禄剛セグメントに対応すると判断した。



地質時代		地層名	
第四紀	完新世	A層	
	更新世	後期	B ₀ 層
		中期	B ₁ 層
			B ₂ 層
			B ₃ 層
前期	C ₁ 層		
第三紀	鮮新世	C ₂ 層	
	中新世	D ₁ 層	
	古第三紀	D ₂ 層	
先第三紀			

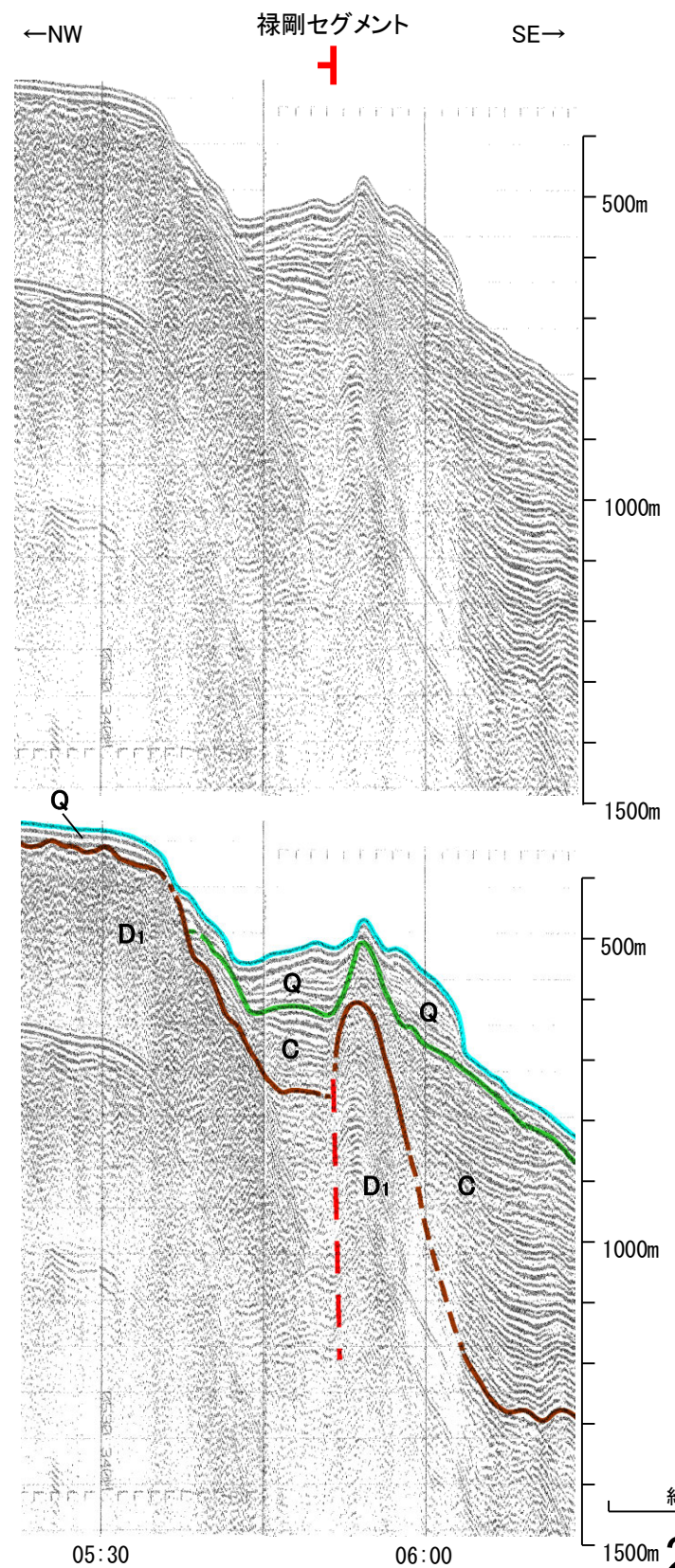


A層とB層の細区分ができない層は、Q層と称する。

- 文献による断層
対象文献断層
- 岡村(2002)による逆断層
 - 尾崎他(2019)による逆断層
 - 井上・岡村(2010)による活逆断層
 - 井上・岡村(2010)による活横曲軸
 - 国交省ほか(2014)による津波断層モデルの位置(破線は断層トレース)
 - 文科省ほか(2015)による震源断層モデルの上端位置
- 対象外文献断層
- 鈴木(1979)による正断層
- 調査測線 (産業技術総合研究所: プーマー・マルチチャンネル)
- N-118
 - 80
 - N1
 - H73-1
 - T81-8
 - SJ1407

- 音探記録から推定した対象断層
(測線位置における活動性)
- 断層(破線は推定)
 - 右図記録範囲
- 調査測線 (地質調査所: エアガン・シングルチャンネル)
- 調査測線 (海上保安庁水路部: スーパー・シングルチャンネル)
 - 調査測線 (文部科学省研究開発局・国立大学法人東京大学地震研究所: エアガン・マルチチャンネル)
 - 調査測線 (エアガン・マルチチャンネル)
 - 調査測線 (エアガン・マルチチャンネル)
 - 調査測線 (海洋研究開発機構: エアガン・マルチチャンネル)

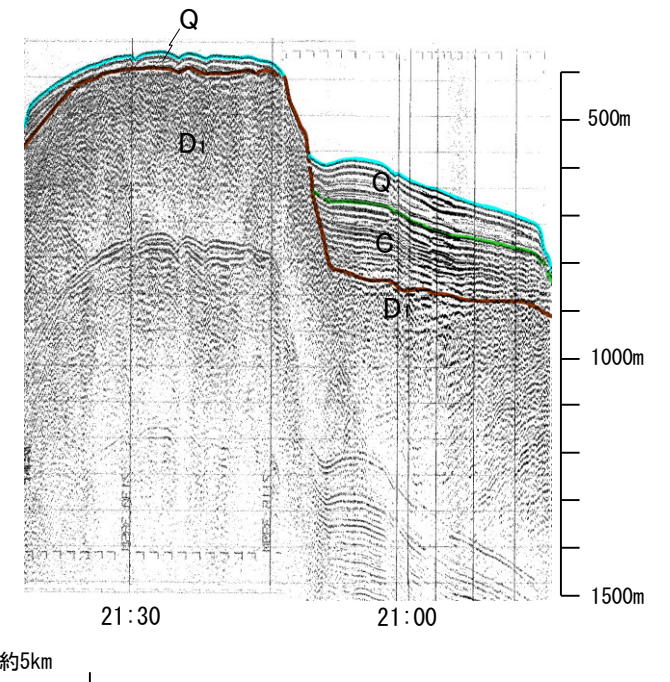
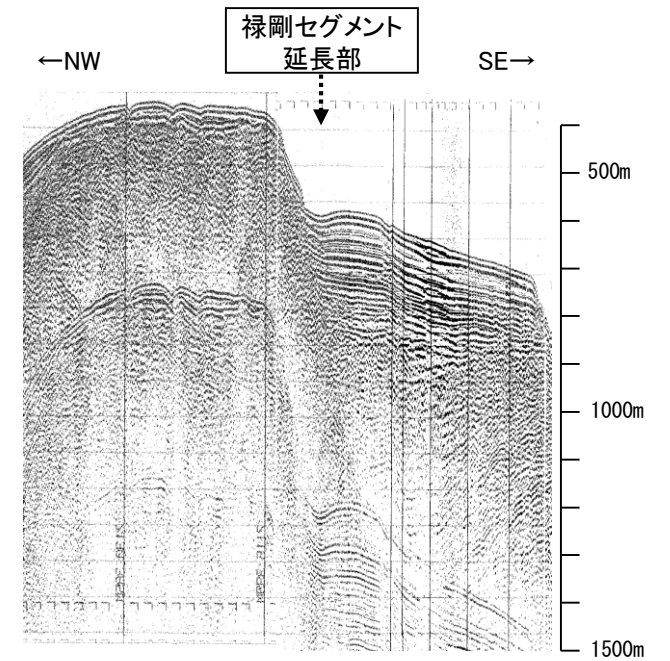
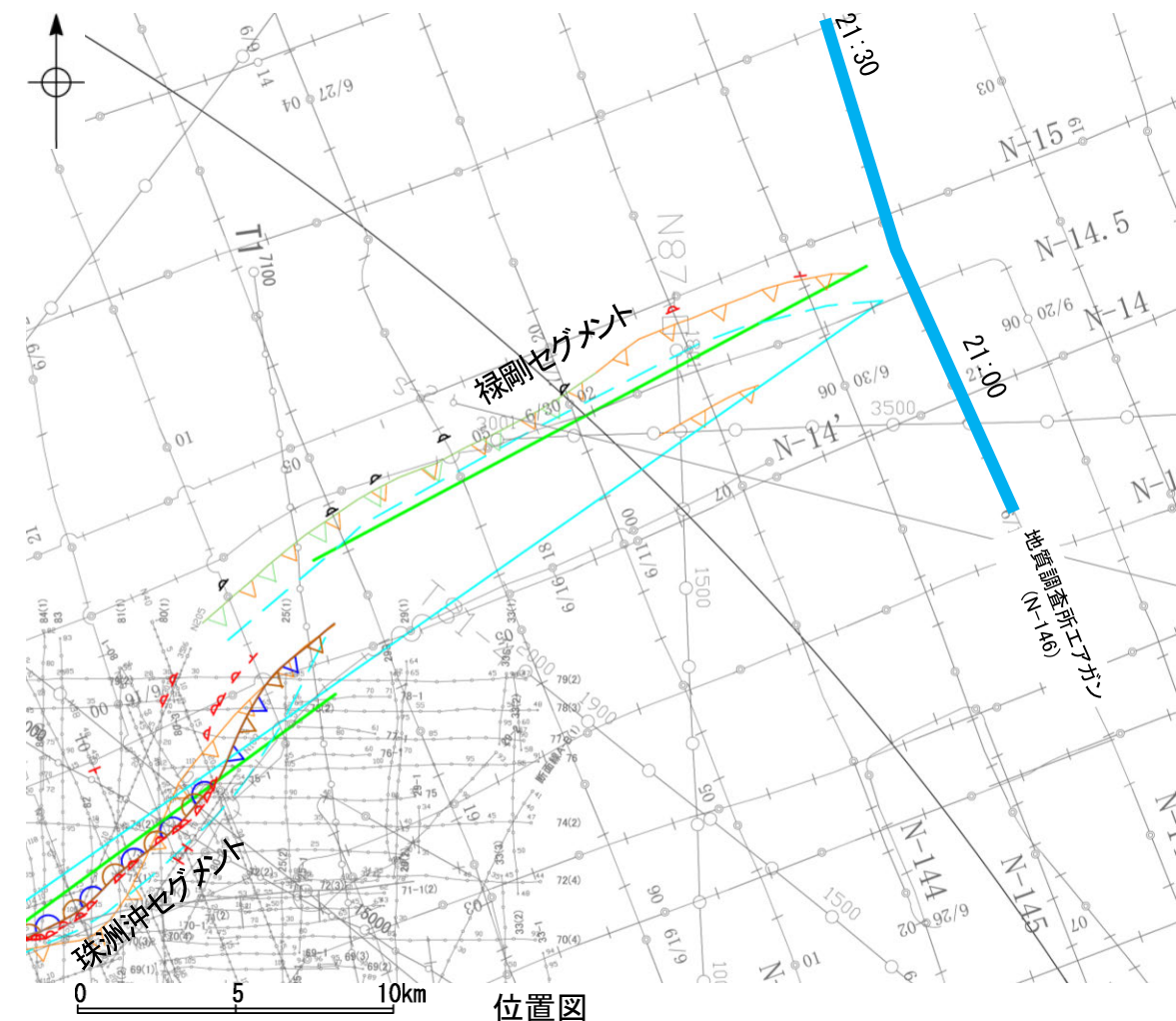
枠囲みの内容は機密事項に属しますので公開できません。



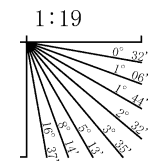
この図面は、地質調査所(現 産業技術総合研究所)の海上音波探査の記録を北陸電力が独自に解析・作成したものである

2.5.2 (10) 能登半島北部沿岸域断層帯(禄剛セグメント)の端部 —北東端調査 N-146測線—

○N-145測線で推定した断層等の北東方延長にあたるN-146測線において、D層上面に北傾斜の起伏は見られないことから、少なくとも禄剛セグメントに対応する断層等を示唆するような変位、変形は認められない。
○また、文献(岡村(2002), 尾崎ほか(2019), 国交省ほか(2014))の断層トレースも当測線まで延長していない。



地質時代		地層名	
第四紀	完新世	Q層	A層
	後期		B層
	中期	B層	
鮮新世	前期	C層	C層
	中期	D層	D層
古第三紀		D層	D層
先第三紀		D層	D層



A層とB層の細区分ができない層は、Q層と称する。

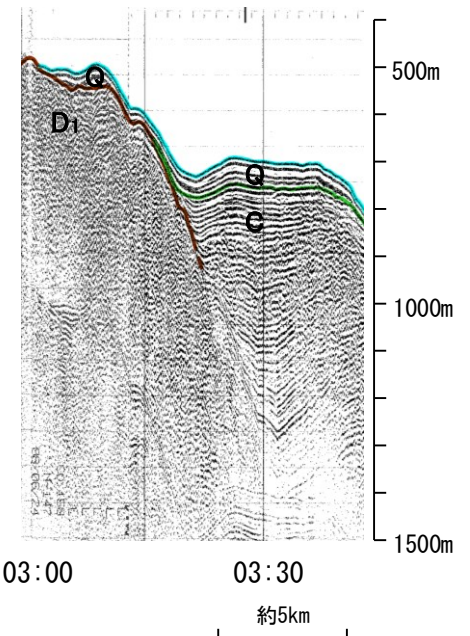
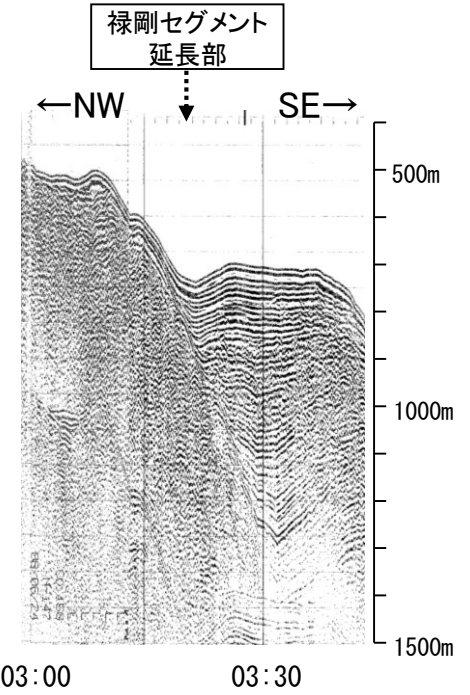
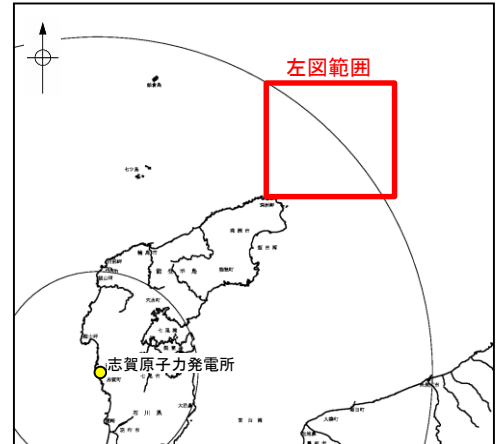
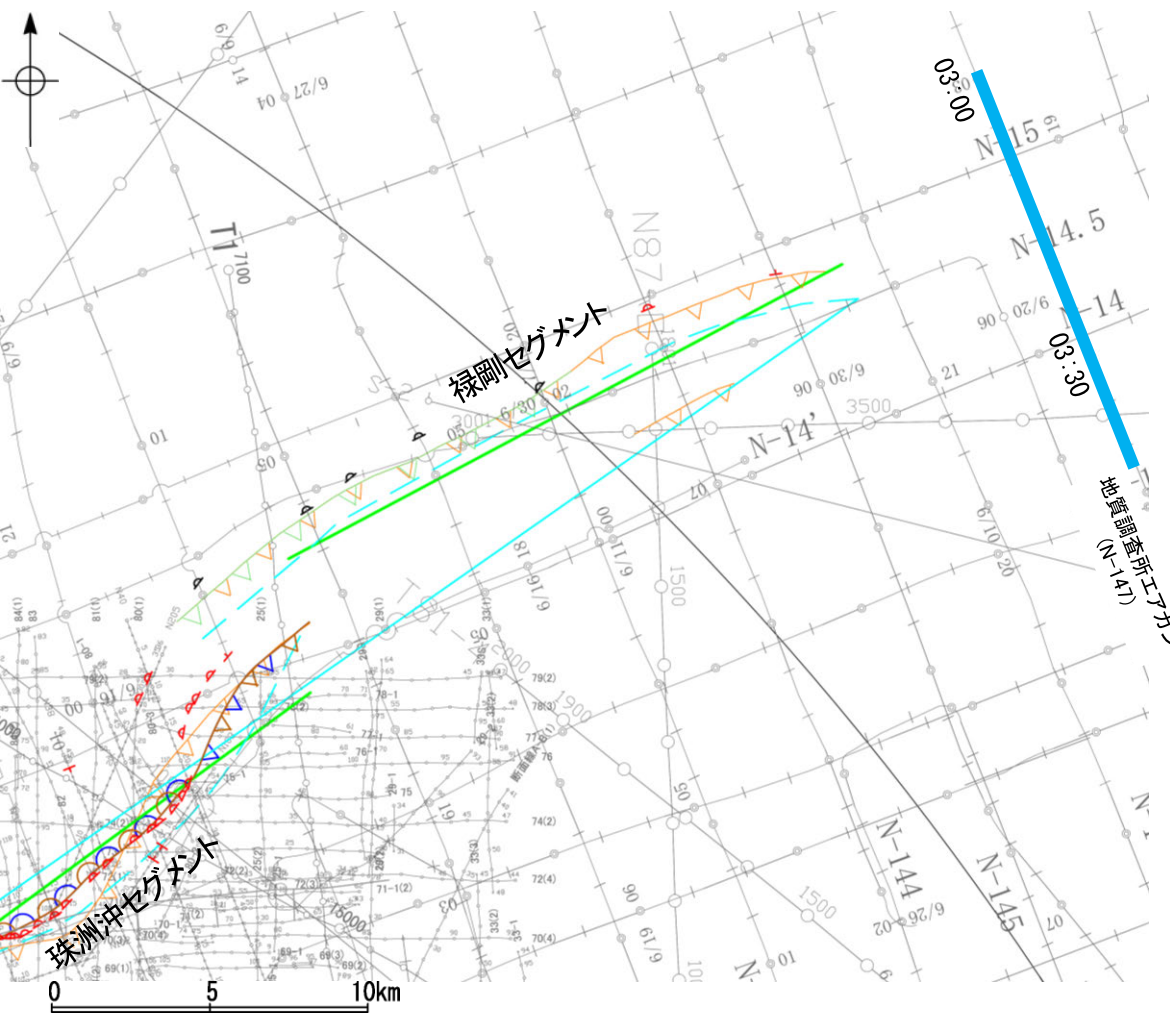
- 凡 例
- 文献による断層
 - 対象文献断層
 - 岡村(2002)による逆断層
 - 尾崎他(2019)による逆断層
 - 井上・岡村(2010)による活逆断層
 - 尾崎他(2019)による活逆断層
 - 井上・岡村(2010)による活横断層
 - 尾崎他(2019)による活横断層
 - 国交省ほか(2014)による津波断層モデルの位置(破線は断層トレース)
 - 文科省ほか(2015)による震源断層モデルの上端位置
 - 対象外文献断層
 - 鈴木(1979)による正断層
 - 音探記録から推定した対象断層 (測線位置における活動性)
 - 右図記録範囲
 - 調査測線 (地質調査所: エアガン・シングルチャンネル)
 - 調査測線 (海上保安庁水路部: スーパー・シングルチャンネル)
 - 調査測線 (文部科学省研究開発局・国立大学法人東京大学地震研究所: エアガン・マルチチャンネル)
 - 調査測線 (): エアガン・マルチチャンネル)
 - 調査測線 (): エアガン・マルチチャンネル)
 - 調査測線 (海洋研究開発機構: エアガン・マルチチャンネル)

枠囲みの内容は機密事項に属しますので公開できません。

この図面は、地質調査所(現 産業技術総合研究所)の海上音波探査の記録を北陸電力が独自に解析・作成したものである

2.5.2 (10) 能登半島北部沿岸域断層帯(禄剛セグメント)の端部 —北東端調査 N-147測線—

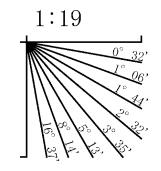
ON-146測線のさらに北東方延長にあたるN-147測線において、D層上面に北傾斜の起伏は見られず、少なくとも禄剛セグメントに対応する断層等を示唆するような変位、変形は認められない。



- 位置図**
- 凡 例
- 文献による断層
対象文献断層
 - 岡村(2002)による逆断層
 - 井上・岡村(2010)による活逆断層
 - 井上・岡村(2010)による活横断層
 - 国交省ほか(2014)による津波断層モデルの位置(破線は断層トレース)
 - 文科省ほか(2015)による震源断層モデルの上端位置
 - 対象外文献断層
 - 鈴木(1979)による正断層
 - 調査測線 (産業技術総合研究所: プーマー・マルチチャンネル)

- 尾崎他(2019)による逆断層
- 尾崎他(2019)による活逆断層
- 尾崎他(2019)による活横断層
- 音探記録から推定した対象断層 (測線位置における活動性)
- B層以上またはQ層に変位、変形が認められる
- B層以上またはQ層に変位、変形の可能性が否定できない
- B層以上またはQ層に変位、変形が認められない
- 右図記録範囲

地質時代		地層名	
第四紀	完新世	Q層	A層
	後期		B層
	中期		B層
更新世	前期	B層	
		C層	
新第三紀	鮮新世	D層	C層
	中新世		D層
	古第三紀		D層
先第三紀			D層



A層とB層の細区分ができない層は、Q層と称する。

- N-118 調査測線 (地質調査所: エアガン・シングルチャンネル)
- 80 調査測線 (海上保安庁水路部: スーパーカー・シングルチャンネル)
- 調査測線 (文部科学省研究開発局・国立大学法人東京大学地震研究所: エアガン・マルチチャンネル)
- H73-1 調査測線 (): エアガン・マルチチャンネル)
- T81-8 調査測線 (): エアガン・マルチチャンネル)
- SJ1407 調査測線 (海洋研究開発機構: エアガン・マルチチャンネル)

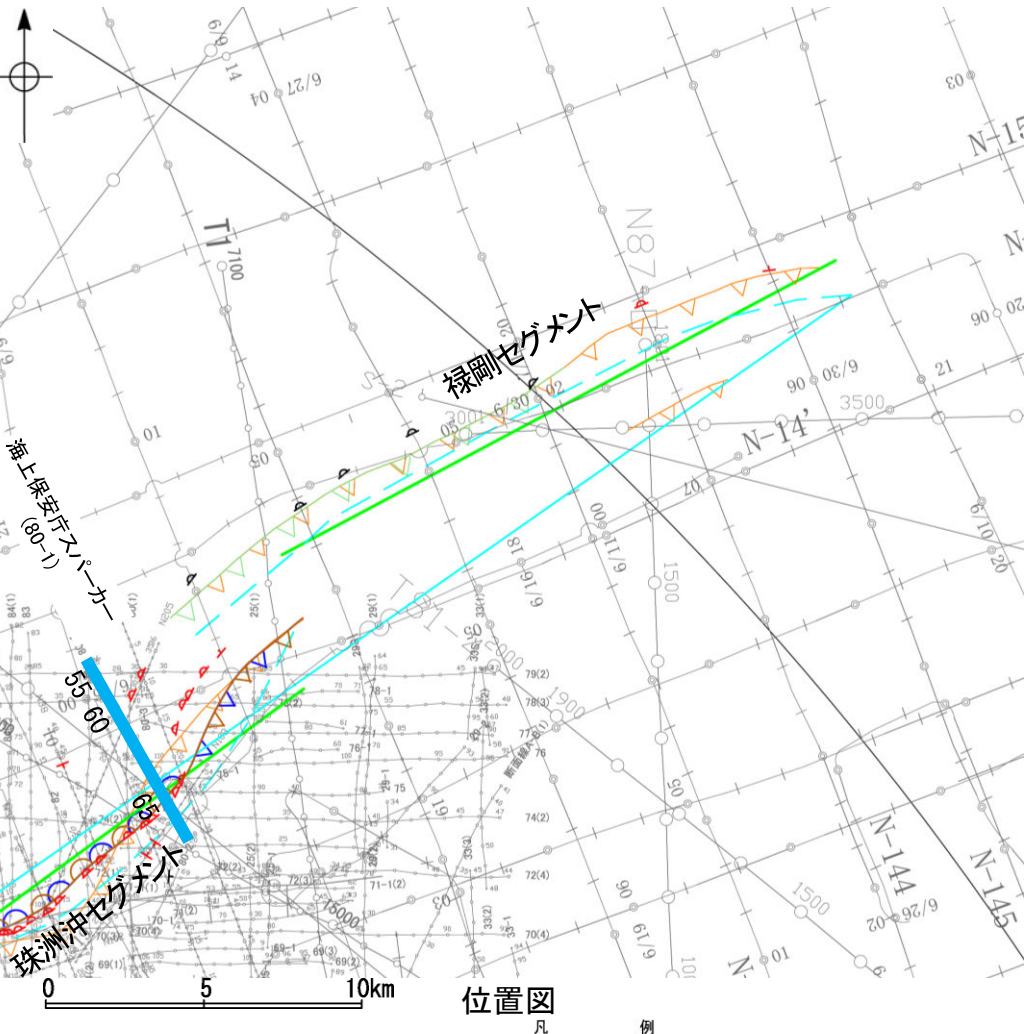
枠囲みの内容は機密事項に属しますので公開できません。

この図面は、地質調査所(現 産業技術総合研究所)の海上音波探査の記録を北陸電力が独自に解析・作成したものである

2.5.2 (10) 能登半島北部沿岸域断層帯(禄剛セグメント)の端部 —南西端調査 80-1測線—

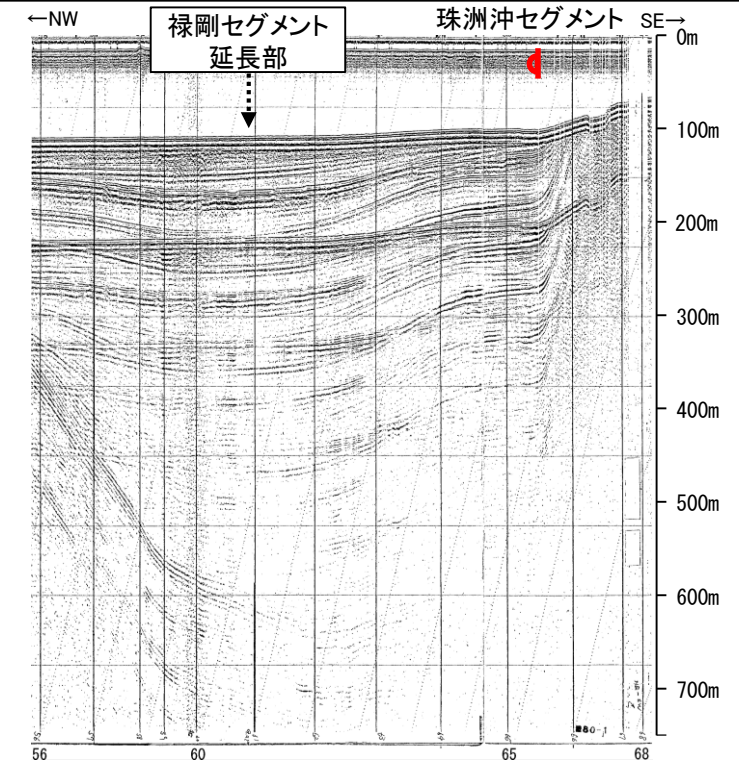
ON40測線で推定した断層等の南西方延長にあたる80-1測線において、D層上面に顕著な北傾斜の起伏は見られず、少なくとも禄剛セグメントに対応する断層等を示唆するような変位、変形は認められない。
 OD層の隆起帯北縁の測点65.5付近でB₁層、B₂層、C₁層及びD₁層に北西落ちの変形が認められることから撓曲を推定した。この撓曲は西方へ連続することから、連続性の観点から珠洲沖セグメントに対応すると判断した。
 ○また、文献(岡村(2002)、尾崎ほか(2019)及び国交省ほか(2014))の断層トレースも当測線まで延長していない。

紫字: 第1144回審査会合以降に変更した箇所

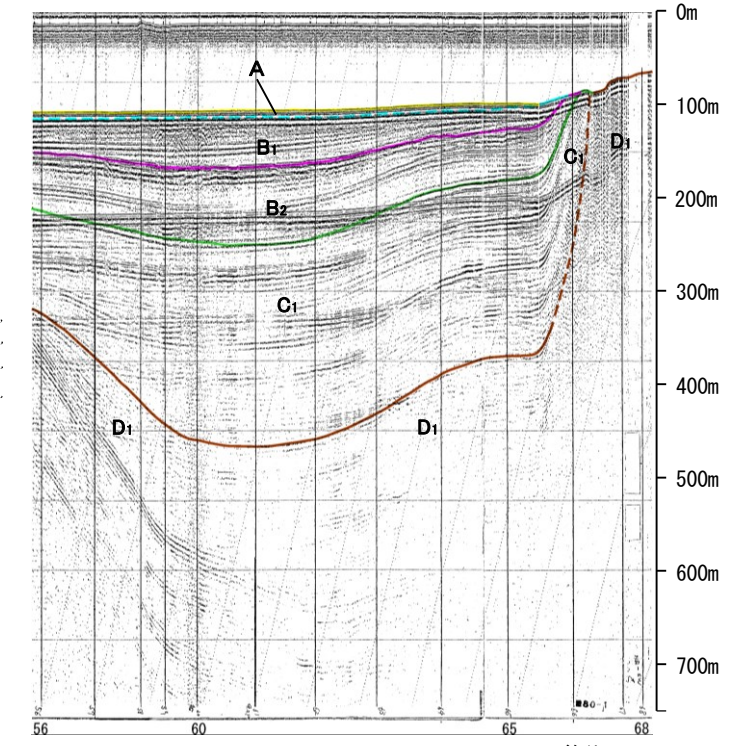
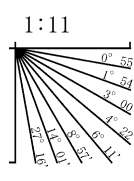


- 文献による断層
対象文献断層
- 岡村(2002)による逆断層
 - 尾崎他(2019)による逆断層
 - 井上・岡村(2010)による活断層
 - 井上・岡村(2010)による活撓曲軸
 - 国交省ほか(2014)による津波断層モデルの位置(破線は断層トレース)
 - 文科省ほか(2015)による震源断層モデルの上端位置
 - 対象外文献断層
 - 鈴木(1979)による正断層
- 調査測線 (産業技術総合研究所: プーマー・マルチチャンネル)

- 音探記録から推定した対象断層
(測線位置における活動性)
- 右図記録範囲
- 調査測線 (地質調査所: エアガン・シングルチャンネル)
- 調査測線 (海上保安庁水路部: スーパー・シングルチャンネル)
- 調査測線 (文部科学省研究開発局・国立大学法人東京大学地震研究所: エアガン・マルチチャンネル)
- 調査測線 (): エアガン・マルチチャンネル
- 調査測線 (): エアガン・マルチチャンネル
- 調査測線 (海洋研究開発機構: エアガン・マルチチャンネル)



地質時代		地層名	
第四紀	完新世	A層	
	後期	B ₀ 層	
	更新世	Q層	B ₁ 層
		中期	B ₂ 層
前期	B ₃ 層		
第三紀	鮮新世	C層	C ₁ 層
		C ₂ 層	
	中新世	D ₁ 層	
		D ₂ 層	
古第三紀		D ₃ 層	
先第三紀		D ₄ 層	



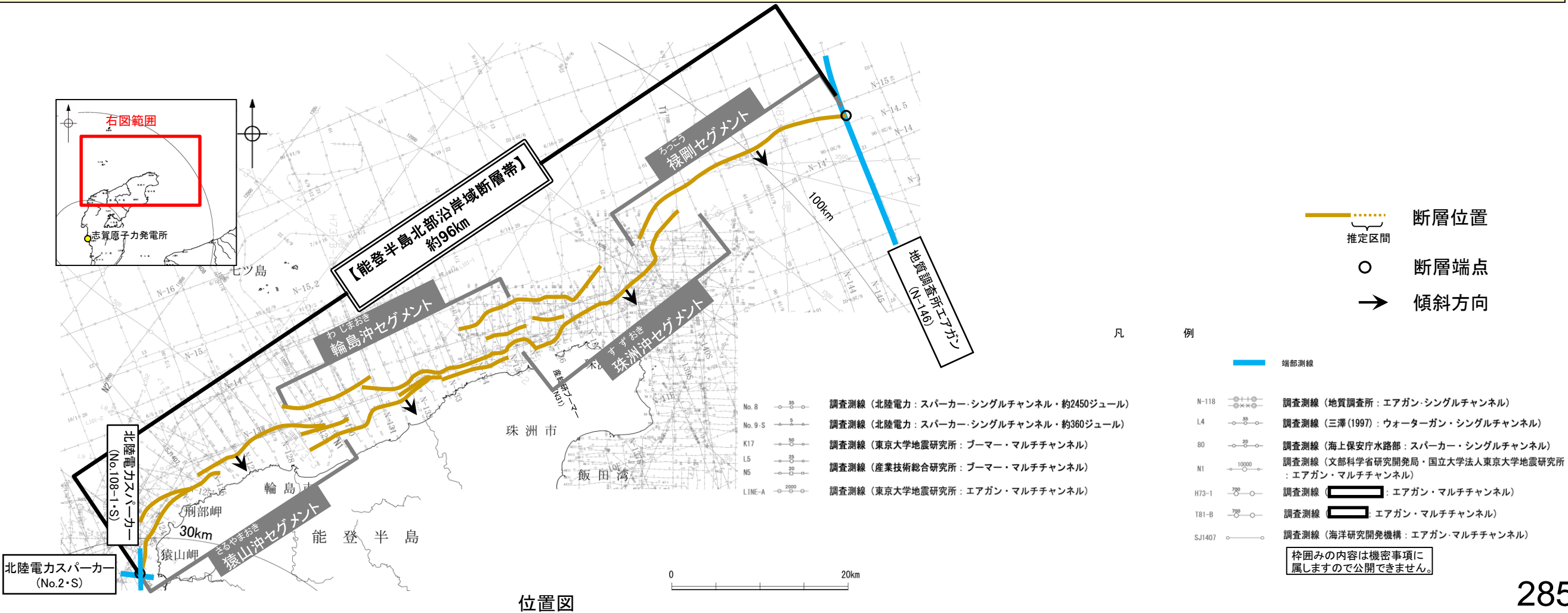
この図面は、海上保安庁水路部(現、海上保安庁海洋情報部)の海上音波探査の記録を北陸電力が独自に解析・作成したものである

枠囲みの内容は機密事項に属しますので公開できません。

2.5.2 (11) 猿山沖セグメント、輪島沖セグメント、珠洲沖セグメント及び禄剛セグメントの連動評価

- 文献調査の結果、国交省ほか(2014)は、猿山沖セグメント、輪島沖セグメント、珠洲沖セグメント及び禄剛セグメントに対応する位置に一連の構造として、断層モデルを設定している。また、文科省ほか(2016)は、猿山沖セグメント及び輪島沖セグメントに対応するNT6、珠洲沖セグメントに対応するNT5、禄剛セグメントに対応するNT4について、連動する可能性がある断層の組合せとしてNT4-NT5-NT6を評価している(P.262, 次頁)。
- 以下にこれらの断層の連動に関する詳細調査の結果を示す。
 - ・猿山沖セグメント、輪島沖セグメント、珠洲沖セグメント及び禄剛セグメントはいずれも南東傾斜(約60°)で、断層面の傾斜方向は同じである(下図, P.258~261)。
 - ・猿山沖セグメント、輪島沖セグメント、珠洲沖セグメント及び禄剛セグメントは、雁行状または直線状に断続的に近接して分布し、各セグメント境界では背斜構造が並走区間を伴って雁行状に分布する(下図, P.258~261, P.287)。
 - ・各セグメント周辺には、下部~中部中新統と推定される南志見沖層群及び珠洲沖層群の隆起が認められ、海岸に沿った断層上盤の隆起帯や禄剛沖隆起帯などの海底の高まりとして海底面に露出している(P.263)。
 - ・断層周辺の重力異常を比較した結果、猿山沖セグメント、輪島沖セグメント及び珠洲沖セグメントは、能登半島北縁海域の低重力異常帯に沿って分布しているものの、猿山沖セグメントと輪島沖セグメントの境界には等重力線の遷急部は認められず、輪島沖セグメントと珠洲沖セグメントの境界には高重力異常域が認められる(P.288)。
 - ・1729年能登・佐渡の地震は輪島沖セグメントの最新活動、1993年能登半島沖の地震は珠洲沖セグメントの最新活動によるものと考えられ、セグメント長さから想定される規模とほぼ同じ地震が、セグメント毎に発生している(P.289)。

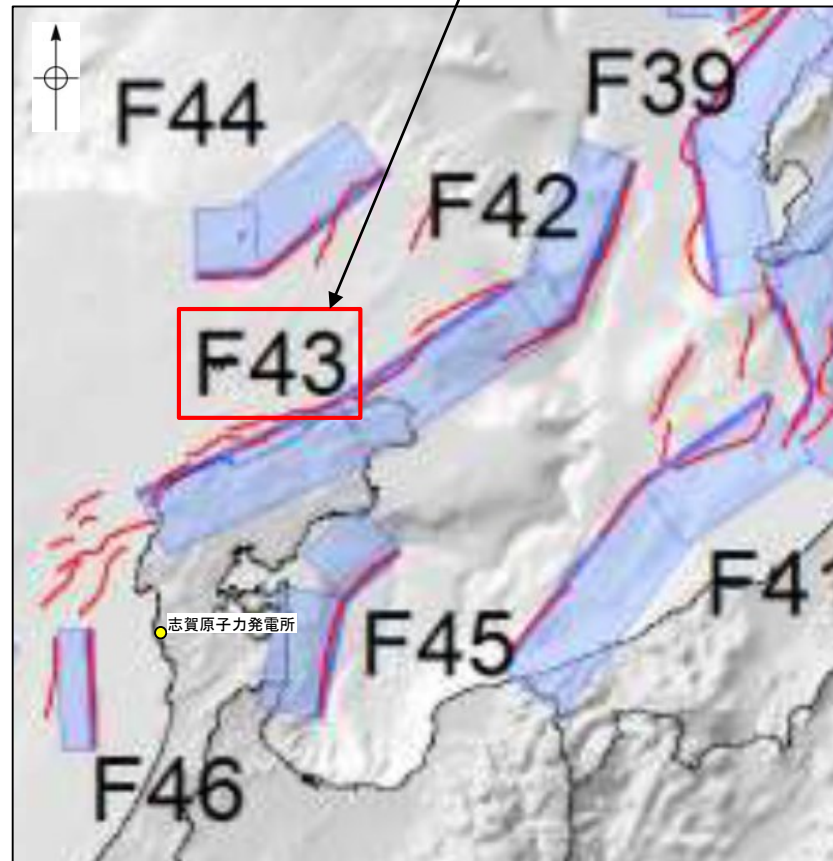
○上記のうち、国交省ほか(2014)、文科省ほか(2016)による連動の評価は専門家により詳細に検討された結果であることから、重要な知見と位置づけ、当社の評価に反映する。
 ○したがって、猿山沖セグメント、輪島沖セグメント、珠洲沖セグメント及び禄剛セグメントは連動を考慮し、「能登半島北部沿岸域断層帯」として、走向がNE-SW方向、南東傾斜(約60°)の逆断層と評価した。
 ○断層長さは、禄剛セグメントの北東端であるN-146測線(北東端)から猿山沖セグメントの南西端であるNo.108-1・S測線、No.2・S測線(南西端)までの約96km区間を評価した。
 ○なお、連動に関する詳細調査の結果を踏まえると、重力異常や地震活動の観点からは、猿山沖セグメント、輪島沖セグメント、珠洲沖セグメント及び禄剛セグメントの連動は示唆されないものの、断層面の傾斜方向が同じであること、いずれのセグメントも近接して分布し、各セグメント周辺に南志見沖層群及び珠洲沖層群の隆起が認められることは、これらの断層の連動を考慮するとした上記評価と整合する。



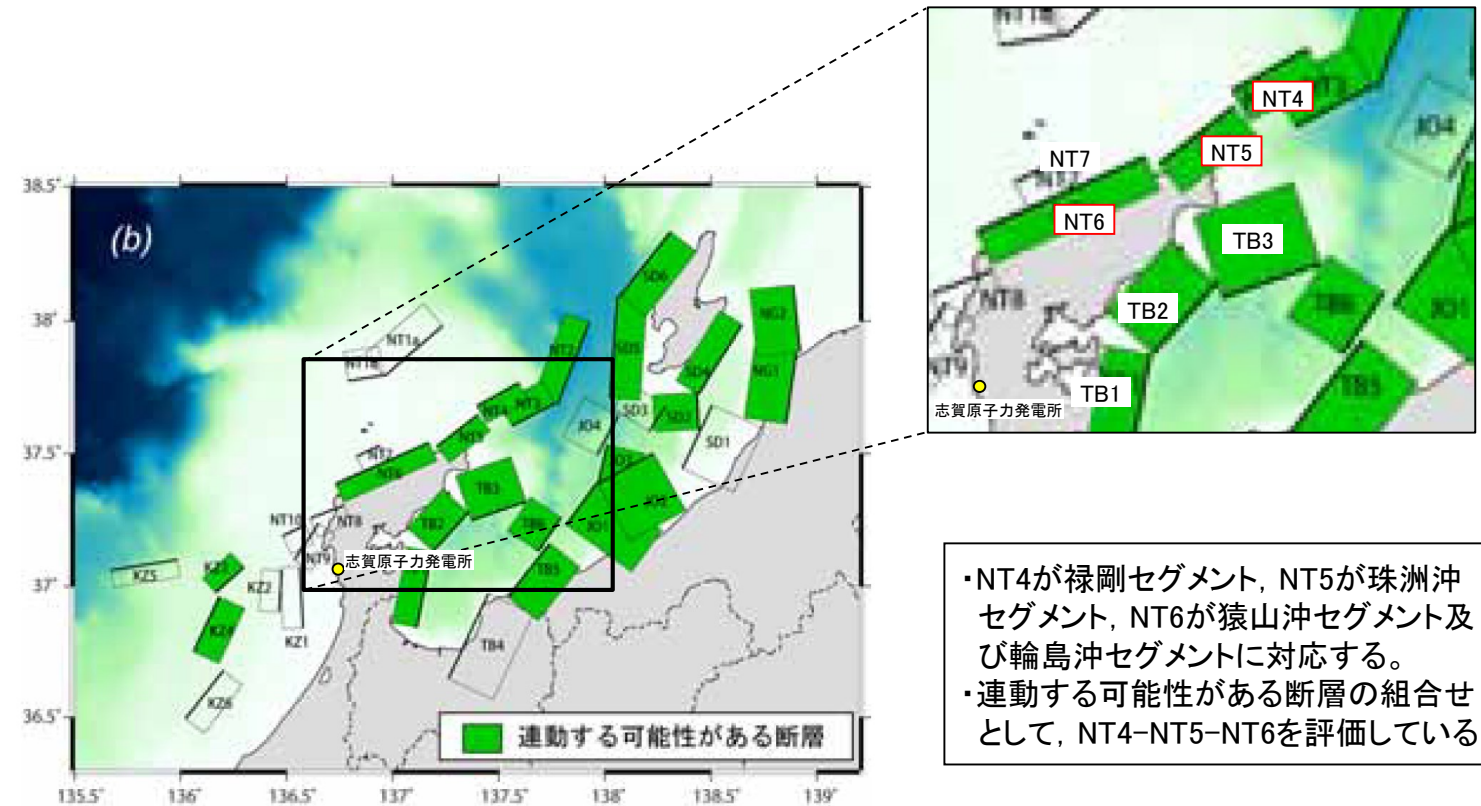
【国による連動評価 ー文献調査ー】

- 猿山沖セグメント, 輪島沖セグメント, 珠洲沖セグメント及び禄剛セグメントの連動に関する文献調査を行った。
- 国交省ほか(2014)は, 猿山沖セグメント, 輪島沖セグメント, 珠洲沖セグメント及び禄剛セグメントに対応する断層を一連の構造として, 断層モデルF43を設定している。
- 文科省ほか(2016)は, 猿山沖セグメント及び輪島沖セグメントに対応するNT6, 輪島沖セグメントに対応するNT5, 禄剛セグメントに対応するNT4について, 連動する可能性がある断層の組合せとしてNT4-NT5-NT6を評価している。

・猿山沖セグメント, 輪島沖セグメント, 珠洲沖セグメント及び禄剛セグメントに対応する。



国交省ほか(2014)を編集, 一部加筆



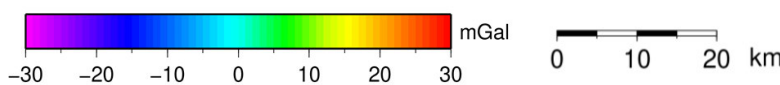
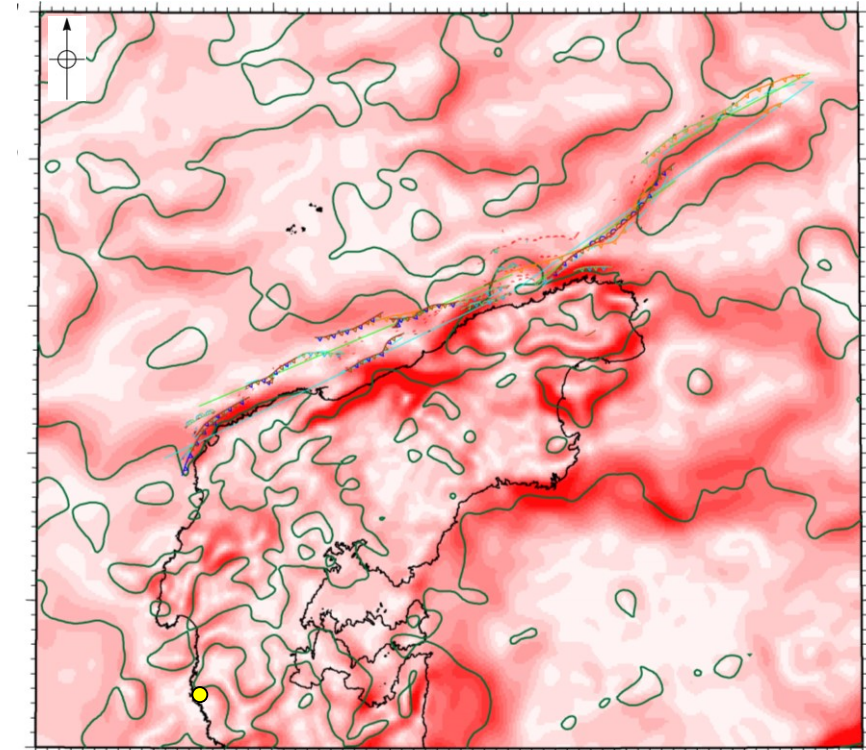
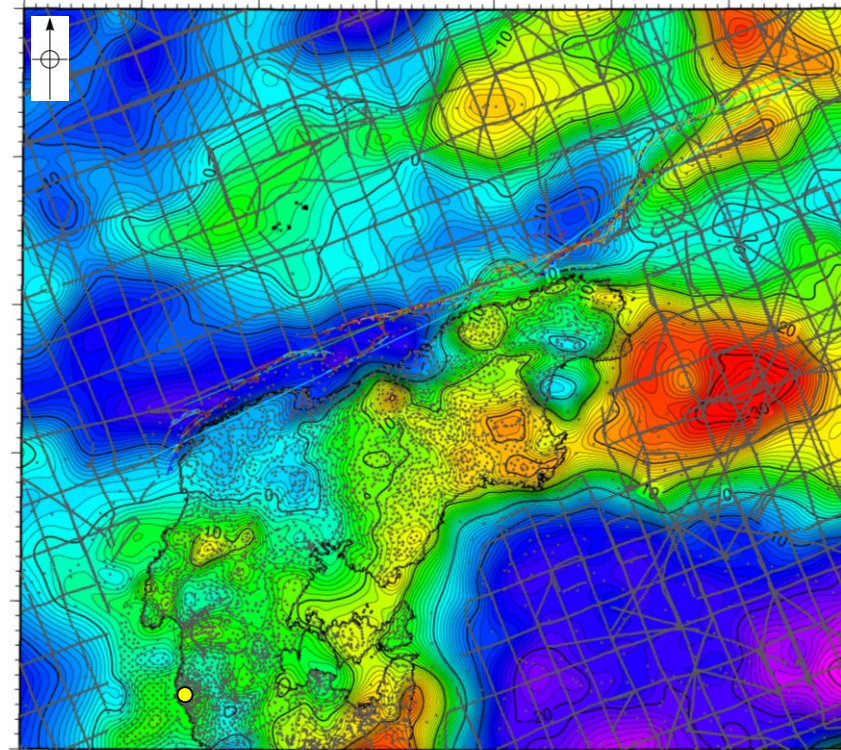
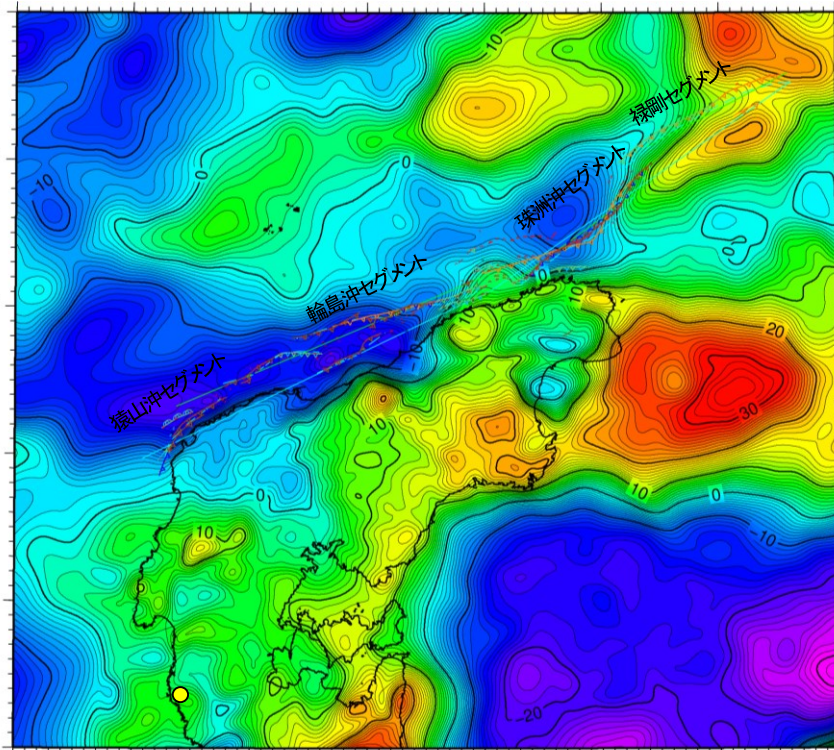
・NT4が禄剛セグメント, NT5が珠洲沖セグメント, NT6が猿山沖セグメント及び輪島沖セグメントに対応する。
・連動する可能性がある断層の組合せとして, NT4-NT5-NT6を評価している。

連動する可能性が考えられる21断層(緑色)
文科省ほか(2016)を編集, 一部加筆

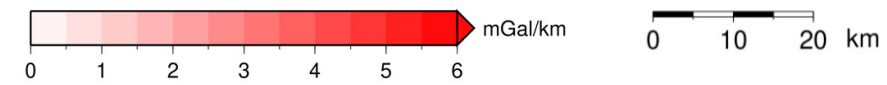
【猿山沖セグメント, 輪島沖セグメント, 珠洲沖セグメント及び禄剛セグメント周辺の重力異常】

○澤田ほか(2012)によれば, 猿山沖セグメント, 輪島沖セグメント及び珠洲沖セグメントは, 能登半島北縁海域の低重力異常帯に沿って分布している。
 ○猿山沖セグメントと輪島沖セグメントの境界付近には等重力線の遷急部は認められず, さらに, 同境界は陸上の地塊境界の延長位置にあたる。また, 輪島沖セグメントと珠洲沖セグメントの境界部には高重力異常域が認められ, さらに, 同高重力異常域は内陸部に連続し, その西縁は陸上の地塊境界にあたる。

● 志賀原子力発電所



仮定密度: 2,300kg/m³ コンター間隔: 1mGal ●: 測定点



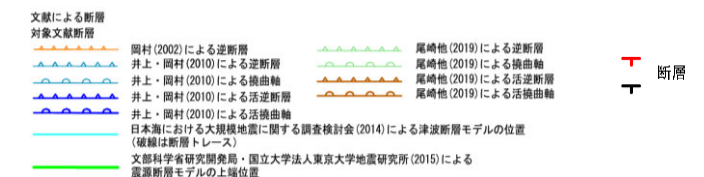
ブーゲー異常図(左図: 測定点なし, 右図: 測定点あり)

・ブーゲー異常図は, 対象とする断層の規模, 調査密度を考慮し, 平面トレンド成分の除去及び遮断波長4kmのローパスフィルター処理を行っている。

水平一次微分図

・水平一次微分図は, 左のフィルター処理後のブーゲー異常図を基に作成した。

・上図は, 陸域は本多ほか(2012), 国土地理院(2006), The Gravity Research Group in Southwest Japan (2001), Yamamoto et al. (2011), Hiramatsu et al. (2019), 海域は産業技術総合研究所地質調査総合センター(2013), 石田ほか(2018)を用いて, 金沢大学・当社が作成した。



【猿山沖セグメント，輪島沖セグメント，珠洲沖セグメント及び禄剛セグメント周辺の地震活動】

○能登半島北部周辺で過去に発生した地震活動について，文献調査の結果，セグメント長さから想定される規模とほぼ同じ地震が，セグメント毎に発生している(下図)。

・Hamada et al.(2016)は，下記のデータに基づき，1729年能登・佐渡の地震は輪島沖セグメントの最新活動によるものとしている。

- ・離水した潮間帯生物遺骸化石の年代に基づく沿岸隆起の時期は，西暦1600～1800年である。
- ・この沿岸隆起を再現する輪島沖セグメントの断層モデルの規模と変位量から，気象庁マグニチュード M6.9の地震規模が想定される。
- ・断層モデルから再現される隆起域と潰家率30%以上の地域(宇佐美，2003)が整合的である。

1729年
能登・佐渡の地震
(M6.6～7.0)

潰家率30%以上の地域
(宇佐美，2003)

1993年
能登半島沖の地震
(M6.6)

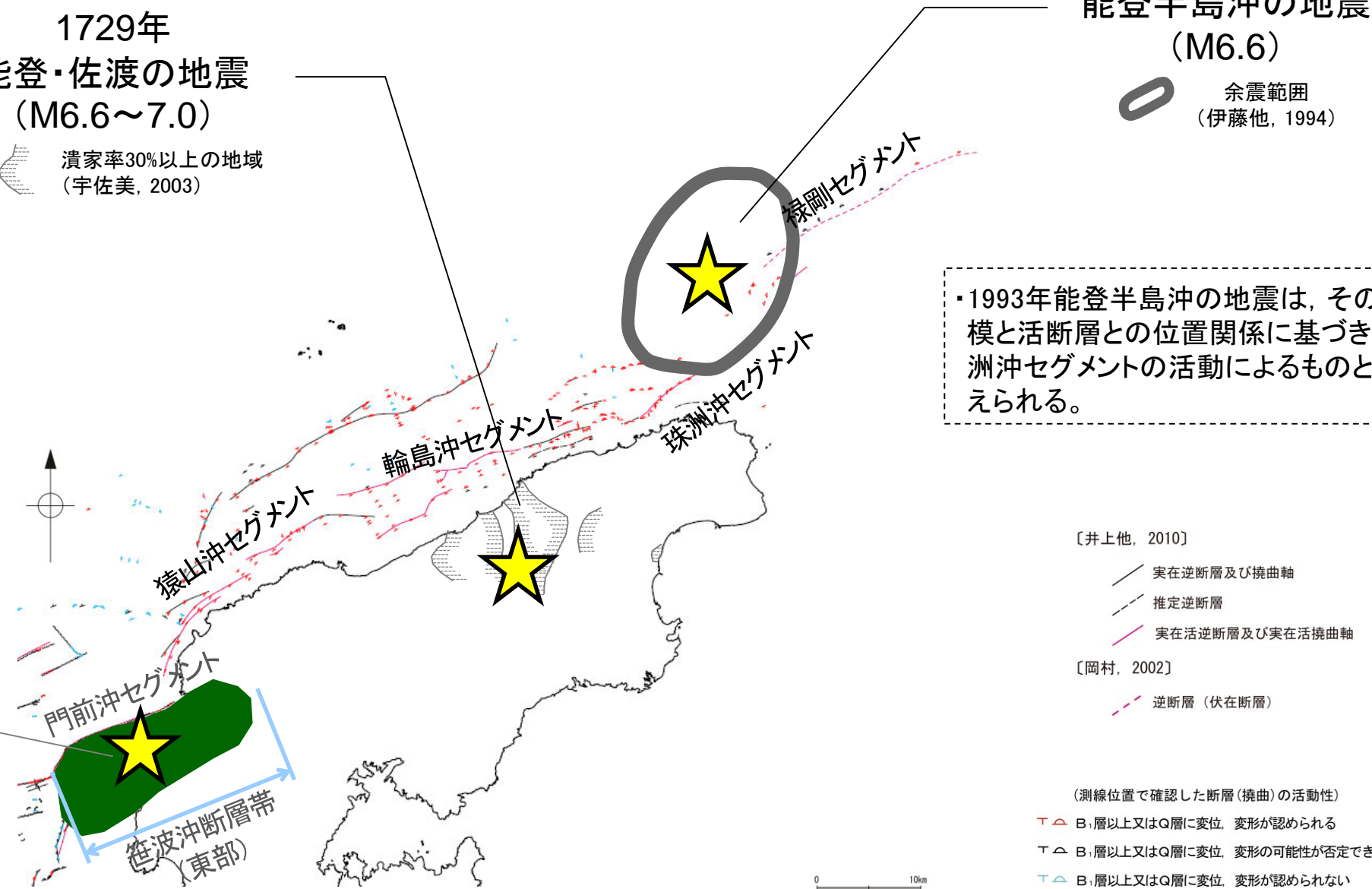
余震範囲
(伊藤他，1994)

・1993年能登半島沖の地震は，その規模と活断層との位置関係に基づき，珠洲沖セグメントの活動によるものと考えられる。

2007年
能登半島地震
(M6.9)

震源断層
(佐藤ほか，2007a)

・佐藤ほか(2007a)は，2007年能登半島地震は笹波沖断層帯(東部)に対応する断層の最新活動によるものとしている。



能登半島北部周辺の過去の地震

〔井上他，2010〕

- 実在逆断層及び撓曲軸
- - - 推定逆断層
- 実在活逆断層及び実在活撓曲軸

〔岡村，2002〕

- - - 逆断層(伏在断層)

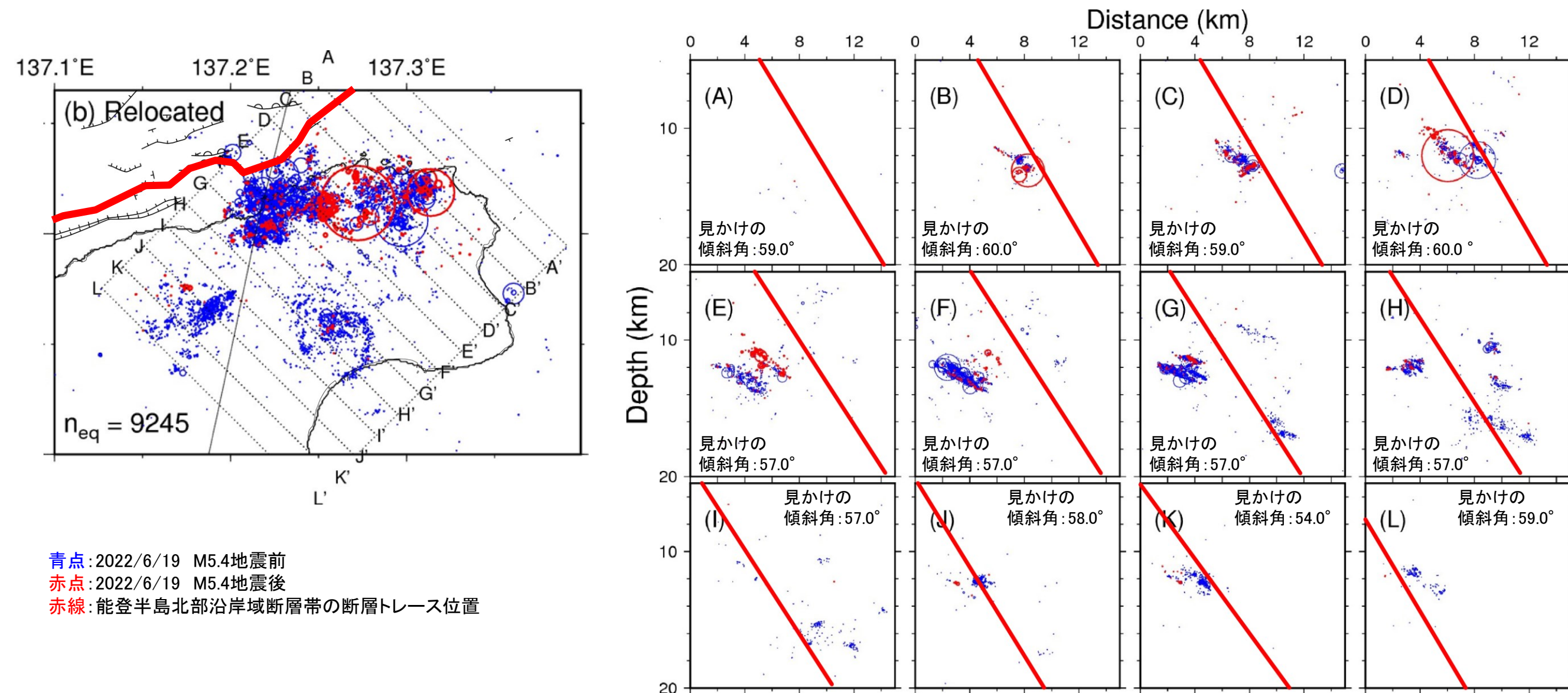
(測線位置で確認した断層(撓曲)の活動性)

- △ B₁層以上又はQ層に変位，変形が認められる
- △ B₁層以上又はQ層に変位，変形の可能性が否定できない
- △ B₁層以上又はQ層に変位，変形が認められない
- 断層(伏在断層)
- 断層 } 連続性のない断層
- 伏在断層 }
- △ 撓曲
- 背斜軸
- 向斜軸

【(参考)石川県能登地方の群発地震と能登半島北部沿岸域断層帯との関連性について】

- 石川県能登地方の地殻内では、2018年頃から地震回数が増加傾向にあり、2020年12月から地震活動が活発になり、2021年7月頃からさらに活発になっている(地震調査委員会, 2022)(令和4年7月11日公表)。この群発地震と能登半島北部沿岸域断層帯との関連性について示す。
- 本地震と能登半島北部沿岸域断層帯の関連性を確認するため、地震調査委員会(2022)が示す2022年6月19日のM5.4の地震発生前後の震源分布と能登半島北部沿岸域断層帯の断層トレース位置を比較した(下図, 次頁)。
- その結果、震源分布と能登半島北部沿岸域断層帯の断層トレースには明瞭な位置の対応は認められず、これらの関連性については判断できない。

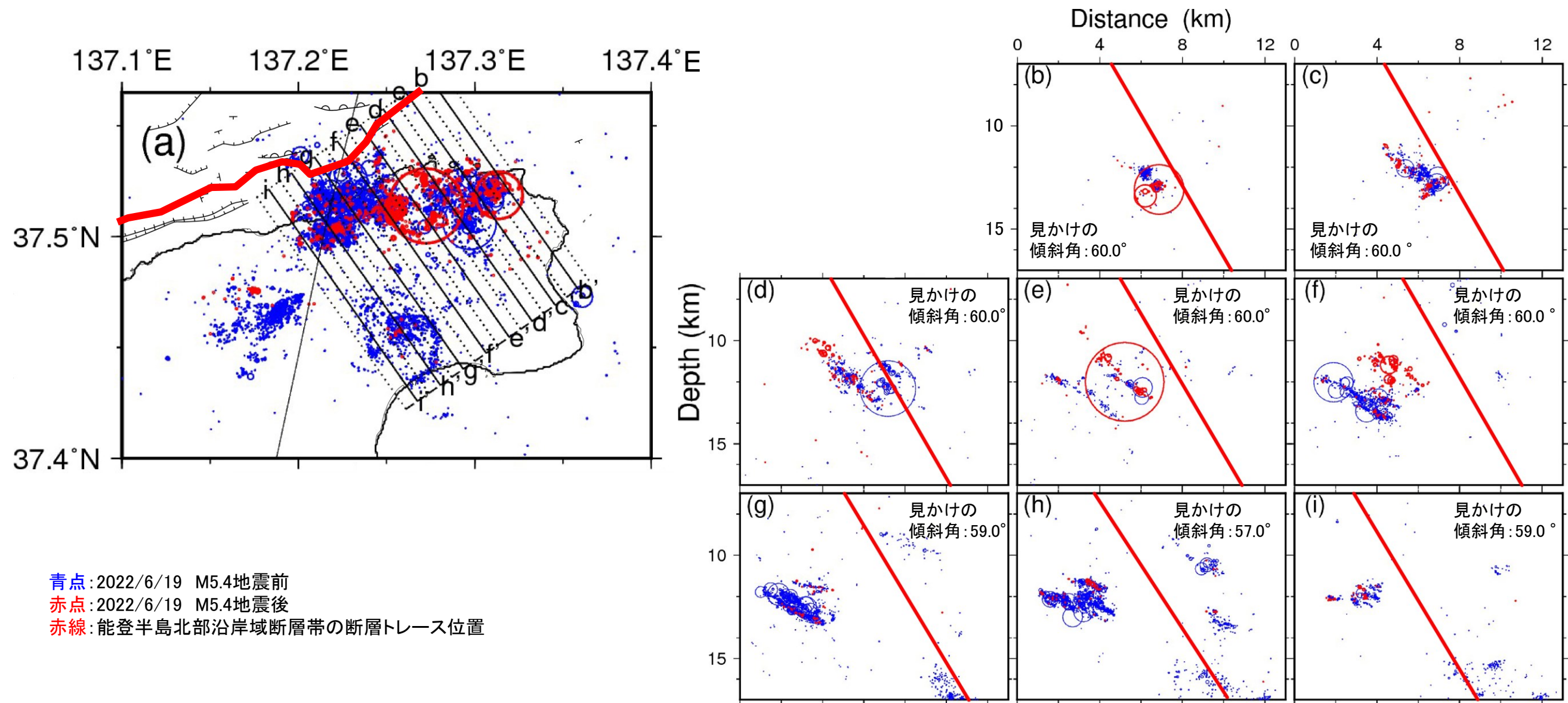
震源分布と断層トレースの比較 1/2



青点: 2022/6/19 M5.4地震前
赤点: 2022/6/19 M5.4地震後
赤線: 能登半島北部沿岸域断層帯の断層トレース位置

地震調査委員会(2022)の波形相関に基づく高精度震源分布に断層トレースを加筆
(断層トレースは南東傾斜60°として加筆)

震源分布と断層トレースの比較 2/2

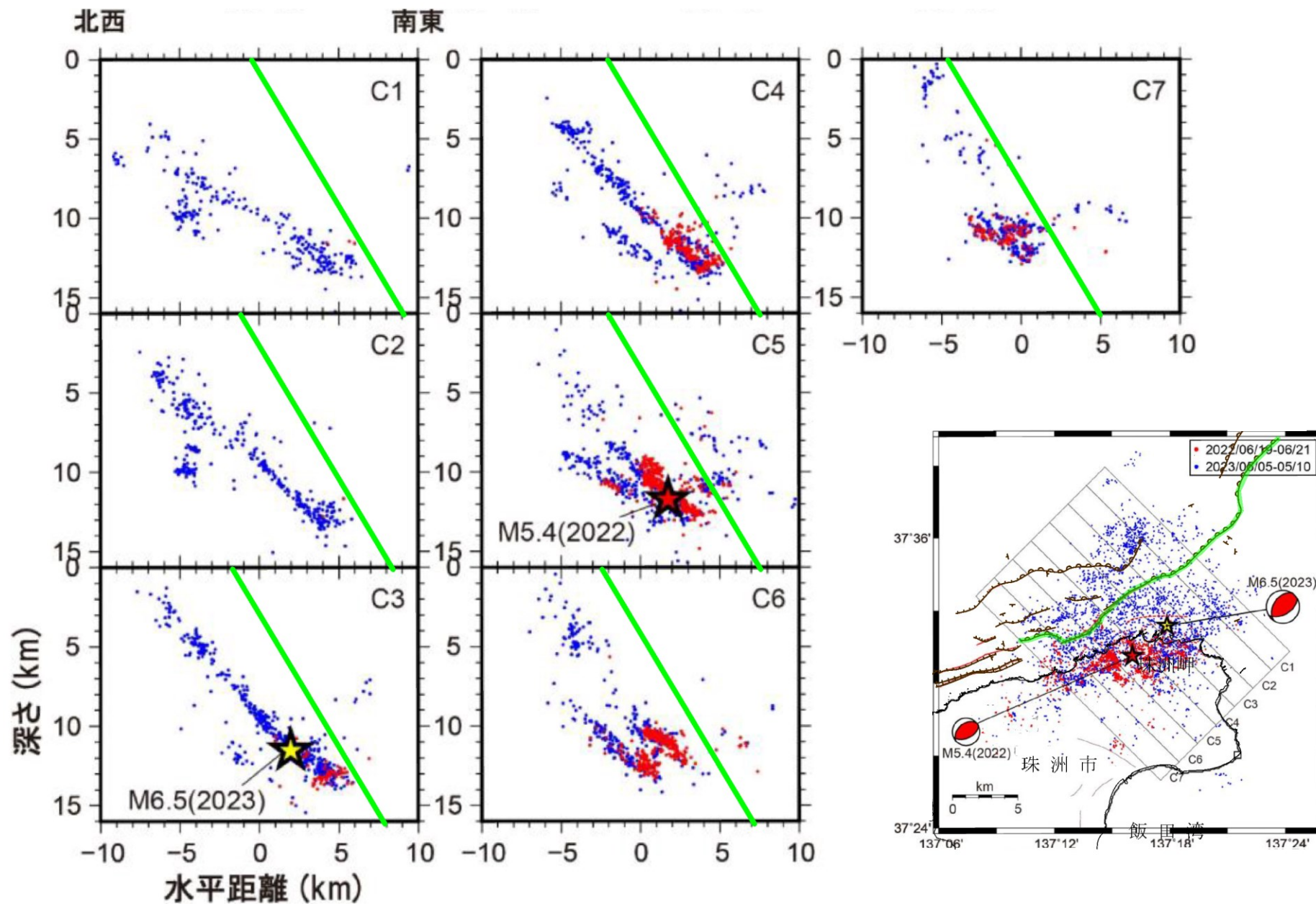


・群発地震震源域北側では、複数枚の面で地震が発生している(地震調査委員会, 2022)。

地震調査委員会(2022)の波形相関に基づく高精度震源分布に断層トレースを加筆
(断層トレースは南東傾斜60°として加筆)

震源分布と断層トレースの比較(2023年5月5日 石川県能登地方の地震(M6.5)以降の検討)

○2023年5月5日に能登半島沖でM6.5の地震が発生した。当該地震と能登半島北部沿岸域断層帯の関連性を確認するため、地震調査委員会(2023)(令和5年6月9日公表)が示す震源分布と能登半島北部沿岸域断層帯の断層トレース位置を比較した(下図)。
 ○その結果、震源分布と能登半島北部沿岸域断層帯の断層トレースには明瞭な位置の対応は認められず、これらの関連性については判断できない。



青点: 2022/6/19~6/21(震源数1292個)
 赤点: 2023/5/5~5/10(震源数2798個)
 緑線: 能登半島北部沿岸域断層帯の断層トレース位置

凡 例

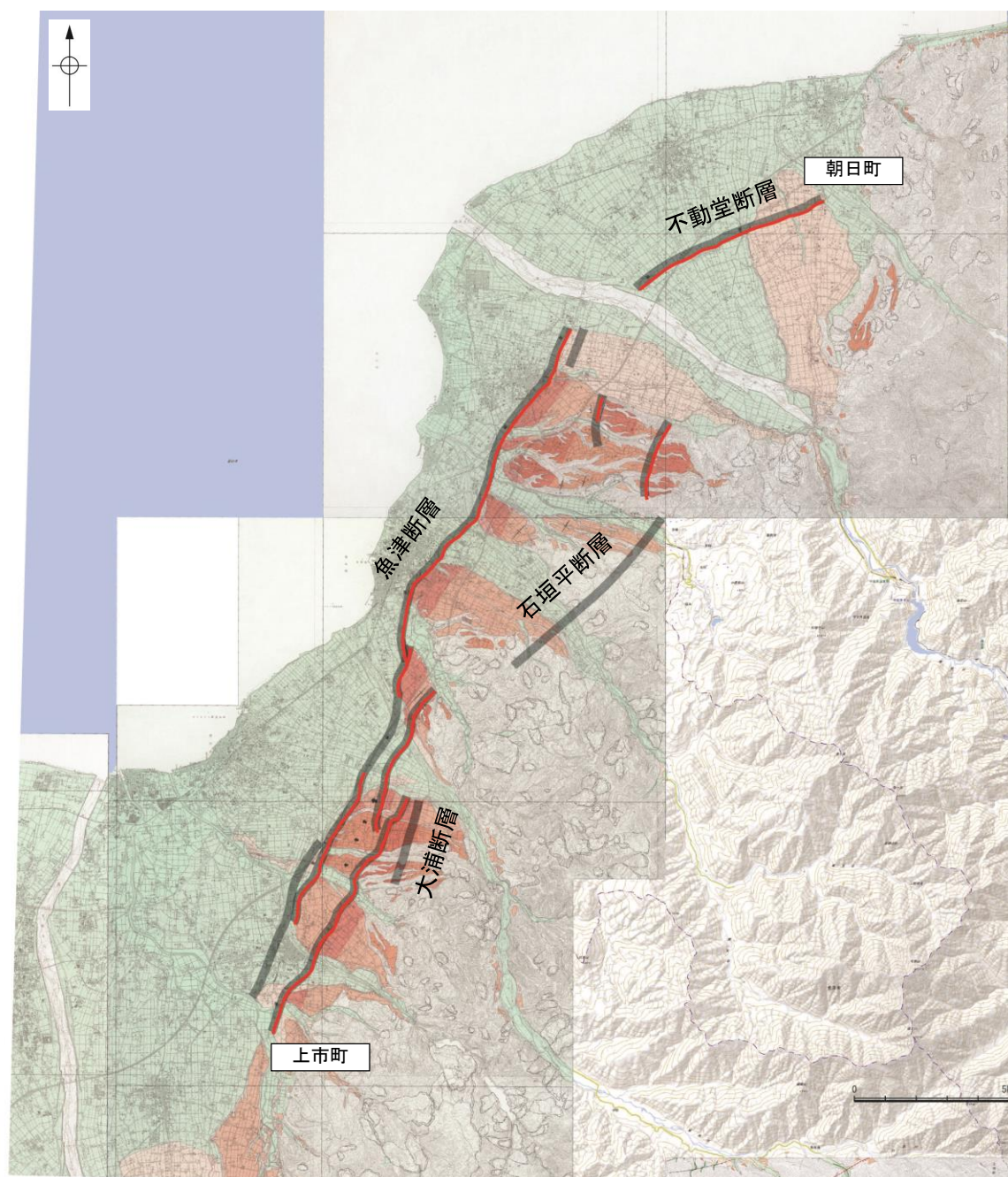
 断 層
 連続性のない断層
 撓 曲
 能登半島北部沿岸域断層帯の断層トレース

地震調査委員会(2023)の震源分布に断層トレースを加筆
 (断層トレースは南東傾斜60°として加筆)

2.5.3 魚津断層帯

2.5.3 (2) 魚津断層帯の文献調査 —地震調査委員会(2007), 新編 日本の活断層, 都市圏活断層図, 活断層データベース—

- 地震調査委員会(2007)は、富山県下新川郡朝日町から富山県中新川郡上市町までの区間に図示している、不動堂断層、魚津断層、石垣平断層及び大浦断層等より構成される断層帯を魚津断層帯としている。長さは約32kmで、概ね北北東—南南西方向に延び、南東側が北西側に対して相対的に隆起する逆断層からなり、北東端付近では右横ずれ成分を伴うとしている。
- 「新編 日本の活断層」(活断層研究会, 1991)は、地震調査委員会(2007)とほぼ同じ位置に不動堂断層(確実度 I, 南東側低下), 石垣平断層(確実度 I, 南東側低下)及び大浦断層(確実度 I, 北西側低下)を図示している。不動堂断層はNE-SW走向, 長さ2km, 活動度B, 北西側の舟見面が3m隆起, 石垣平断層はNE-SW走向, 長さ6km, 活動度B~C, 北西側の低位~高位面が隆起, 大浦断層はNE-SW走向, 長さ1.5km, 活動度B, 南側の中野面及び大崎野面が隆起と記載している。
- 「都市圏活断層図」(今泉ほか, 2003; 東郷ほか, 2003)は、地震調査委員会(2007)とほぼ同じ位置に、長さが約33kmで、概ね北北東—南南西方向に延び、主に南東側隆起の魚津断層を図示している。
- 「活断層データベース」(産業技術総合研究所地質総合センター)は、魚津断層帯を魚津活動セグメントとして図示している。



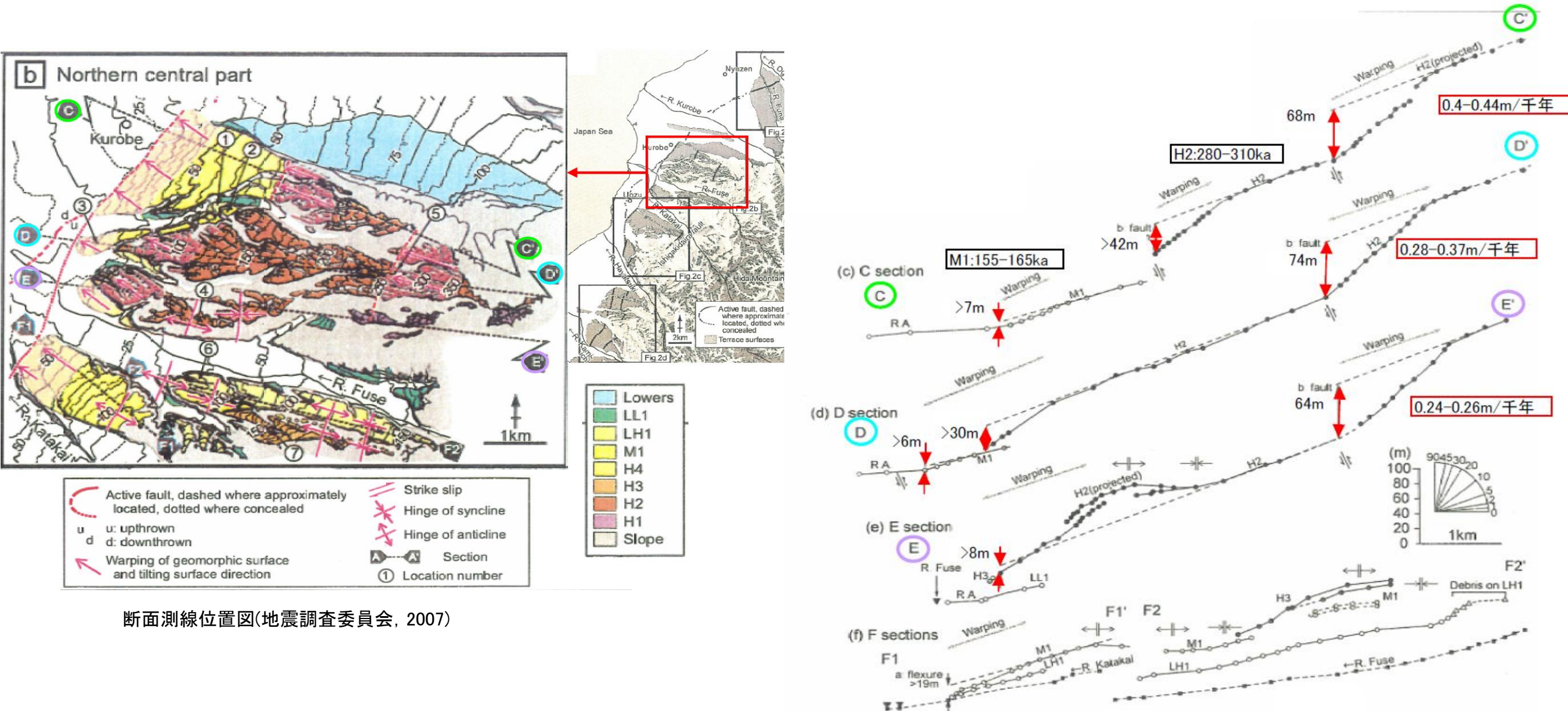
— 地震調査委員会(2007)トレース
 — 都市圏活断層図(今泉ほか, 2003; 東郷ほか, 2003)トレース

(都市圏活断層図(堤ほか, 2002; 今泉ほか, 2003; 東郷ほか, 2003; 基図は地理院地図)に一部加筆)

魚津断層帯

【地震調査委員会(2007)】

○地震調査委員会(2007)は、魚津断層帯では、LH1面などの段丘面に変形が認められ、断層運動によるものと考えられるが、活動履歴に関する資料は得られていないとしている。ただし、産業技術総合研究所(2006)及び松浦ほか(2006, 2007)が求めた平均上下変位速度から、魚津断層帯の平均上下変位速度を約0.3m/千年以上の可能性があるとして判断している。また、1回の活動に伴う変位量は、松田(1975)の経験式から2.5mと計算され、平均上下変位速度から平均活動間隔は8千年程度以下であった可能性があるとしている。

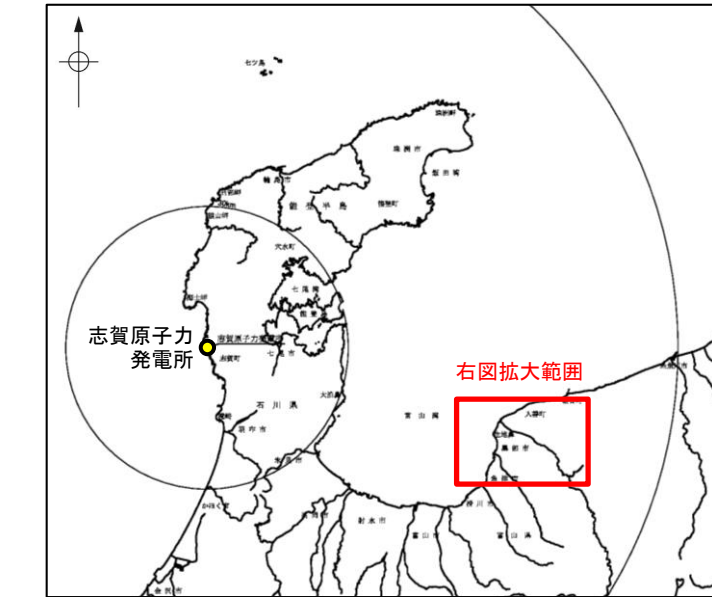


断面測線位置図(地震調査委員会, 2007)

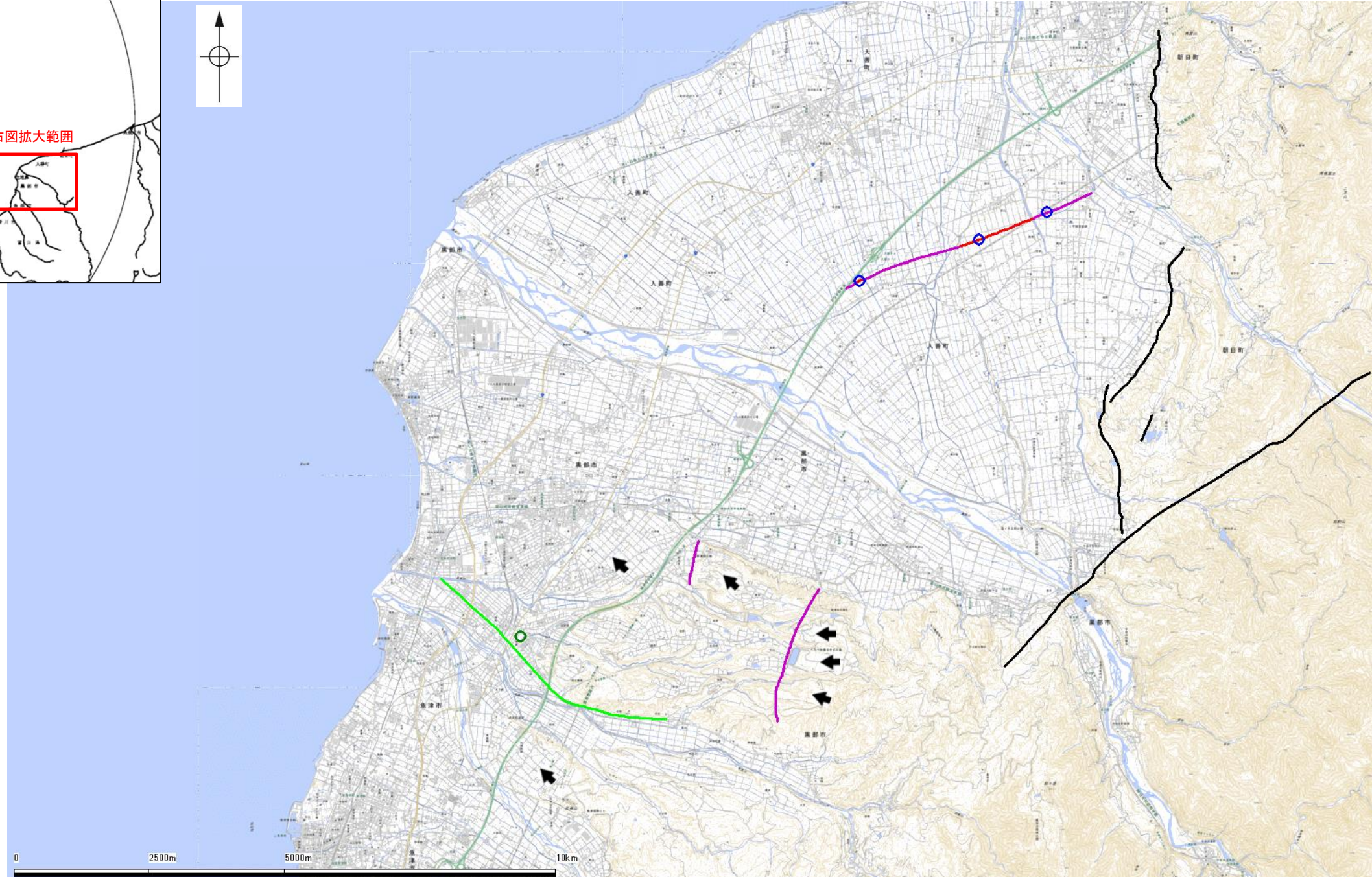
断面活動に伴う河成面の変形を示す断面図(地震調査委員会, 2007)

2.5.3 (2) 魚津断層帯の文献調査 —活断層詳細デジタルマップ[新編]—

○今泉ほか(2018)は、地震調査委員会(2007)の不動堂断層及びその南西方向に示される断層に対応する位置に活断層を図示し、長さ約25 kmの逆断層帯であるとしている。東半部は、黒部川扇状地を横断するように南向きの逆向き低断層崖として認識されるが、これは伏在する南東傾斜の逆断層の活動に伴う上盤内の変形と推定されると記載している。また、南西部の開析扇状地の傾動は、伏在する断層の活動に伴う増傾斜と考えられ、伏在する主断層の活動度は少なくともB級(千年あたりの平均変位量0.1m以上1m未満)と推定されると記載している。



位置図



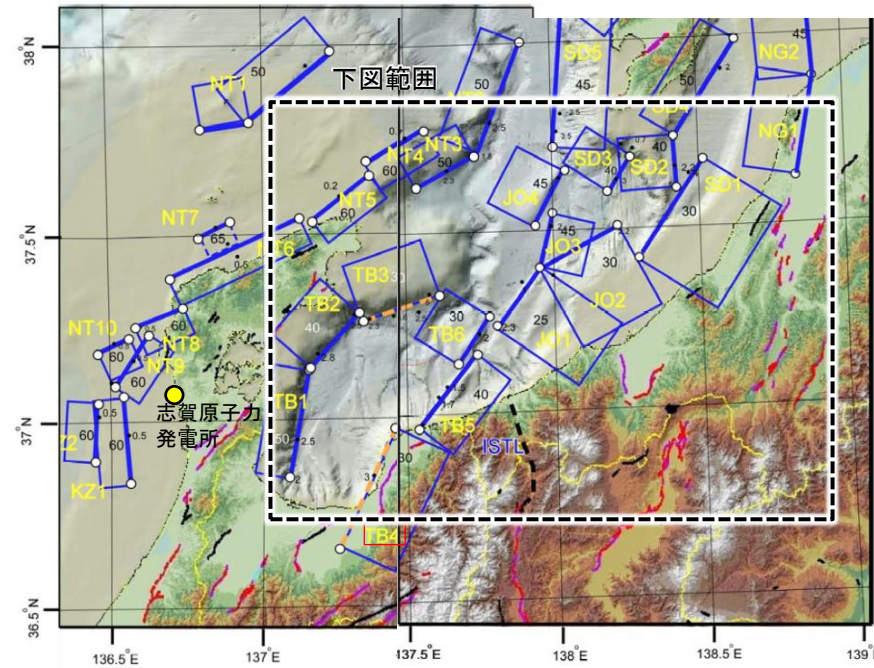
凡例

- — 活断層
- 推定活断層
- 反射法地震探査測線
- ← 傾動

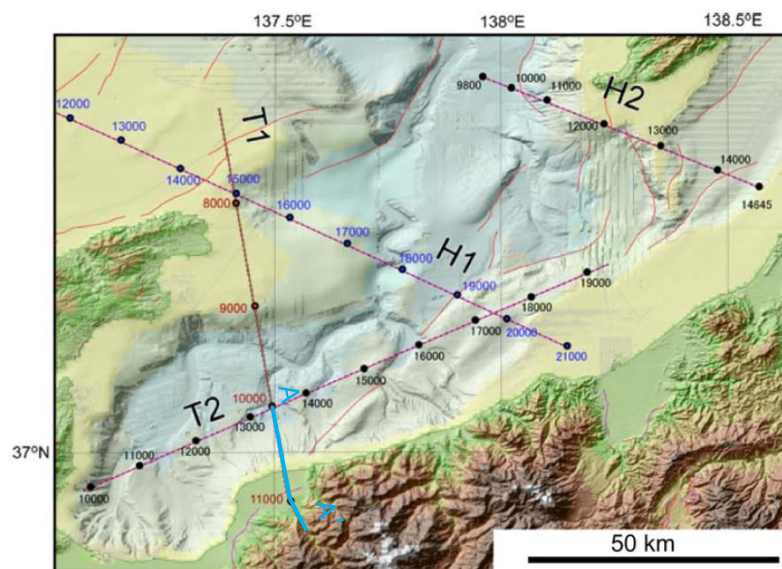
詳細位置図(今泉ほか, 2018)

2.5.3 (2) 魚津断層帯の文献調査 — 文科省ほか(2015) —

- 文科省ほか(2015)は、国交省ほか(2014)と共同で産業技術総合研究所の反射法地震探査データ等を整理し、文科省ほか(2014)による調査で実施した反射法地震探査結果等の新たなデータも用いて、断層の矩形モデルを作成している。
- 文科省ほか(2015)は、地震調査委員会(2007)の魚津断層に併走し、沿岸に伏在する震源断層モデルとして、TB4を設定している。
- TB4は、反射法地震探査断面(T1測線)から、富山トラフの東南縁の沿岸に伏在する南東傾斜の断層であり、上盤側の新第三系の地層は北西方向に傾斜するとしている。断層長さは39.7km、傾斜角 30° としている。
- また、地震調査委員会(2007)の魚津断層は、基本的に扇状地面や河岸段丘面の北西側への傾斜からその存在が推定されているが、推定された断層線の低下側でも新第三系や、第四紀後期の堆積物が北西方向に傾斜することが、松浦ほか(2006)の反射法地震探査やボーリング調査によって明らかにされており、推定されている断層トレースは断層本体を表現したものではなく、主断層は、富山トラフと飛騨山地の境界部に形成されている南東傾斜の伏在断層と判断されるとしている。



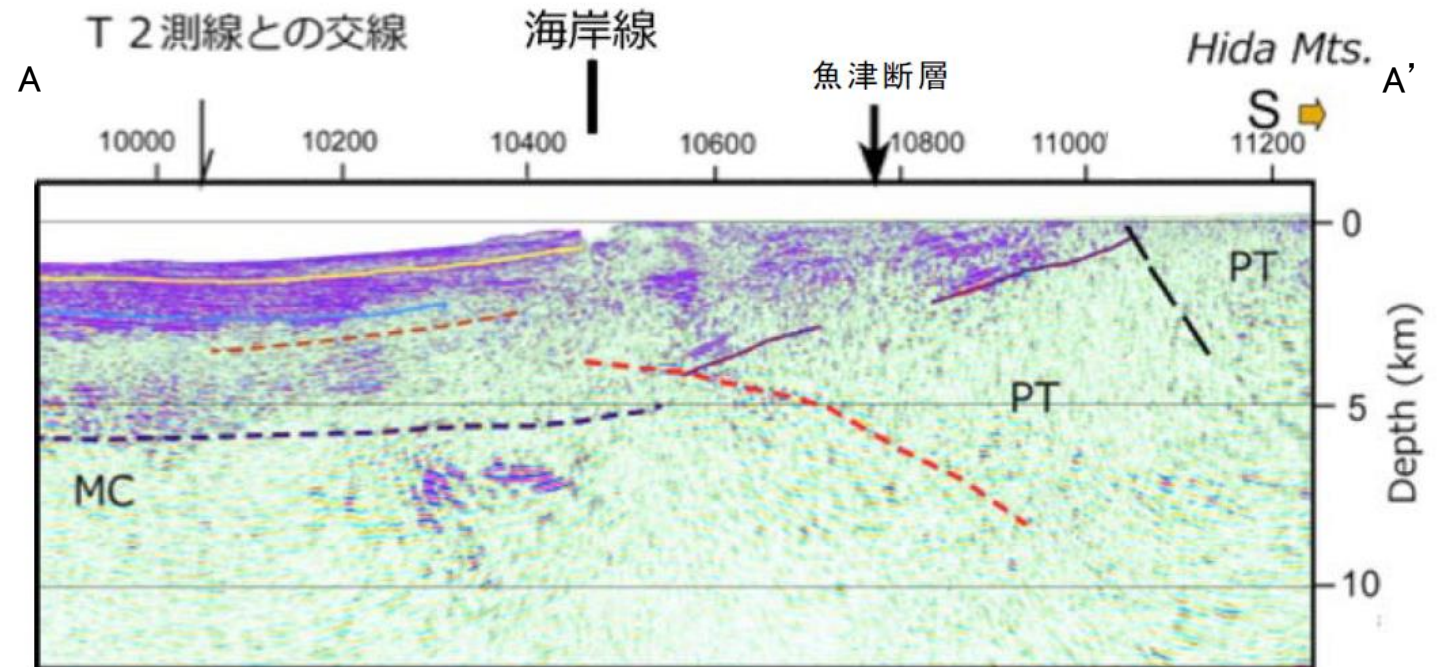
位置図
(文科省ほか(2015)に一部加筆)



反射法地震探査測線位置
(文科省ほか(2015)に一部加筆)

<文科省ほか(2015)の断層モデル作成に用いたデータ>

- ・文科省ほか(2014)による調査で取得した反射法地震探査及び海陸統合探査の結果
- ・「ひずみ集中帯の重点的調査観測・研究」プロジェクトで取得した反射法地震探査断面
- ・石油公団の反射法地震探査断面
- ・海底地形
- ・産業技術総合研究所の活断層トレース
- ・地震研究所が取得した反射法地震探査データ



凡例

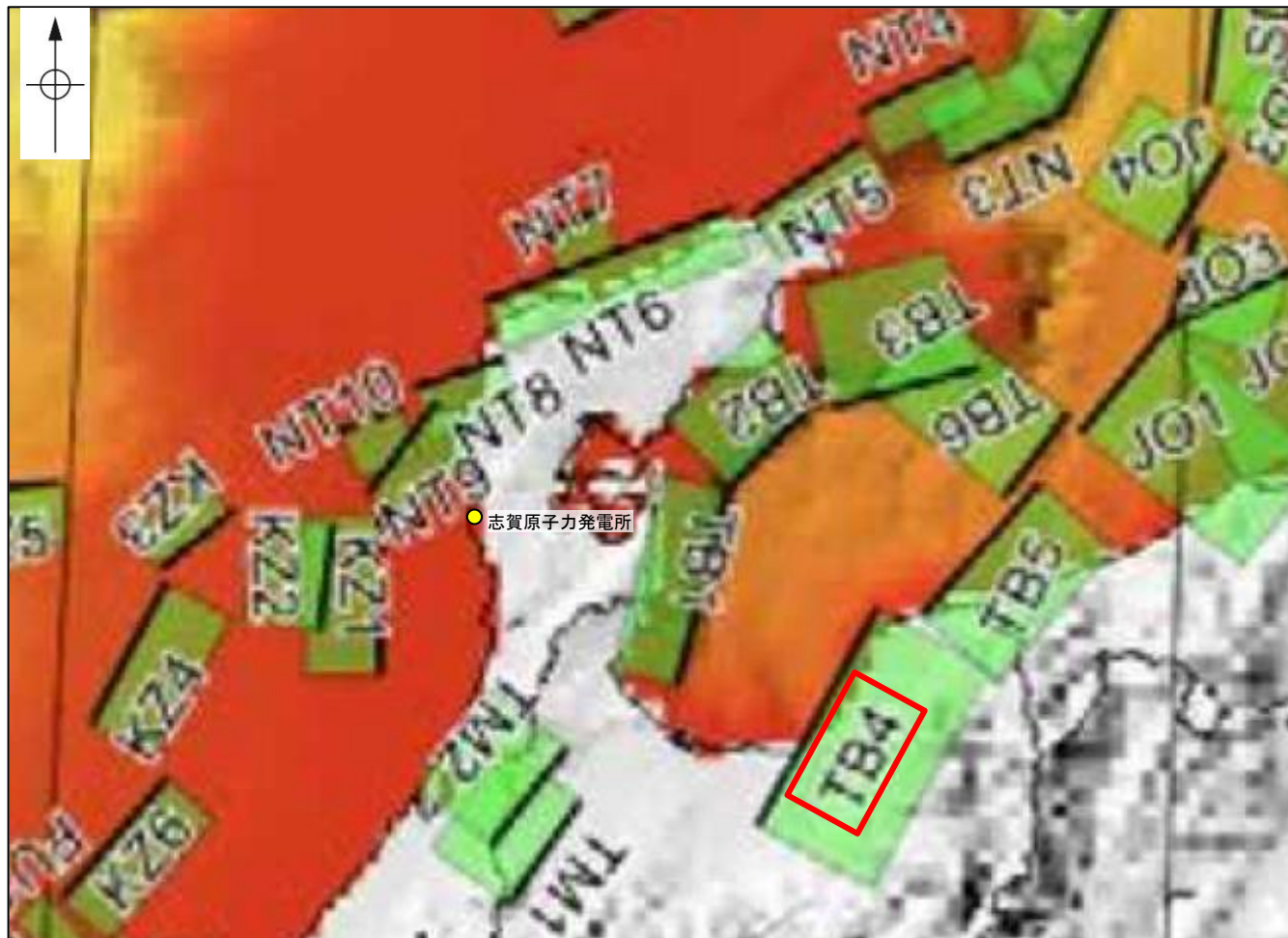
- 灰爪層相当基底
- 西山層相当基底
- P波速度が 5.3km/s より大きい領域
- 推定伏在活断層
- MC: 苦鉄質岩が卓越領域
- PT: 先新第三系

TB4を横断する反射法地震探査断面(T1測線)
(文科省ほか(2015)に一部加筆)

魚津断層帯

【文科省ほか(2021)による断層の位置と長さ及び活動性】

○文科省ほか(2021)はTB4の断層位置の評価を確実性Bクラスとしており、変動地形として追跡可能であり、反射法地震探査でも認められるとしている。また、断層の活動性に関して、TB4の活動性の評価を確実性Aクラス(第四紀までの地層が、変形・変位を受けている)としている。



断層の位置と長さ及び活動性(文科省ほか(2021)を編集)

断層名	断層位置	傾斜と変位	活動性
JO1	MCS, TG	SR	Q
JO2	MCS, TG	SR	Q
JO3	MCS, TG	SR	Q
JO4	MCS, TG	SR	Q
TB1	MCS, TG	SR	Q
TB2	MCS, TG	SR	Q, CT
TB3	MCS, TG	SR	QL
TB4	MCS, TG	SR	Q
TB5	MCS, TG	SR	Q
TB6	MCS, TG	SR	Q

枠内の色は確実性
A:オレンジ, B:黄色, C:黄緑, D:青

c) 震源断層の位置と長さ

精度が高い順に、Aクラス、Bクラス、Cクラスとした。ここでは、探査結果の優劣ではなく、測線密度から区分している。

Aクラス

TG (Tectonic Geomorphology): 変動地形として追跡可能。SHR (Shallow high-resolution seismic): 高分解能の稠密な音波探査に基づく推定。

Bクラス

MCS (Multi-channel seismic reflection survey): 反射法地震探査

Cクラス

GA (Gravity Anomaly): 重力異常の急変帯。

HE(Historical Earthquake): 歴史地震資料に基づく解析による。

f) 活動性

断層の活構造としての確実性を、確実 A から確実性が低いもの D まで区分し、判断の根拠を示した。

Aクラス

Q: 第四紀後期までの地層が、変形・変位を受けている

QT: 断層変位と調和的な変形が堆積面の海底地形に表れている。

Bクラス

QB: 第四紀後期に相当する地層まで変形を受けている可能性が高いが、年代や断層による変形の幅が広く、第四紀後期に相当する地層までの変形がやや不明瞭。

CT: 断層(推定も含む)の隆起側で海成段丘が隆起。

Cクラス

QL: 変形を受けている最新期の地層の年代が第四紀前期である可能性がある。

Dクラス

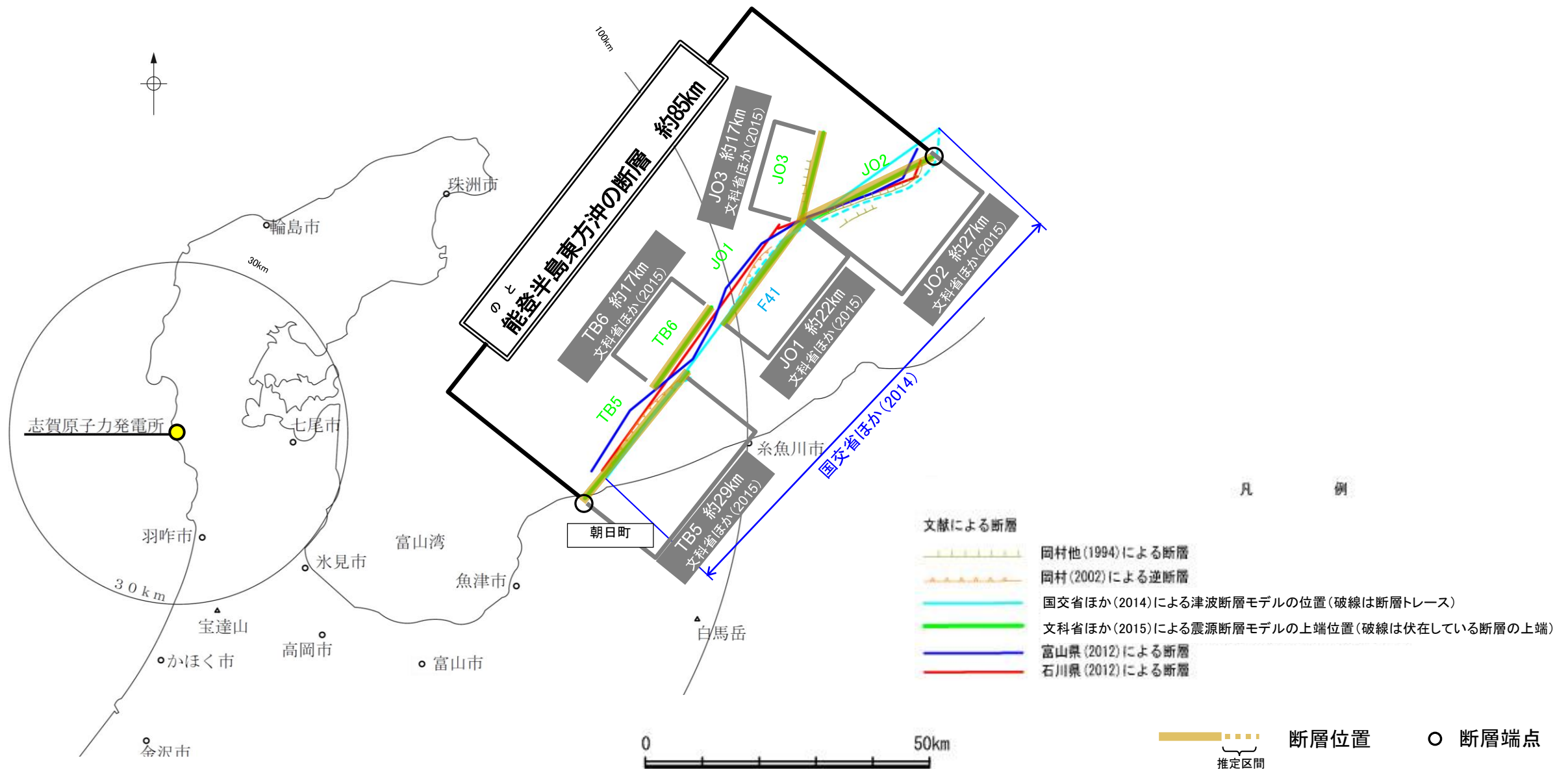
P: 変形を受けている最新期の地層の年代が鮮新世である可能性がある。

2.5.4 能登半島東方沖の断層

2.5.4 (1) 能登半島東方沖の断層の評価結果

- 岡村(2002)が示す能登半島東方沖の断層について、活動性及び長さの評価の結果、文科省ほか(2015)が設定したTB5, TB6, JO1, JO2及びJO3の5つの区間に分け、いずれも後期更新世以降の活動が否定できないと評価し、TB5の長さは約29km, TB6の長さは約17km, JO1の長さは約22km, JO2の長さは約27km, JO3の長さは約17kmと評価した(P.302, 303)。
- ただし、国による連動の評価(文科省ほか(2016)等)でこれらの断層の連動を考慮していることから、TB5, TB6, JO1, JO2及びJO3は連動を考慮し、「能登半島東方沖の断層」として、走向がNE-SW方向、南東傾斜(約25~45°)の逆断層と評価した(P.310)。
- 断層長さは、文科省ほか(2015)が設定したJO2の北東端からTB5の南西端までの約85km区間を評価(P.310)。

能登半島東方沖の断層は後期更新世以降の活動が否定できず、その長さとして約85km区間を評価する。



2.5.4 (1) 能登半島東方沖の断層の評価結果 – TB5及びTB6の評価結果–

【文献調査】(P.304～309)

- 岡村ほか(1994)は、能登半島東方沖の断層の北東部に対応する位置に、走向NE-SW方向、北西側落下を示す2条の断層及び走向N-S方向、西側落下を示す1条の断層を図示している。また、岡村(2002)は、能登半島東方沖の断層の南西部に対応する位置に、走向NE-SW方向、南東傾斜を示す2条の逆断層を図示している。なお、これらは、文科省ほか(2015)が設定した震源断層モデルのTB5、JO1及びJO2にそれぞれ対応する。
- 国交省ほか(2014)は、産業技術総合研究所等の反射法地震探査データを用いて、岡村ほか(1994)及び岡村(2002)が示した構造に対応する位置に、断層長さが86km、南東傾斜の逆断層として、断層モデルF41を設定している。
- 文科省ほか(2015)は、国交省ほか(2014)と共同で産業技術総合研究所のデータ等を整理し、文科省ほか(2014)による調査データも踏まえて、能登半島東方沖の断層に対応する位置に、断層長さ:28.5km、南東傾斜40°の断層として震源断層モデルTB5、断層長さ:17.0km、北西傾斜30°の逆断層として震源断層モデルTB6、断層長さ:21.6km、南東傾斜25°の逆断層として震源断層モデルJO1、断層長さ:26.6km、南東傾斜30°の断層として震源断層モデルJO2及び断層長さ:16.9km、南東傾斜45°の断層として震源断層モデルJO3を設定しており、連動する可能性がある断層の組合せとしてTB5-TB6-JO1-JO2を評価している。また、TB5、TB6、JO1、JO2及びJO3は共に、活動性の評価を確実性Aクラス(第四紀までの地層が、変形・変位を受けている)としている。

【活動性評価(TB5)】

【文献調査】

- 文科省ほか(2021)は、震源断層モデルとして設定したTB5の活動性の評価を確実性Aクラス(第四紀までの地層が、変形・変位を受けている)としている(P.308)。

⇒文献調査の結果、文科省ほか(2015)から、TB5は、走向がNE-SW方向、南東傾斜(約40°)の断層と推定され、後期更新世以降の活動が否定できないと評価。

【長さの評価(TB5)】

【文献調査】

- 文科省ほか(2015)は、国交省ほか(2014)と共同で産業技術総合研究所のデータ等を整理し、文科省ほか(2014)による調査データも踏まえて、震源断層モデルを設定している最新の文献である(P.306)。

○文科省ほか(2015)は、TB5の断層長さ28.5kmとしており、文科省ほか(2021)は断層位置の評価を確実性Bクラス(変動地形として追跡可能、反射法地震探査)としている(P.308)。
⇒産業技術総合研究所のデータ及び国交省ほか(2014)を踏襲した内容になっている文科省ほか(2015)が設定した約29km区間を評価。

TB5は後期更新世以降の活動が否定できず、その長さとして約29km区間を評価する。

【活動性評価(TB6)】

【文献調査】

- 文科省ほか(2021)は、震源断層モデルとして設定したTB6の活動性の評価を確実性Aクラス(第四紀までの地層が、変形・変位を受けている)としている(P.308)。

⇒文献調査の結果、文科省ほか(2015)から、TB6は、走向がNE-SW方向、北西傾斜(約30°)の逆断層と推定され、後期更新世以降の活動が否定できないと評価。

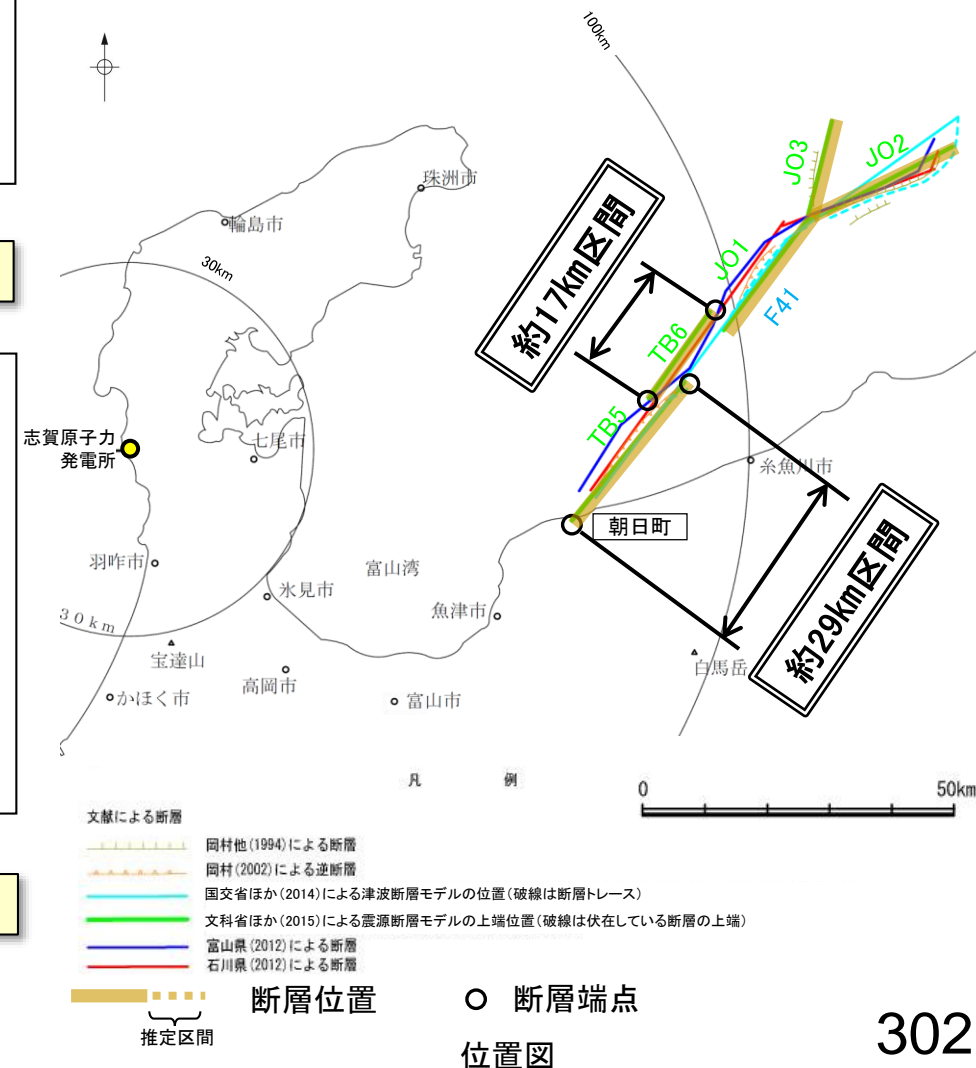
【長さの評価(TB6)】

【文献調査】

- 文科省ほか(2015)は、国交省ほか(2014)と共同で産業技術総合研究所のデータ等を整理し、文科省ほか(2014)による調査データも踏まえて、震源断層モデルを設定している最新の文献である(P.306)。

○文科省ほか(2015)は、TB6の断層長さ17.0kmとしており、文科省ほか(2021)は断層位置の評価を確実性Aクラス(変動地形として追跡可能、反射法地震探査)としている(P.308)。
⇒産業技術総合研究所のデータ及び国交省ほか(2014)を踏襲した内容になっている文科省ほか(2015)が設定した約17km区間を評価。

TB6は後期更新世以降の活動が否定できず、その長さとして約17km区間を評価する。



2.5.4 (1) 能登半島東方沖の断層の評価結果 —JO1, JO2及びJO3の評価結果—

【活動性評価(JO1)】

【文献調査】
○文科省ほか(2021)は、震源断層モデルとして設定したJO1の活動性の評価を確実性Aクラス(第四紀までの地層が、変形・変位を受けている)としている(P.308)。
⇒文献調査の結果、国交省ほか(2014)等から、JO1は、走向がNE-SW方向、南東傾斜(約25°)の逆断層と推定され、後期更新世以降の活動が否定できないと評価。

【長さの評価(JO1)】

【文献調査】
○文科省ほか(2015)は、国交省ほか(2014)と共同で産業技術総合研究所のデータ等を整理し、文科省ほか(2014)による調査データも踏まえて、震源断層モデルを設定している最新の文献である(P.306)。
○文科省ほか(2015)は、JO1の断層長さ21.6kmとしており、文科省ほか(2021)は断層位置の評価を確実性Aクラス(変動地形として追跡可能、反射法地震探査)としている(P.308)。
⇒産業技術総合研究所のデータ及び国交省ほか(2014)を踏襲した内容になっている文科省ほか(2015)が設定した約22km区間を評価。

JO1は後期更新世以降の活動が否定できず、その長さとして約22km区間を評価する。

【活動性評価(JO2)】

【文献調査】
○文科省ほか(2021)は、震源断層モデルとして設定したJO2の活動性の評価を確実性Aクラス(第四紀までの地層が、変形・変位を受けている)としている(P.308)。
⇒文献調査の結果、国交省ほか(2014)等から、JO2は、走向がNE-SW方向、南東傾斜(約30°)の逆断層と推定され、後期更新世以降の活動が否定できないと評価。

【長さの評価(JO2)】

【文献調査】
○文科省ほか(2015)は、国交省ほか(2014)と共同で産業技術総合研究所のデータ等を整理し、文科省ほか(2014)による調査データも踏まえて、震源断層モデルを設定している最新の文献である(P.306)。
○文科省ほか(2015)は、JO2の断層長さ26.6kmとしており、文科省ほか(2021)は断層位置の評価を確実性Aクラス(変動地形として追跡可能、反射法地震探査)としている(P.308)。
⇒産業技術総合研究所のデータ及び国交省ほか(2014)を踏襲した内容になっている文科省ほか(2015)が設定した約27km区間を評価。

JO2は後期更新世以降の活動が否定できず、その長さとして約27km区間を評価する。

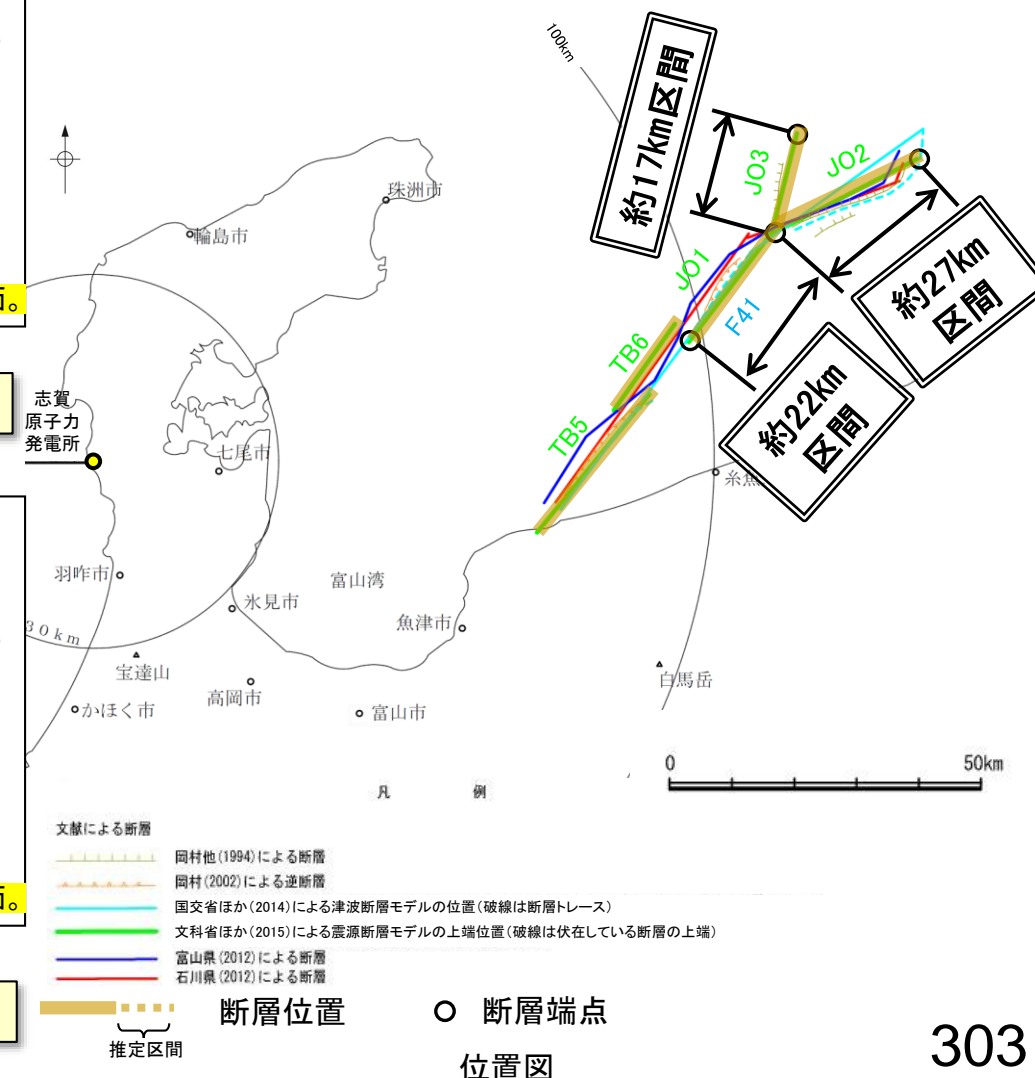
【活動性評価(JO3)】

【文献調査】
○文科省ほか(2021)は、震源断層モデルとして設定したJO3の活動性の評価を確実性Aクラス(第四紀までの地層が、変形・変位を受けている)としている(P.308)。
⇒文献調査の結果、国交省ほか(2014)等から、JO3は、走向がNE-SW方向、南東傾斜(約45°)の逆断層と推定され、後期更新世以降の活動が否定できないと評価。

【長さの評価(JO3)】

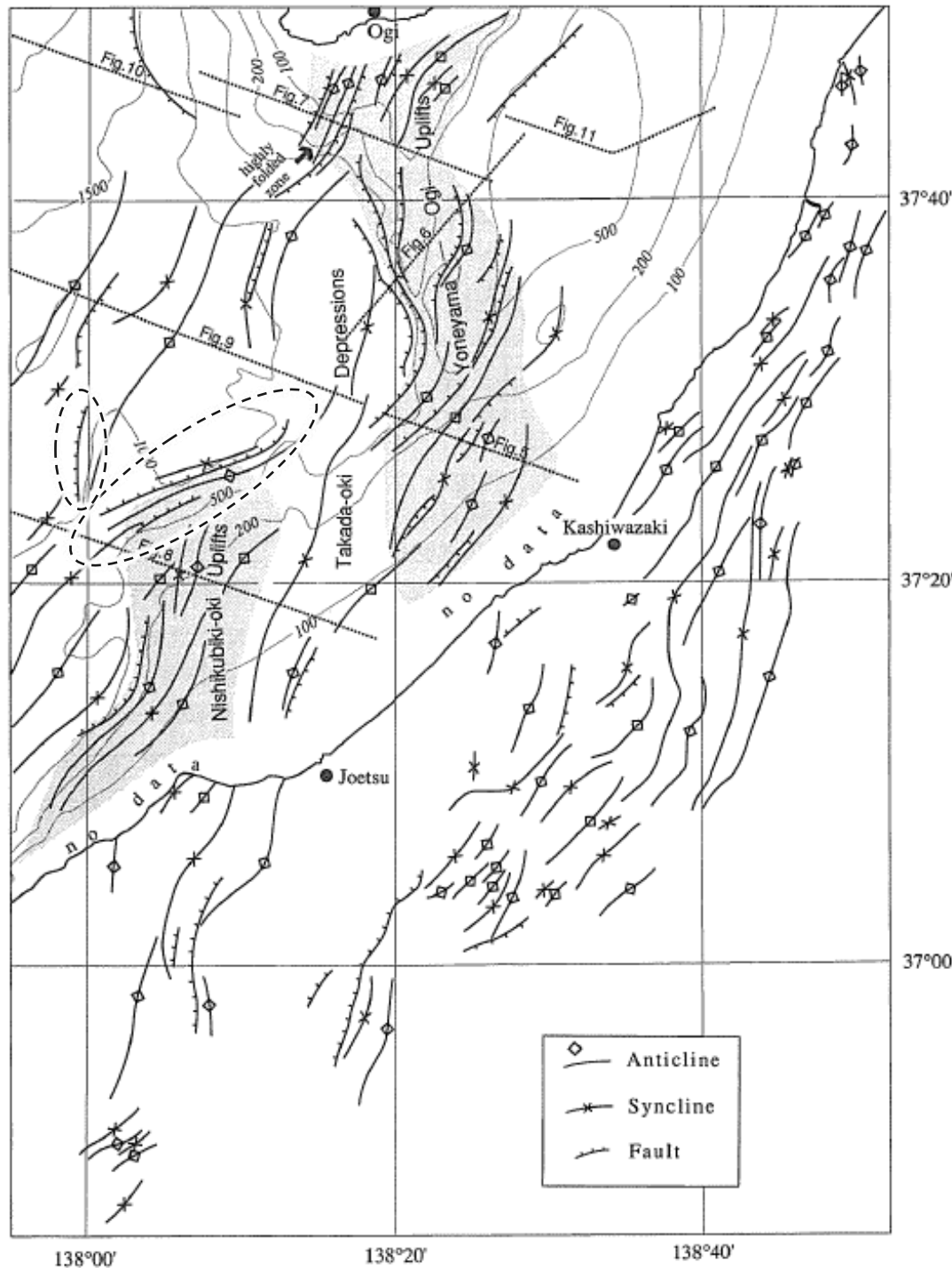
【文献調査】
○文科省ほか(2015)は、国交省ほか(2014)と共同で産業技術総合研究所のデータ等を整理し、文科省ほか(2014)による調査データも踏まえて、震源断層モデルを設定している最新の文献である(P.306)。
○文科省ほか(2015)は、JO3の断層長さ16.9kmとしており、文科省ほか(2021)は断層位置の評価を確実性Aクラス(変動地形として追跡可能、反射法地震探査)としている(P.308)。
⇒産業技術総合研究所のデータ及び国交省ほか(2014)を踏襲した内容になっている文科省ほか(2015)が設定した約17km区間を評価。

JO3は後期更新世以降の活動が否定できず、その長さとして約17km区間を評価する。

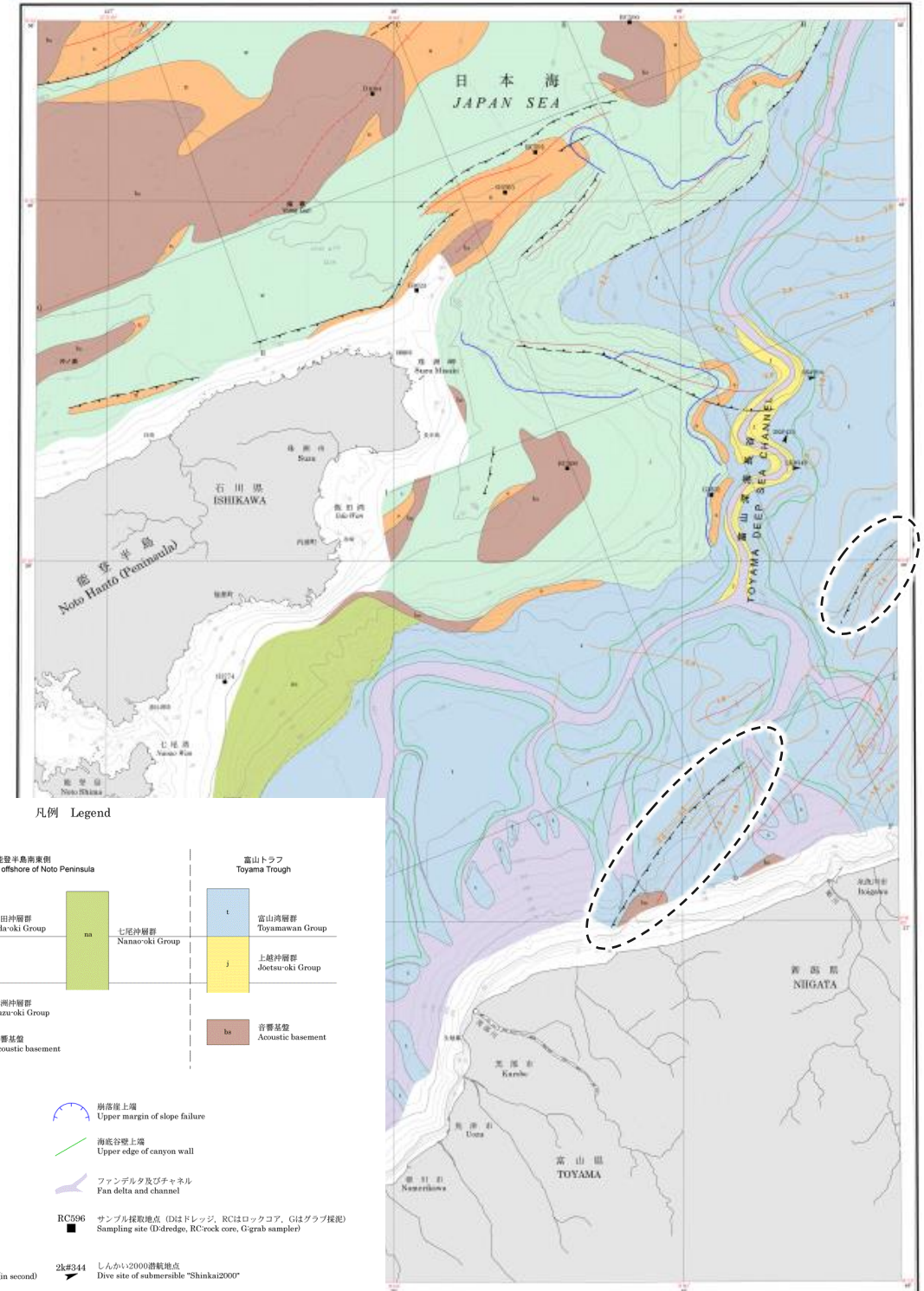


2.5.4 (2) 能登半島東方沖の断層の文献調査 —岡村ほか(1994)及び岡村(2002)—

- 岡村ほか(1994)及び岡村(2002)は、産業技術総合研究所によって実施された反射法地震探査の反射断面の解釈に基づいて、能登半島東方海底地質図を作成している。
- 岡村ほか(1994)は、能登半島東方沖の断層の北東部に対応する位置に、走向NE-SW方向、北西側落下を示す2条の断層及び走向N-S方向、西側落下を示す1条の断層を図示している。
- 岡村(2002)は、能登半島東方沖の断層の南西部に対応する位置に、走向NE-SW方向、南東傾斜を示す2条の逆断層を図示している。



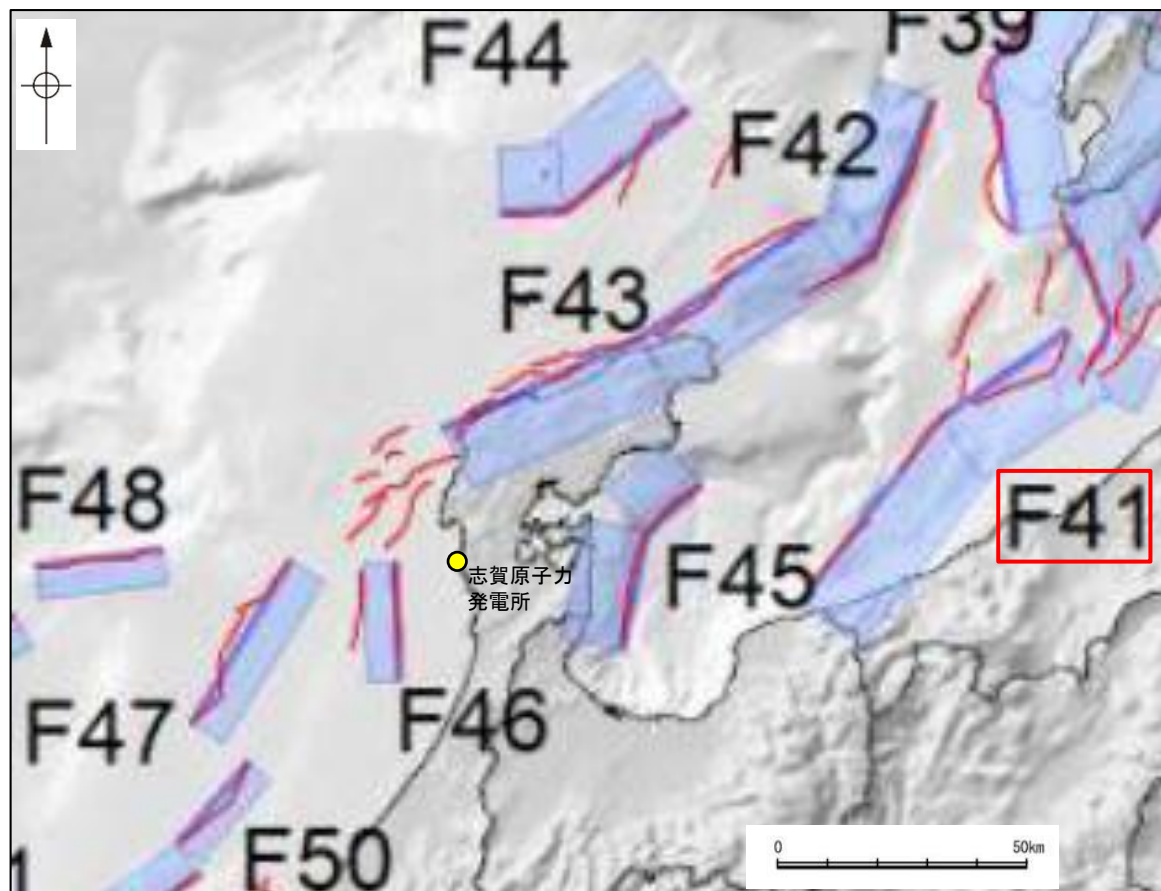
佐渡南方海底地質図
(岡村ほか(1994)に一部加筆)



能登半島東方海底地質図
(岡村(2002)に一部加筆)

2.5.4 (2) 能登半島東方沖の断層の文献調査 —国交省ほか(2014)—

- 国交省ほか(2014)は、産業技術総合研究所等の反射法地震探査データを用いて、津波断層モデルを設定している。
- 国交省ほか(2014)は、能登半島東方沖の断層に対応する位置に、津波断層モデルとしてF41を設定している。
- 断層モデルの検討にあたっては、測線数の多い産業技術総合研究所の反射断面の解釈に基づいて海底の断層トレースを設定し、その他の機関の反射断面での解釈による確認も実施している。日本海における大規模地震に関する調査検討会の海底断層ワーキンググループ(2014)によると、反射断面の検討の結果、F41は、東傾斜の逆断層であり、糸魚川沖で切れているように見えるが、谷地形の影響などで見えにくくなっていると判断している。また、魚津断層の北端付近では、走向が東西に変化し、横ずれ断層となることから、連動しないと判断している。
- 国交省ほか(2014)で設定された津波断層モデルF41は、断層長さ86km、東傾斜の傾斜角45°とされている。



位置図
(国交省ほか(2014)に一部加筆)

<国交省ほか(2014)で用いた反射法地震探査データ>

- ・独立行政法人 産業技術総合研究所 反射断面
- ・独立行政法人 海洋研究開発機構 反射断面
- ・独立行政法人 石油天然ガス・金属鉱物資源機構 反射断面

<海底断層WG(2014)*でのF41の記載>

海底地形や過去地震との対応等	断層種別	グルーピングにあたっての特記事項
高田沖から親不知沖の断層。	逆断層 東傾斜	糸魚川沖で切れているように見えるが、谷地形の影響などで見えにくくなっていると判断。魚津断層の北端付近では、走向が東西に変化し、横ずれ断層となることから、連動しないと判断。

*海底断層WG(2014): 日本海における大規模地震に関する調査検討会の海底断層ワーキンググループ(2014)

2.5.4 (2) 能登半島東方沖の断層の文献調査 — 文科省ほか(2015) —

○文科省ほか(2015)は、国交省ほか(2014)と共同で産業技術総合研究所の反射法地震探査データ等を整理し、文科省ほか(2014)による調査で実施した反射法地震探査結果等の新たなデータも用いて、断層の矩形モデルを作成している。

○文科省ほか(2015)は、岡村(1994)及び岡村(2002)が示した構造に対応する位置に、震源断層モデルとして、TB5, TB6, JO1, JO2及びJO3を設定している。

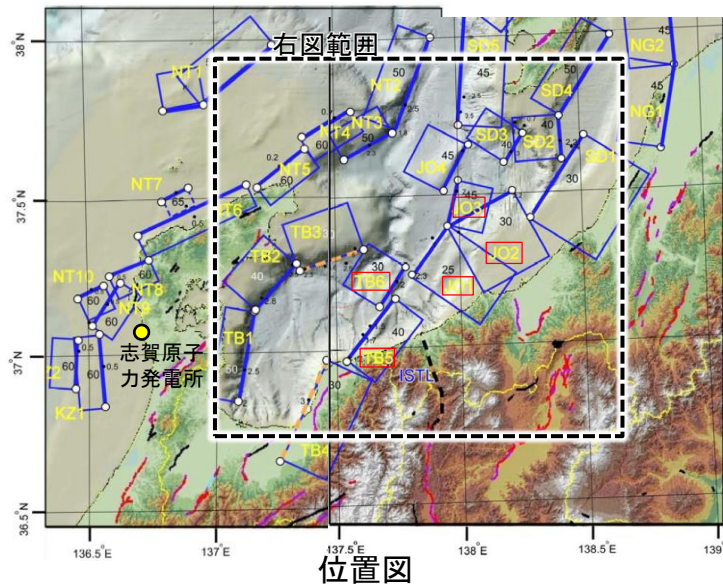
○TB5は、能登半島東方沖の断層の南西部に位置し、石油公団の反射法地震探査断面から、南東傾斜の断層を判断し、断層長さ28.5km、傾斜角 40° としている。

○TB6は、能登半島東方沖の断層の南西部に位置し、反射法地震探査断面(T2測線)から、北西傾斜の逆断層と判断し、断層長さ17.0km、傾斜角 30° としている。

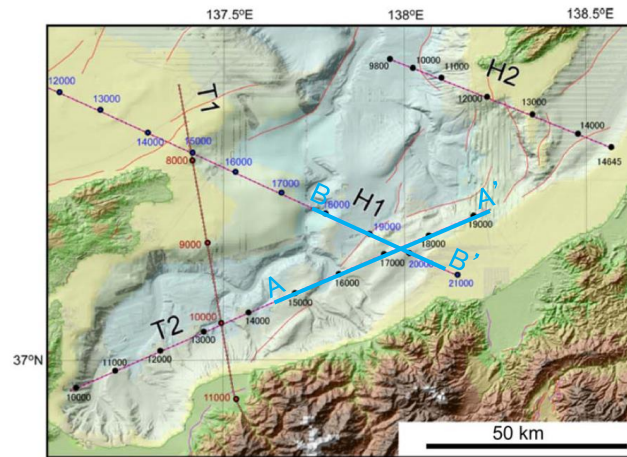
○JO1は、能登半島東方沖の断層の中央部に位置し、反射法地震探査側面(H1測線)から、南東傾斜の逆断層と判断し、断層長さ21.6km、傾斜角 25° としている。

○JO2は、能登半島東方沖の断層の北東部に位置し、岡村ほか(1994)及び石油公団の反射法断面から、南東傾斜の断層形状を推定し、断層長さは26.6km、傾斜角 30° としている。

○JO3は、能登半島東方沖の断層の北東部に位置し、国交省ほか(2014)ではリストに掲載されていないが、岡村ほか(1994)の活断層トレースや石油公団の反射断面から、中角度の断層を推定し、断層長さ16.9km、傾斜角 45° としている。



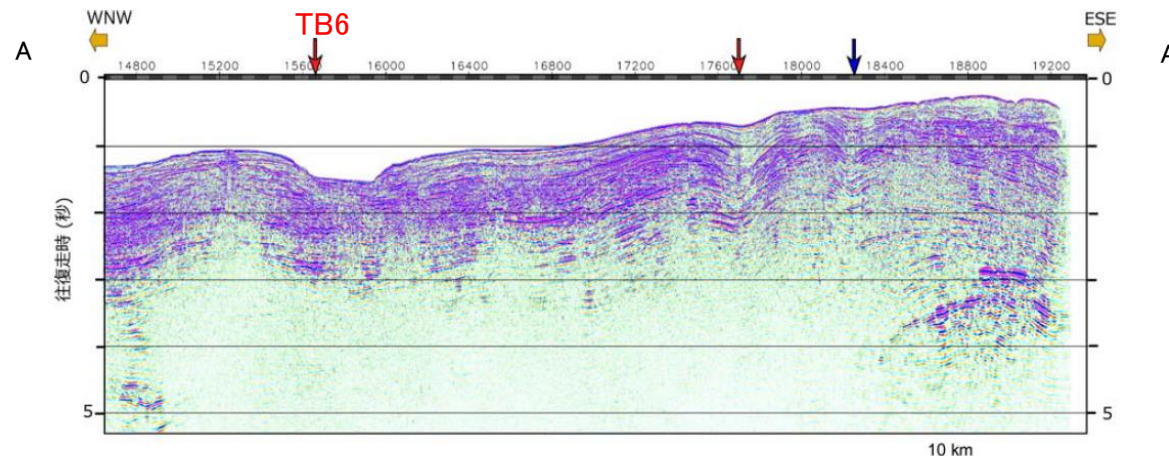
位置図
(文科省ほか(2015)に一部加筆)



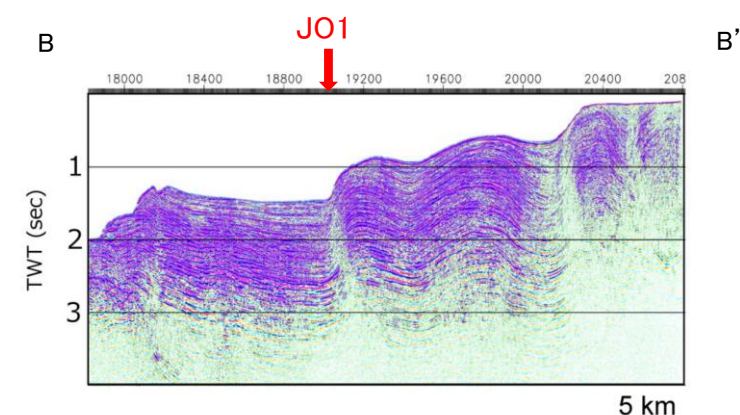
反射法地震探査測線位置
(文科省ほか(2015)に一部加筆)

<文科省ほか(2015)の断層モデル作成に用いたデータ>

- ・文科省ほか(2014)による調査で取得した反射法地震探査及び海陸統合探査の結果
- ・「ひずみ集中帯の重点的調査観測・研究」プロジェクトで取得した反射法地震探査断面
- ・石油公団の反射法地震探査断面
- ・海底地形
- ・産業技術総合研究所の活断層トレース
- ・地震研究所が取得した反射法地震探査データ



TB6を横断する反射法地震探査時間マイグレーション断面(T2測線)
(文科省ほか(2015)に一部加筆)

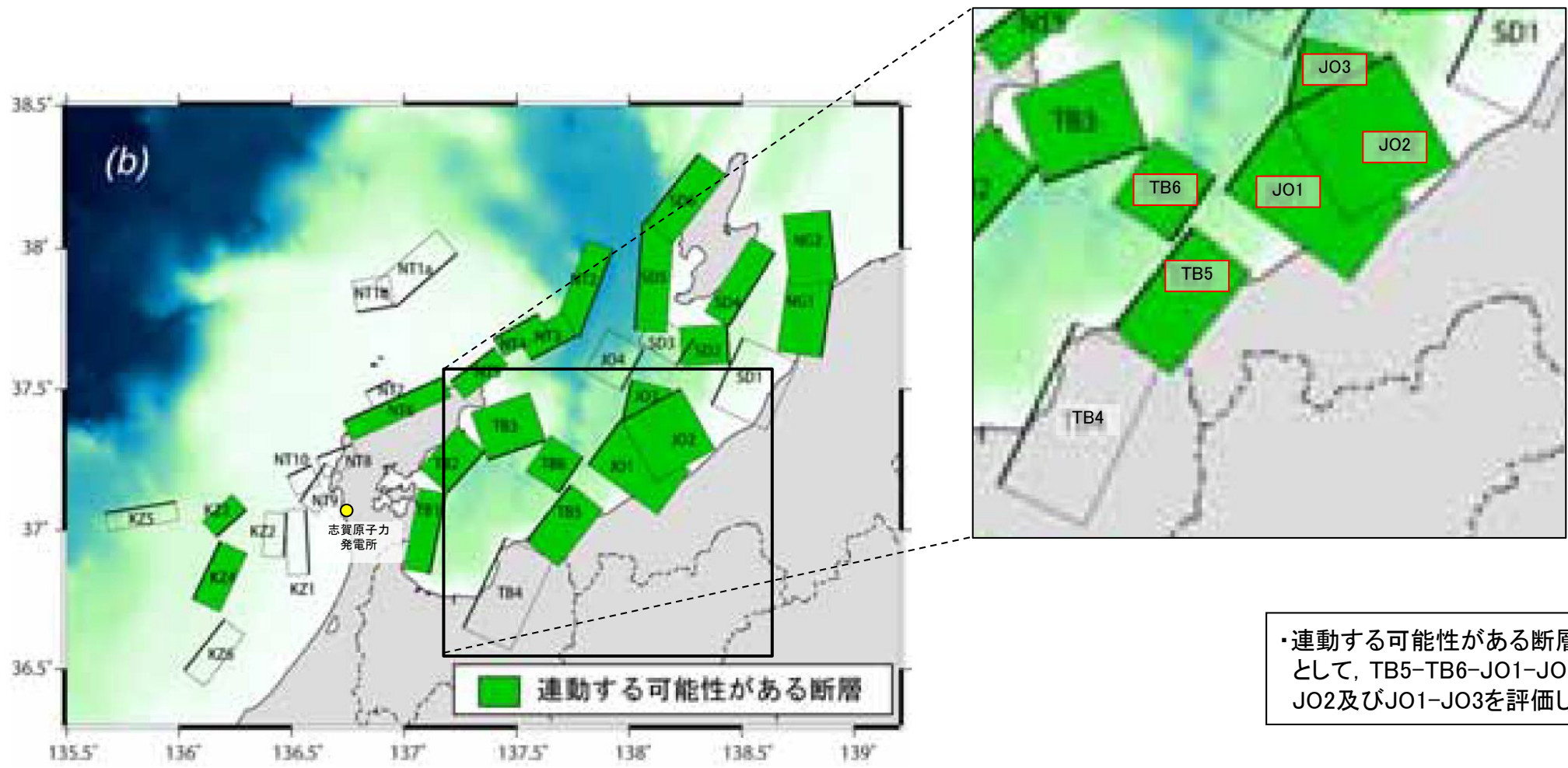


JO1を横断する反射法地震探査時間マイグレーション断面(H1測線)
(文科省ほか(2015)に一部加筆)

能登半島東方沖の断層

【文科省ほか(2016)による断層の位置と長さ及び活動性による連動評価】

○文科省ほか(2015)はTB5とJO1の間では、5km以上の間、断層が見られないことと2つの断層の強震動発生域の場所は大きく隔たることから、TB5とJO1は連動しないものと判断している。一方、文科省ほか(2016)は、TB5, TB6, JO1及びJO2について、連動する可能性がある断層の組合せとしてTB5-TB6-JO1-JO2, JO1-JO2及びJO1-JO3を評価している。



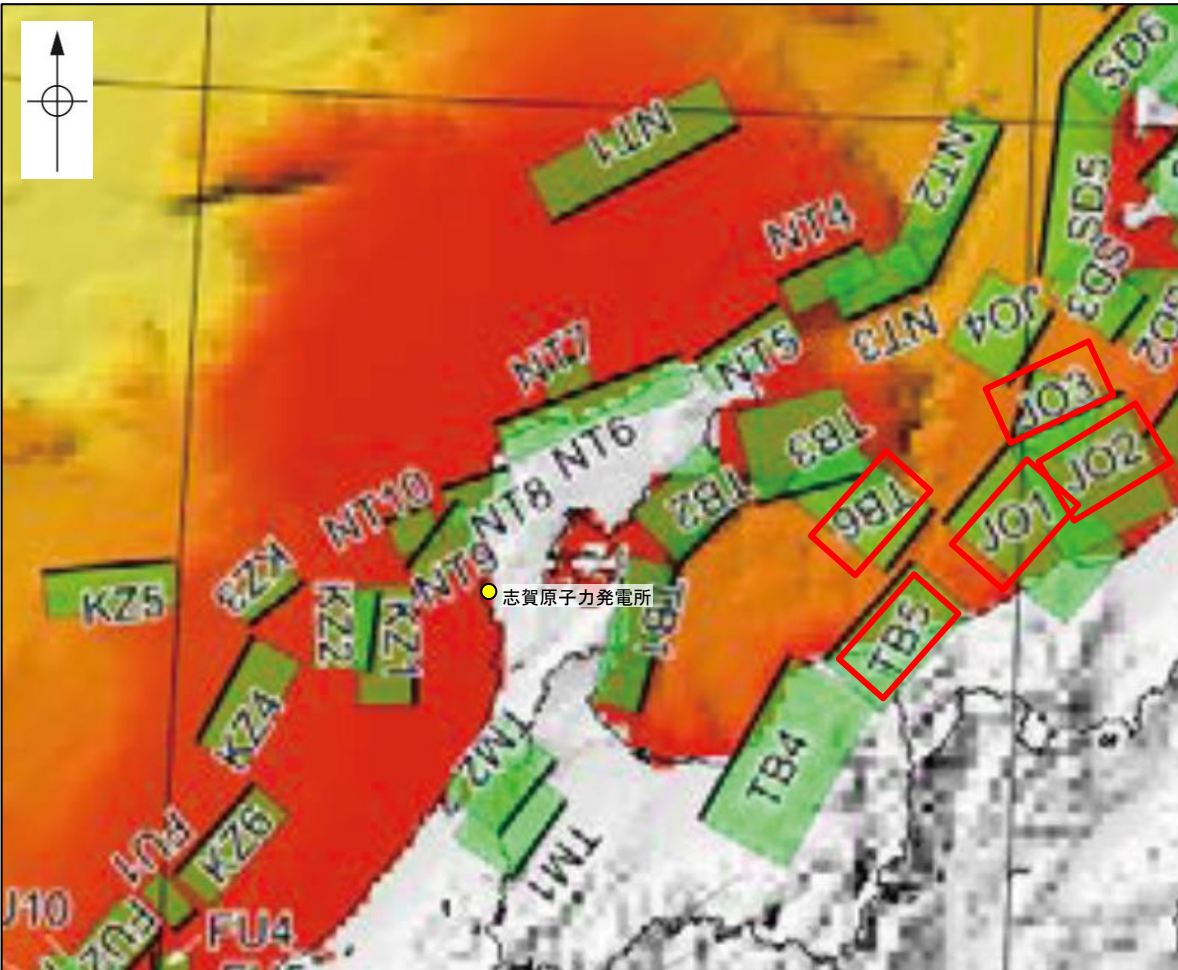
・連動する可能性がある断層の組合せとして、TB5-TB6-JO1-JO2, JO1-JO2及びJO1-JO3を評価している。

連動する可能性が考えられる21断層(緑色)
文科省ほか(2016)を編集, 一部加筆

能登半島東方沖の断層

【文科省ほか(2021)による断層の位置と長さ及び活動性】

○文科省ほか(2021)は断層位置の評価を、TB6, JO1, JO2及びJO3は確実性Aクラス, TB5は確実性Bクラスとしており、いずれも変動地形として追跡可能であり、反射法地震探査でも認められるとしている。また、断層の活動性に関して、TB5, TB6, JO1, JO2及びJO3の活動性の評価を確実性Aクラス(第四紀までの地層が、変形・変位を受けている)としている。



断層の位置と長さ及び活動性(文科省ほか(2021)を編集)

断層名	断層位置	傾斜と変位	活動性
JO1	MCS, TG	SR	Q
JO2	MCS, TG	SR	Q
JO3	MCS, TG	SR	Q
JO4	MCS, TG	SR	Q
TB1	MCS, TG	SR	Q
TB2	MCS, TG	SR	Q, CT
TB3	MCS, TG	SR	QL
TB4	MCS, TG	SR	Q
TB5	MCS, TG	SR	Q
TB6	MCS, TG	SR	Q

枠内の色は確実性
A: オレンジ, B: 黄色, C: 黄緑, D: 青

c) 震源断層の位置と長さ

精度が高い順に、Aクラス、Bクラス、Cクラスとした。ここでは、探査結果の優劣ではなく、測線密度から区分している。

Aクラス

TG (Tectonic Geomorphology): 変動地形として追跡可能。SHR (Shallow high-resolution seismic): 高分解能の稠密な音波探査に基づく推定。

Bクラス

MCS (Multi-channel seismic reflection survey): 反射法地震探査

Cクラス

GA (Gravity Anomaly): 重力異常の急変帯。

HE(Historical Earthquake): 歴史地震資料に基づく解析による。

f) 活動性

断層の活構造としての確実性を、確実 A から確実性が低いもの D まで区分し、判断の根拠を示した。

Aクラス

Q: 第四紀後期までの地層が、変形・変位を受けている

QT: 断層変位と調和的な変形が堆積面の海底地形に表れている。

Bクラス

QB: 第四紀後期に相当する地層まで変形を受けている可能性が高いが、年代や断層による変形の幅が広く、第四紀後期に相当する地層までの変形がやや不明瞭。

CT: 断層(推定も含む)の隆起側で海成段丘が隆起。

Cクラス

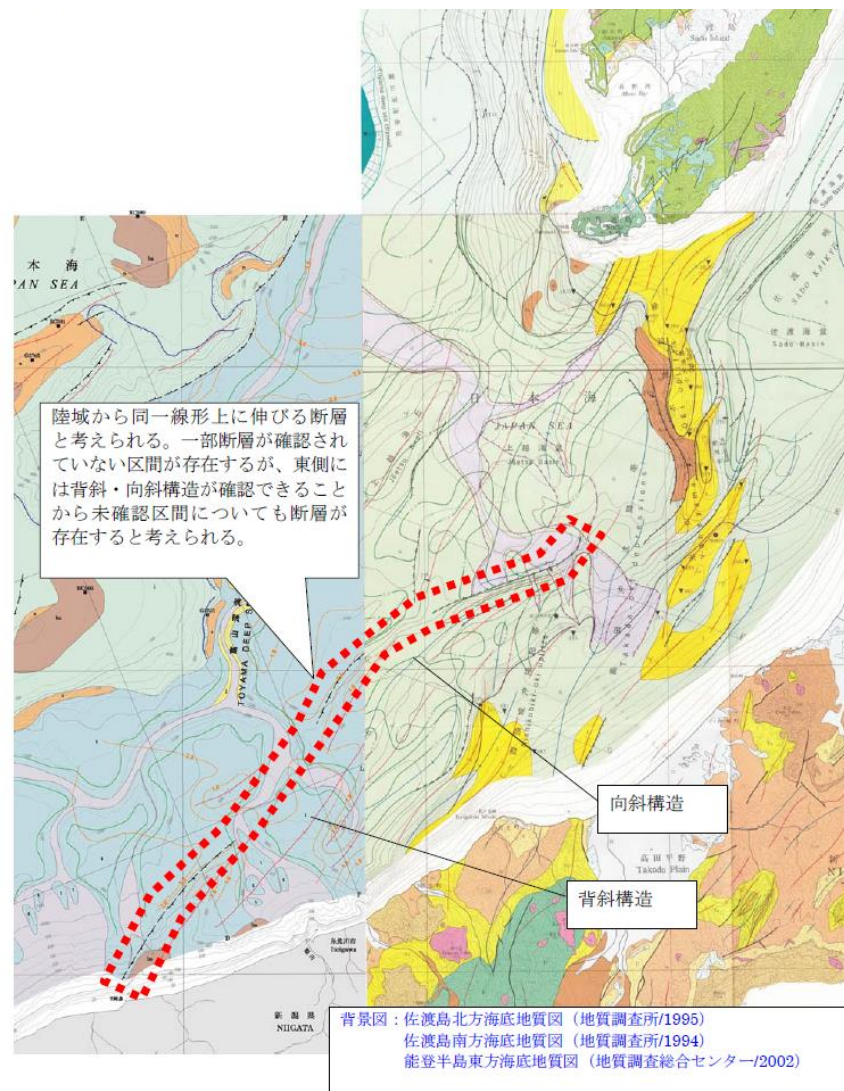
QL: 変形を受けている最新期の地層の年代が第四紀前期である可能性がある。

Dクラス

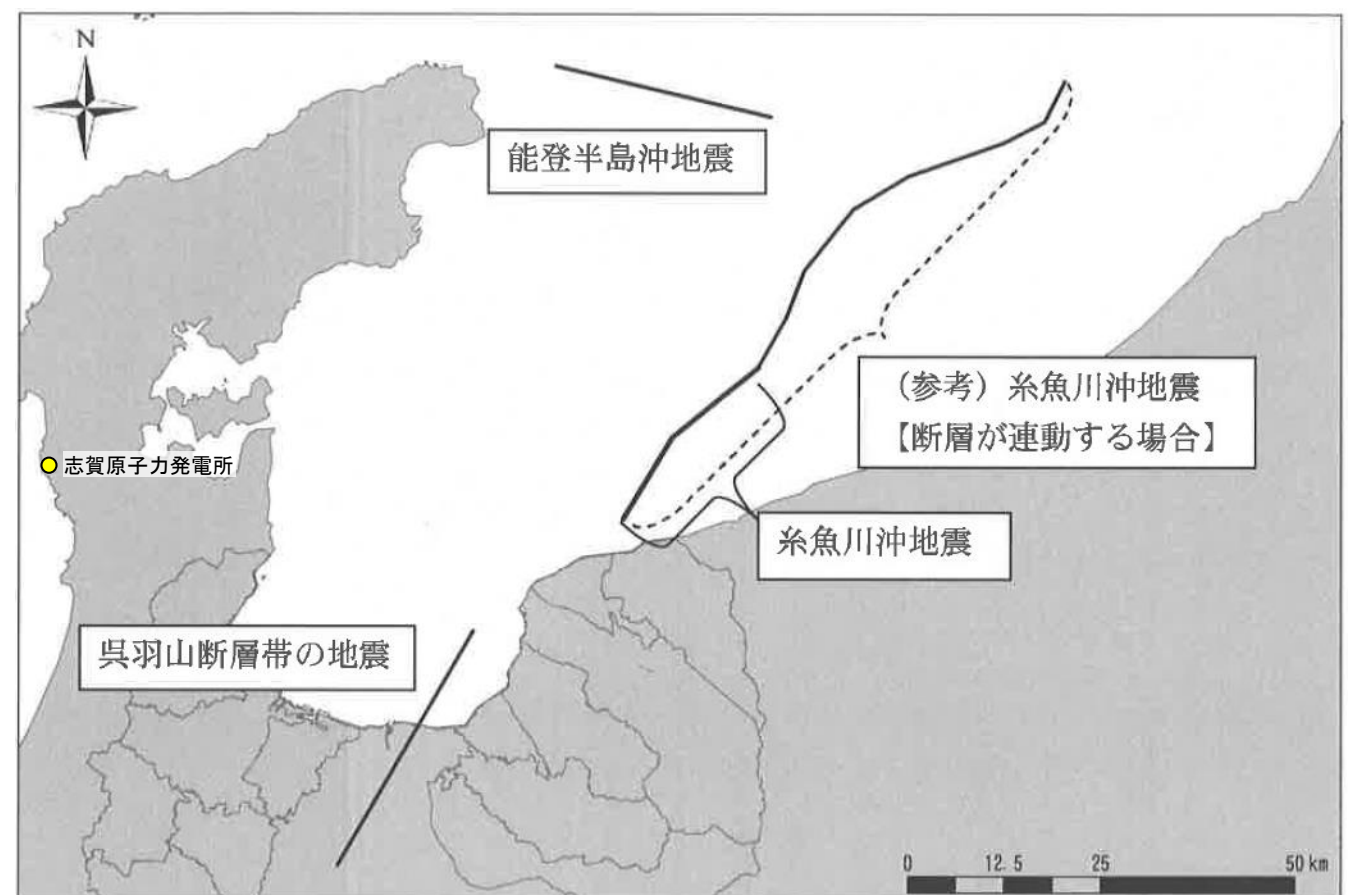
P: 変形を受けている最新期の地層の年代が鮮新世である可能性がある。

2.5.4 (2) 能登半島東方沖の断層の文献調査 —石川県(2012)及び富山県(2012)—

- 石川県(2012)は、能登半島東方沖の断層に対応する位置に、岡村(2002)に図示された断層とその北東方の岡村ほか(1994)に図示された断層から断層モデルを設定しており、一部断層が確認されていない区間が存在するが、東側に背斜・向斜構造が確認できることより、未確認区間を含め同一線上に伸びる断層とし、断層長さ82kmとしている。
- 富山県(2012)は、将来富山県に影響を与えると考えられる想定地震として、能登半島東方沖の断層に対応する位置に、Okamura(2003)の地質図に示される3つの断層から、長さ84kmの糸魚川沖地震の断層(断層の連動を評価)を設定している。



断層モデル設定根拠
(石川県, 2012)



位置図
(富山県(2012)に一部加筆)

2.5.4 (3) TB5, TB6, JO1, JO2及びJO3の連動評価

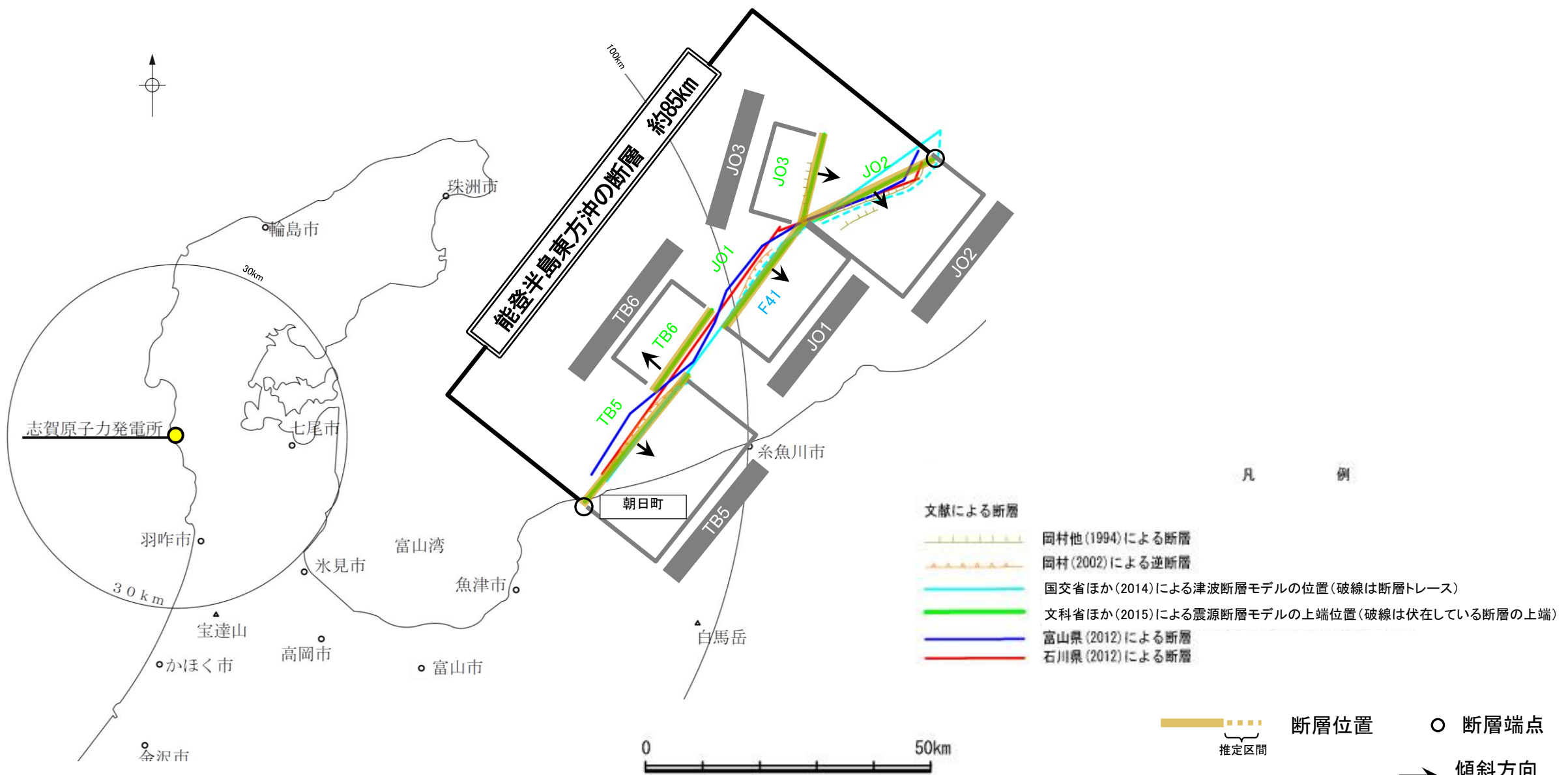
- 文献調査の結果、国交省ほか(2014)はTB5, JO1及びJO2に対応する位置に一連の構造として、断層モデルを設定している。また、文科省ほか(2016)は、TB5, TB6, JO1及びJO2について、連動する可能性がある断層の組合せとしてTB5-TB6-JO1-JO2, JO1-JO2及びJO1-JO3を評価している(P.305, 307)。
- 以下にこれらの断層の連動に関する詳細調査の結果を示す。
 - ・TB5は南東傾斜(約40°), TB6は北西傾斜(約30°), JO1は南東傾斜(約25°), JO2は南東傾斜(約30°), JO3は南東傾斜(約45°)で、TB6を除き断層面の傾斜方向は同じである(下図, P.302, 303)。
 - ・TB5, TB6, JO1, JO2及びJO3が雁行状または直線状に断続的に近接して分布している(下図, P.302, 303)。
 - ・断層周辺の重力異常を比較した結果、TB5はブーゲー異常図でも明瞭であるが、それ以外の区間(TB6, JO1, JO2及びJO3)には認められず、連動しないことを明確に判断できない(P.311)。

○上記のうち、国交省ほか(2014)、文科省ほか(2016)による連動の評価は専門家により詳細に検討された結果であることから、重要な知見と位置づけ、当社の評価に反映する。

○したがって、TB5, TB6, JO1, JO2及びJO3は連動すると評価し、「能登半島東方沖の断層」として走向がNE-SW方向、南東傾斜(約25~45°)の逆断層と評価した。TB6は北西傾斜であるが、TB5, JO1, JO2及びJO3は南東傾斜であり、断層の大部分が南東傾斜であることを踏まえ、南東傾斜と評価した。

○断層長さは、文科省ほか(2015)が設定したJO2の北東端からTB5の南西端までの約85km区間を評価した。

○なお、連動に関する詳細調査の結果を踏まえると、断層面の傾斜方向が同じであること、いずれの断層も雁行状または直線状に断続的に近接して分布していることは、これらの断層の連動を評価するとして上記評価と整合する。

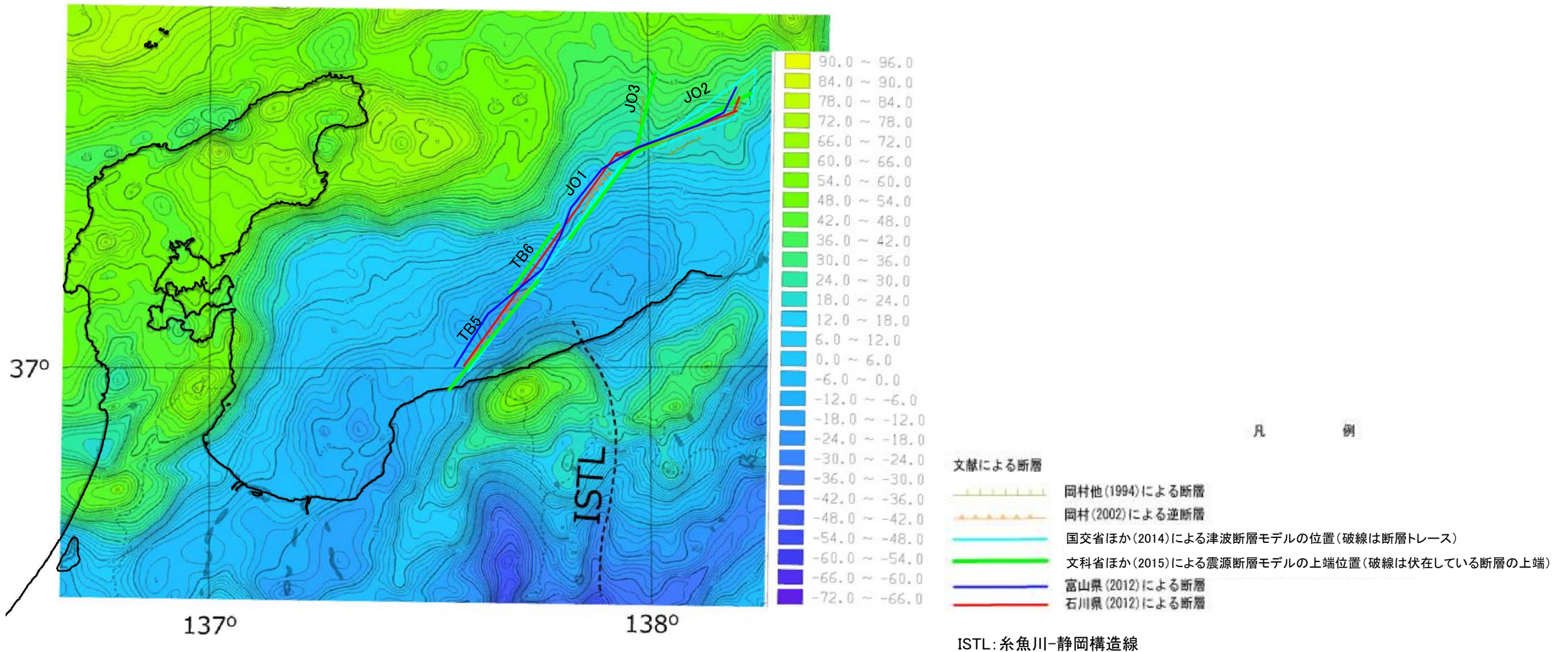


位置図

能登半島東方沖の断層

【TB5, TB6, JO1, JO2及びJO3の周辺の重力異常】

○文科省ほか(2015)によれば, TB5はブーゲー異常図でも明瞭であるが, 糸魚川沖の断層との間には糸魚川-静岡構造線に相当する重力異常の急変帯が存在するとしている。
○TB6, JO1, JO2及びJO3の位置には明瞭な重力異常急変部は認められない。



富山湾周辺のブーゲー異常図(仮定密度 2.3g/cm³)
文科省ほか(2015)に一部加筆

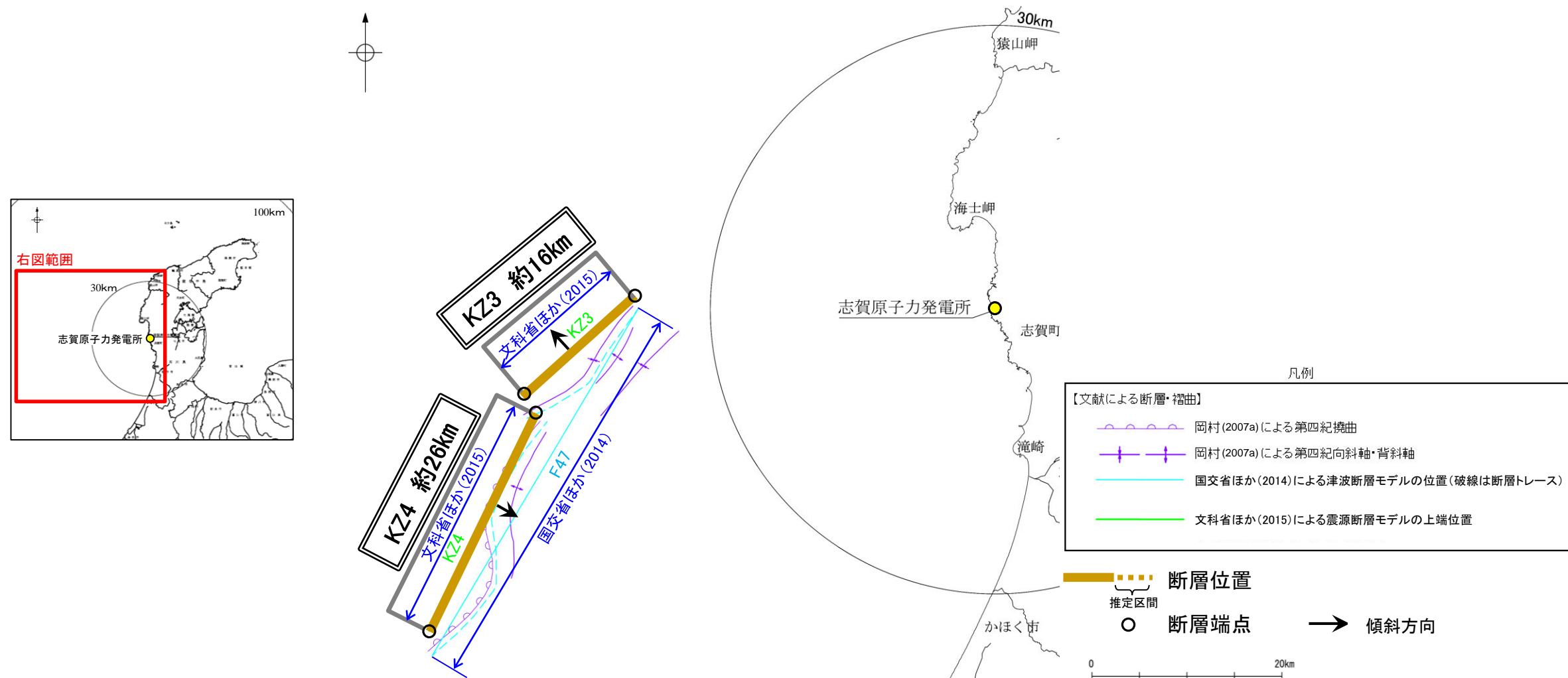
2.5.5 KZ3·KZ4

2.5.5(1) KZ3・KZ4の評価結果

- 活動性及び長さの評価の結果, KZ3及びKZ4はいずれも後期更新世以降の活動が否定できないと評価し, KZ3の長さは約16km, KZ4の長さは約26kmと評価した(次頁)。
- 文献調査の結果, 国交省ほか(2014)は, 産業技術総合研究所等の反射法地震探査データを用いてKZ3とKZ4に対応する位置に南東傾斜の断層(F47)を図示している(P.317)。
- また, 文科省ほか(2015, 2016)は, 国交省ほか(2014)と共同で産業技術総合研究所等の反射法地震探査データ等を整理し, 文科省ほかによる調査で実施した反射法地震探査結果等の調査データも踏まえて, KZ3が北西傾斜, KZ4が南東傾斜の断層と評価したうえで, 連動する可能性のある断層の組合せとしてKZ3-KZ4を評価している(P.318, 319)。
- 当社は, KZ3, KZ4を横断する音波探査測線を解析した結果, KZ3は南東落ち, KZ4は北西落ちの変形が認められ, 非対称な褶曲構造が認められること(P.320)や現在の応力場と能登半島周辺に分布する断層の形成メカニズム(P.34~36)を踏まえると, KZ3は北西傾斜, KZ4は南東傾斜と判断した。

- 以上を踏まえると, 専門家により詳細に検討された国による連動評価の内, 文科省ほか(2016)は, 国交省ほか(2014)が用いているデータに加え, 新たなデータも踏まえて検討された結果であることから, 文科省ほか(2016)の評価結果を当社の評価に反映する。
- したがって, KZ3は走向がNE-SW方向, 北西傾斜(約60°)の逆断層, KZ4は走向がNE-SW方向, 南東傾斜(約50°)の逆断層として連動を考慮する。
- 断層長さは, いずれも文科省ほか(2015)が設定した長さとし, KZ3は約16km区間, KZ4は約26km区間を評価した。

紫字: 第1144回審査会合以降に変更した箇所



位置図

2.5.5(1) KZ3・KZ4の評価結果 — 各断層の評価結果 —

【文献調査】(P.315~319)

○岡村(2007a)は、産業技術総合研究所によって実施された反射法地震探査より、敷地西方に、高浜沖隆起帯の東縁付近から北東側に2列の第四紀背斜構造、宝達山沖隆起帯の西端から高浜沖隆起帯の東縁付近まで連続する第四紀撓曲帯を図示している。なお、これらは、文科省ほか(2015)が設定した震源断層モデルのKZ3及びKZ4にそれぞれ対応する。

○国交省ほか(2014)は、産業技術総合研究所等の反射法地震探査データを用いて、岡村(2007a)が示した構造に対応する位置に、断層長さが42.5km、南東傾斜の逆断層として、津波断層モデルF47を設定している。

○文科省ほか(2015)は、国交省ほか(2014)と共同で産業技術総合研究所のデータ等を整理し、文科省ほかによる調査で実施した調査データも踏まえて、断層長さ:16.0km、北西傾斜60°の逆断層として震源断層モデルKZ3、断層長さ:25.5km、南東傾斜50°の逆断層として震源断層モデルKZ4を設定しており、連動する可能性がある断層の組合せとしてKZ3-KZ4を評価している。また、KZ3及びKZ4は共に、活動性の評価を確実性Cクラス(変形を受けている最新期の地層の年代が第四紀前期である可能性がある)としている。

【活動性評価(KZ3)】

【文献調査】

- 岡村(2007a)は、KZ3に対応する位置に、第四紀背斜構造を図示している。
- 文科省ほか(2021)は、震源断層モデルとして設定したKZ3の活動性の評価を確実性Cクラス(変形を受けている最新期の地層の年代が第四紀前期である可能性がある)としている。
- 傾斜方向については、国交省ほか(2014)は産業技術総合研究所のデータから南東傾斜としているが、文科省ほか(2015)では、産業技術総合研究所のデータに加え、KZ3を横断する反射法地震探査を実施しており、KZ3は北西傾斜としている。海上音波探査の結果、KZ3は南東落ちの変形が認められ、非対称な褶曲構造が認められること(P.320)や現在の応力場と能登半島周辺に分布する断層の形成メカニズムを踏まえると、KZ3は北西傾斜と推定される。

⇒文献調査及び海上音波探査の結果、文科省ほか(2015)から、KZ3は走向がNE-SW方向、北西傾斜(約60°)の逆断層と推定され、後期更新世以降の活動が否定できないと評価。

【長さの評価(KZ3)】

【文献調査】

- 文科省ほか(2015)は、国交省ほか(2014)と共同で産業技術総合研究所のデータ等を整理し、文科省ほかによる調査で実施した調査データも踏まえて、震源断層モデルを設定している最新の文献である。
- 文科省ほか(2015)は、KZ3の断層長さを16.0kmとしており、文科省ほか(2021)は断層位置の評価を確実性Aクラス(反射法地震探査)としている。

⇒産業技術総合研究所のデータ及び国交省ほか(2014)を踏襲した内容になっている文科省ほか(2015)が設定した約16km区間を評価。

KZ3は後期更新世以降の活動が否定できず、その長さとして約16km区間を評価する。

【活動性評価(KZ4)】

【文献調査】

- 岡村(2007a)は、KZ4に対応する位置に、第四紀撓曲帯を図示している。
- 文科省ほか(2021)は、震源断層モデルとして設定したKZ4の活動性の評価を確実性Cクラス(変形を受けている最新期の地層の年代が第四紀前期である可能性がある)としている。
- 傾斜方向については、岡村(2007a)では、反射法断面より、KZ4に対応する撓曲帯は、東側隆起の構造であると判読しており、国交省ほか(2014)、文科省ほか(2015)はいずれも南東傾斜としている。海上音波探査の結果、KZ4は北西落ちの変形が認められ、非対称な褶曲構造が認められること(P.320)や現在の応力場と能登半島周辺に分布する断層の形成メカニズムを踏まえると、KZ4は南東傾斜と推定される。

⇒文献調査及び海上音波探査の結果、文科省ほか(2015)から、KZ4は走向がNE-SW方向、南東傾斜(約50°)の逆断層と推定され、後期更新世以降の活動が否定できないと評価。

【長さの評価(KZ4)】

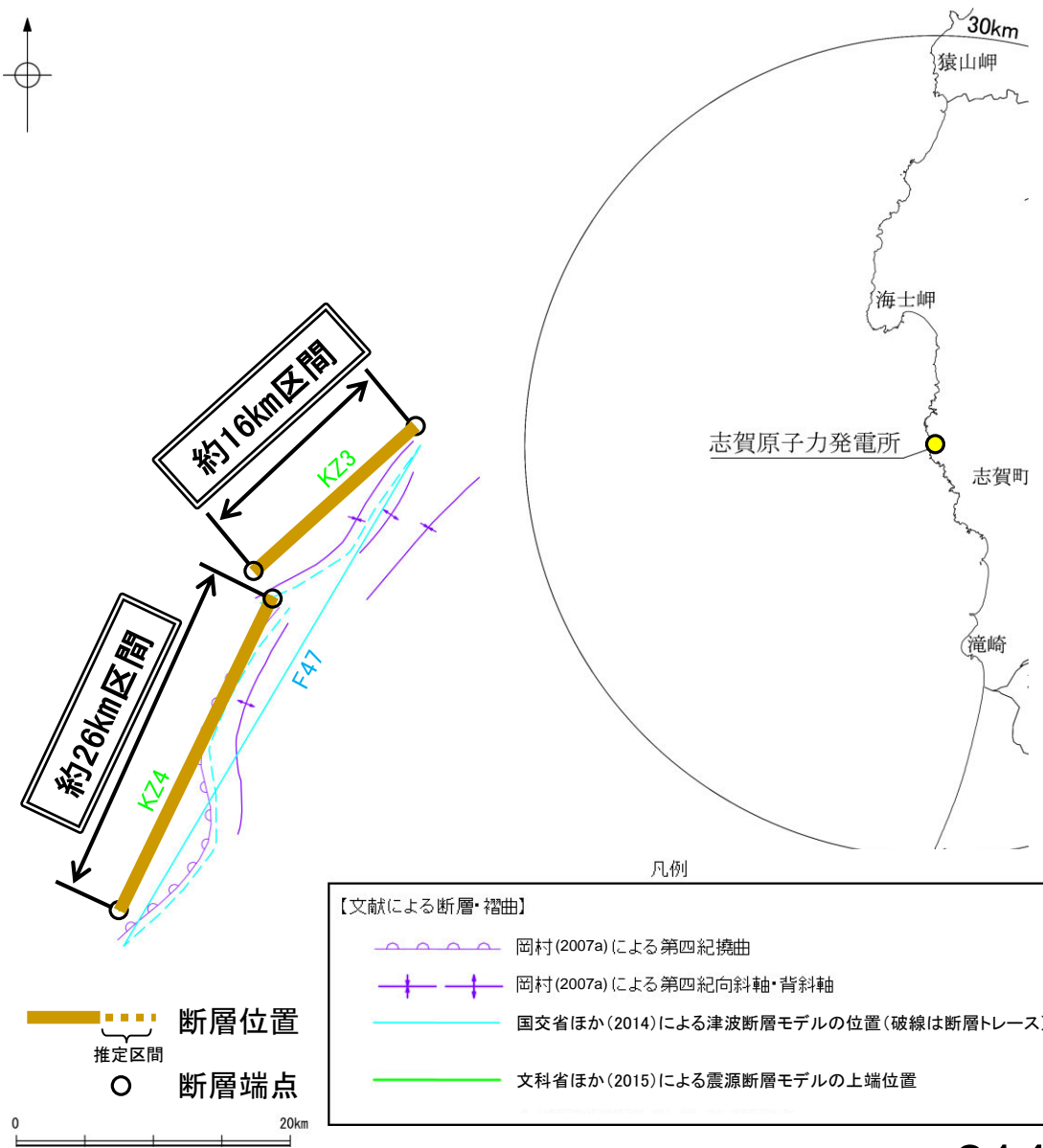
【文献調査】

- 文科省ほか(2015)は、国交省ほか(2014)と共同で産業技術総合研究所のデータ等を整理し、文科省ほかによる調査で実施した調査データも踏まえて、震源断層モデルを設定している最新の文献である。
- 文科省ほか(2015)は、KZ4の断層長さを25.5kmとしており、文科省ほか(2021)は断層位置の評価を確実性Aクラス(反射法地震探査)としている。

⇒産業技術総合研究所のデータ及び国交省ほか(2014)を踏襲した内容になっている文科省ほか(2015)が設定した約26km区間を評価。

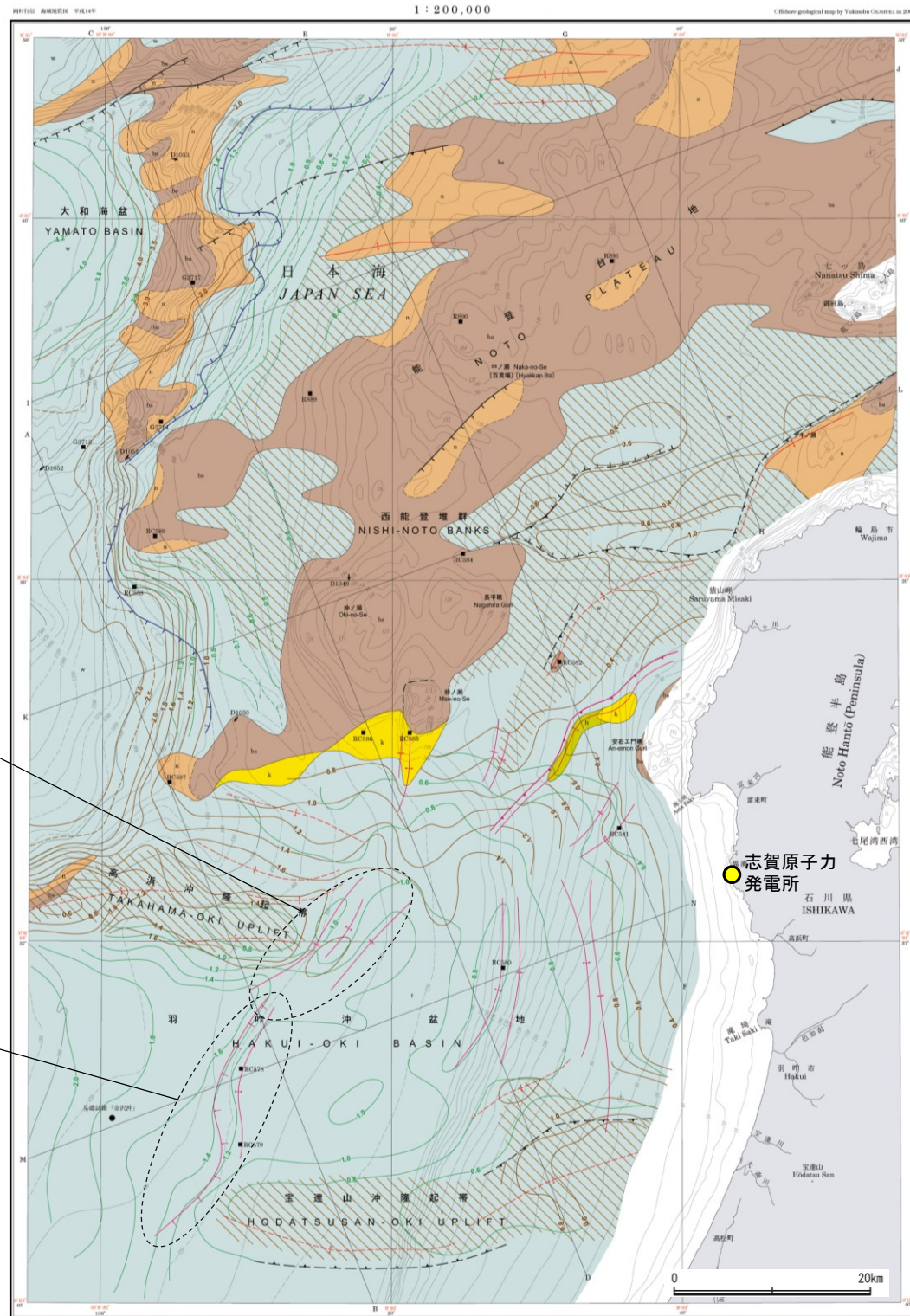
KZ4は後期更新世以降の活動が否定できず、その長さとして約26km区間を評価する。

紫字: 第1144回審査会合以降に変更した箇所



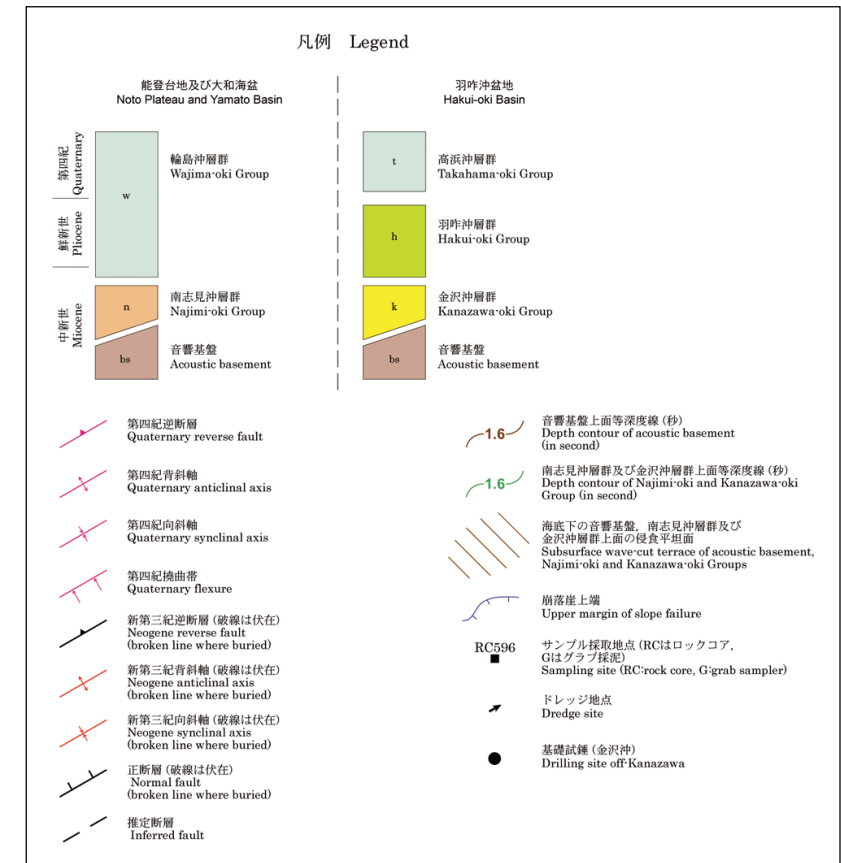
2.5.5 (2) KZ3・KZ4の文献調査 —岡村(2007a)—

○岡村(2007a)は、敷地西方に、高浜沖隆起帯の東縁付近から北東側に2列の第四紀背斜構造、宝達山沖隆起帯の西端から高浜沖隆起帯の東縁付近まで連続する第四紀撓曲帯を図示している。



高浜沖隆起帯の東縁付近から北東側に2列の背斜構造

宝達山沖隆起帯の西端から高浜沖隆起帯の東縁付近まで連続する撓曲帯

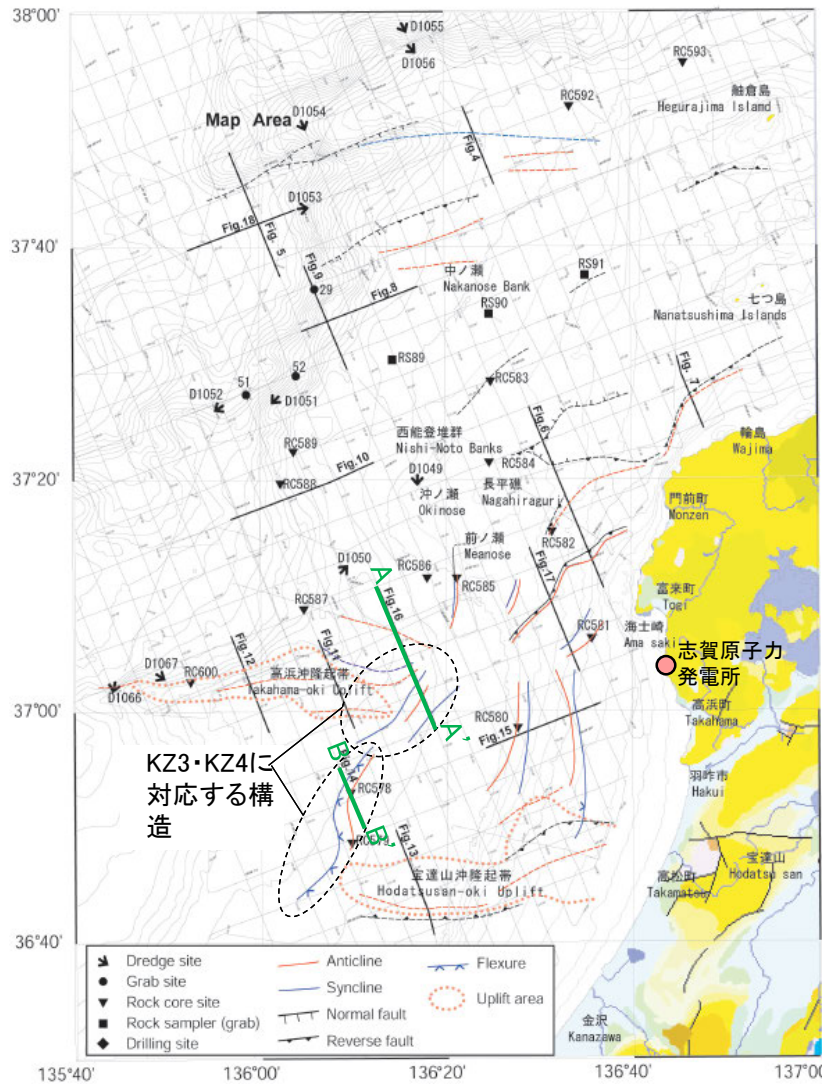


能登半島西方海底地質図
(岡村(2007a)に一部加筆)

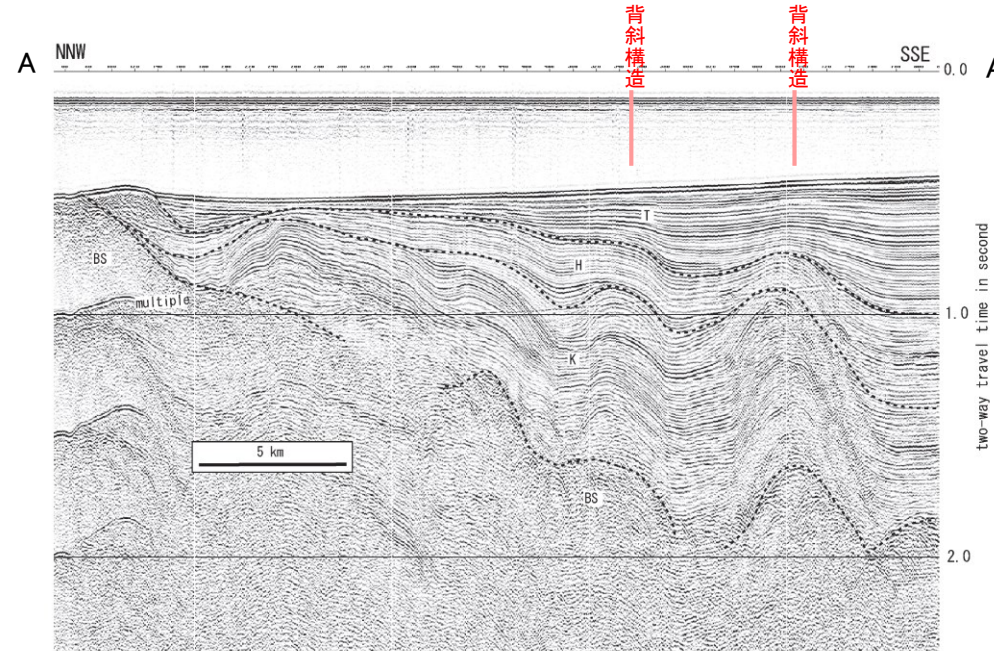
KZ3・KZ4

【岡村(2007a)による反射断面の解釈】

○岡村(2007a)は、産業技術総合研究所によって実施された反射法地震探査の反射断面の解釈に基づいて、能登半島西方海底地質図を作成している。
 ○KZ3に対応する背斜構造は、反射断面(A-A')によると、金沢沖層群堆積後に形成されたものが、第四紀の高浜沖層群堆積中に再活動した様に見える。
 ○KZ4に対応する撓曲帯は、反射断面(B-B')によると、第四紀の高浜沖層群が撓曲帯の西側で厚くなることから、第四紀に活動を始めたと考えられるとしている。
 ○KZ3とKZ4の上盤側に、両断層がバックスラストとなるような逆傾斜の震源断層は推定されていない。

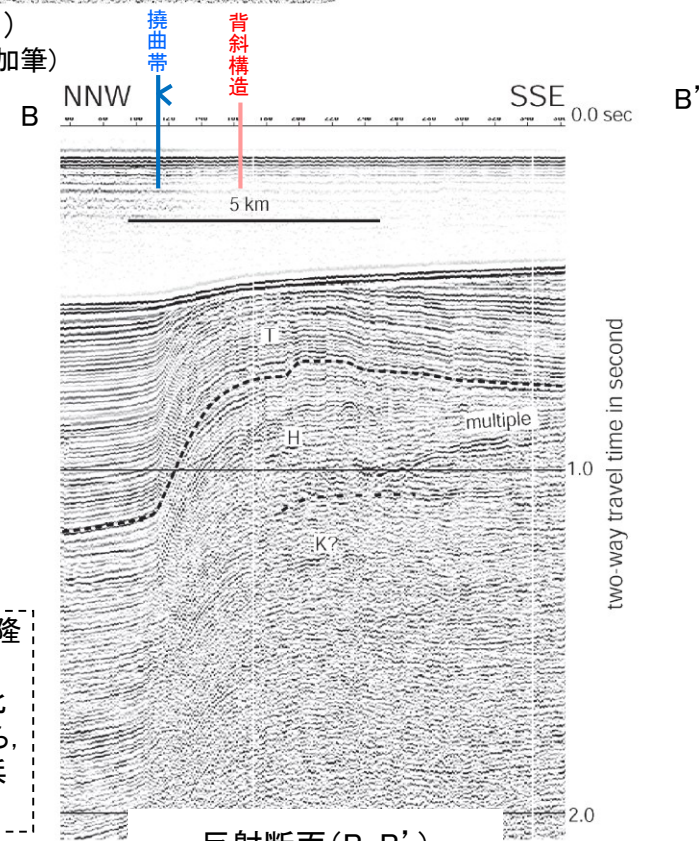


位置図
(岡村(2007a)に一部加筆)



反射断面(A-A')
(岡村(2007a)に一部加筆)

＜岡村(2007a)による解釈＞
 ・高浜沖隆起帯の東縁付近から北東側には2列の背斜構造が発達する。
 ・それらは金沢沖層群堆積後に形成されたものが、高浜沖層群堆積中に再活動した様に見える。

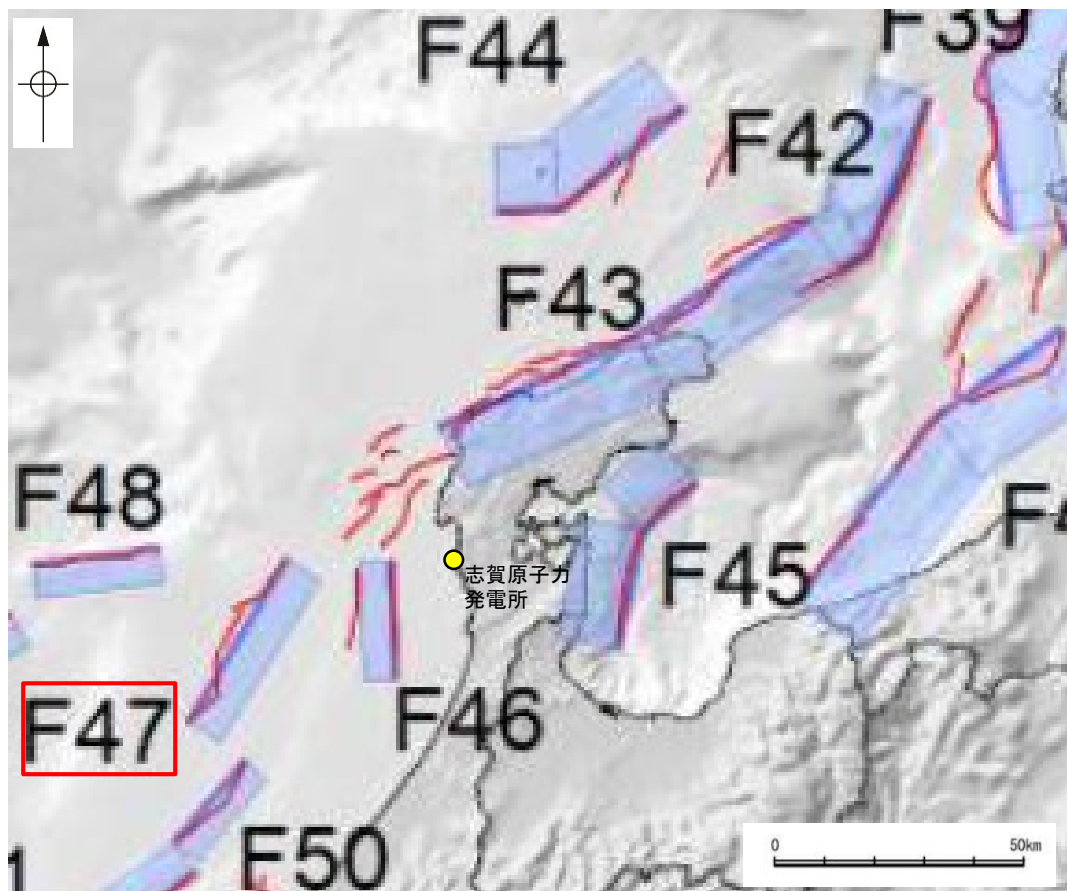


反射断面(B-B')
(岡村(2007a)に一部加筆)

＜岡村(2007a)による解釈＞
 ・東側が隆起し緩やかな背斜構造を伴う撓曲帯が宝達山沖隆起帯の西端から高浜沖隆起帯の東縁付近まで連続する。
 ・高浜沖層群より下位の地層は、撓曲帯を挟んで厚さの変化は少ないのに対して、高浜沖層群は西側で厚くなることから、第四紀に活動し始めたと考えられる。西翼の構造差は高浜沖層群基部で最大0.5秒に達する。

2.5.5 (2) KZ3・KZ4の文献調査 — 国交省ほか(2014) —

- 国交省ほか(2014)は、産業技術総合研究所等の反射法地震探査データを用いて、津波断層モデルを設定している。
- 国交省ほか(2014)は、岡村(2007a)が示した構造に対応する位置に、津波断層モデルとしてF47を設定している。
- 断層モデルの検討にあたっては、測線数の多い産業技術総合研究所の反射断面の解釈に基づいて海底の断層トレースを設定し、その他の機関の反射断面での解釈による確認も実施している。日本海における大規模地震に関する調査検討会の海底断層ワーキンググループ(2014)によると、反射断面の検討の結果、F47は、南東傾斜の逆断層であり、地形では不明瞭であるが、海底直下の地層まで変形が確認できるとされている。
- 国交省ほか(2014)で設定された津波断層モデルF47は、断層長さ42.5km、南東傾斜の傾斜角60°とされている。



位置図
(国交省ほか(2014)に一部加筆)

<国交省ほか(2014)で用いた反射法地震探査データ>

- ・独立行政法人 産業技術総合研究所 反射断面
- ・独立行政法人 海洋研究開発機構 反射断面
- ・独立行政法人 石油天然ガス・金属鉱物資源機構 反射断面

<海底断層WG(2014)*でのF47の記載>

海底地形や過去地震との対応等	断層種別	グルーピングにあたっての特記事項
F46の更に西方沖の断層	逆断層 南東傾斜	地形では不明瞭であるが、海底直下の地層まで変形が確認できる。

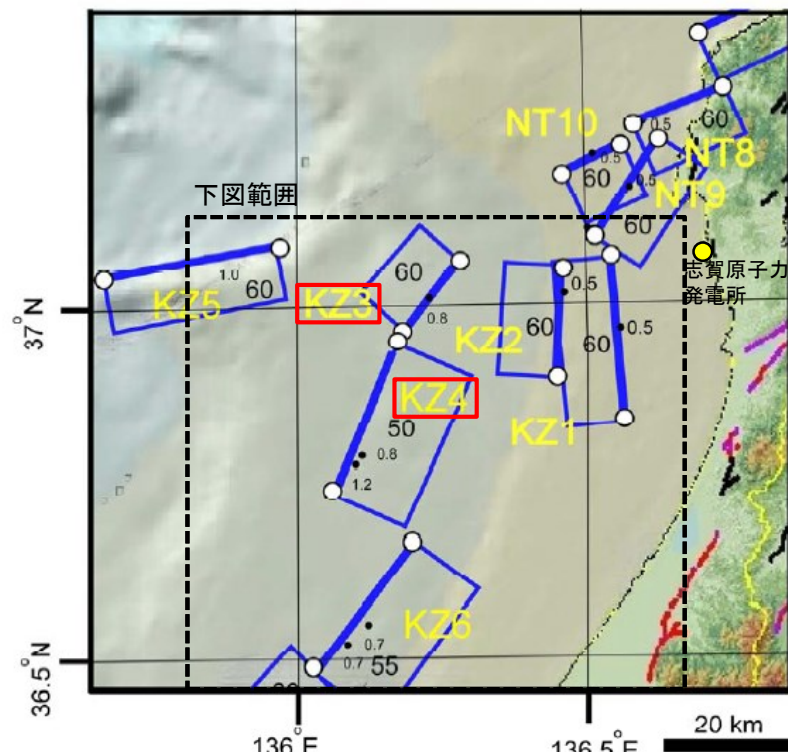
*海底断層WG(2014): 日本海における大規模地震に関する調査検討会の海底断層ワーキンググループ(2014)

2.5.5 (2) KZ3・KZ4の文献調査 — 文科省ほか(2015) —

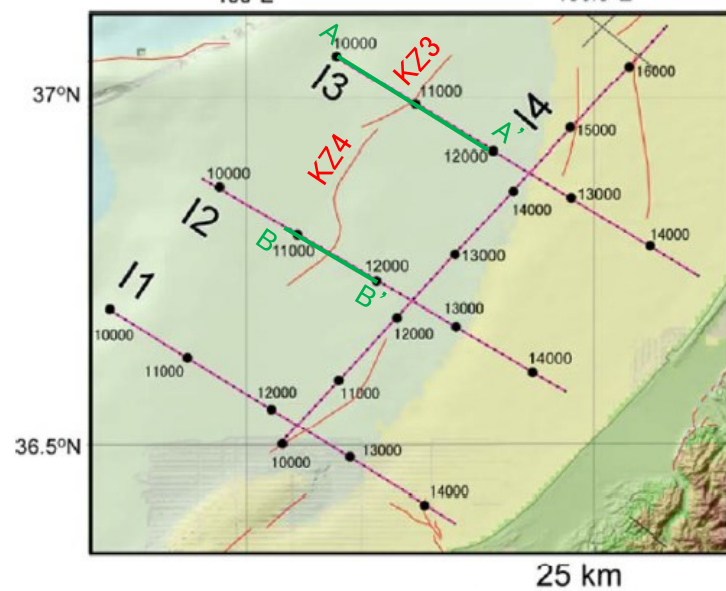
○文科省ほか(2015)は、国交省ほか(2014)と共同で産業技術総合研究所の反射法地震探査データ等を整理し、文科省ほかによる調査で実施した反射法地震探査結果等の新たなデータも用いて、断層の矩形モデルを作成している。

○文科省ほか(2015)は、岡村(2007a)が示した構造に対応する位置に、震源断層モデルとして、KZ3及びKZ4を設定している。

○KZ3は、反射法地震探査断面(I3測線)から、国交省ほか(2014)とは異なり、北西傾斜の逆断層と判断しており、断層長さは16.0km、北西傾斜の傾斜角 60° としている。KZ4は、反射法地震探査断面(I3測線)から、断層長さは25.5km、南東傾斜の傾斜角 50° としている。



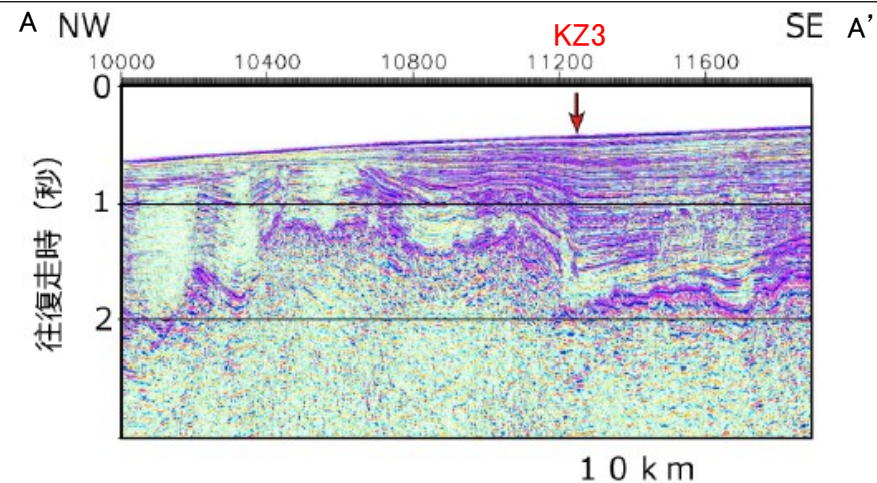
位置図
(文科省ほか(2015)に一部加筆)



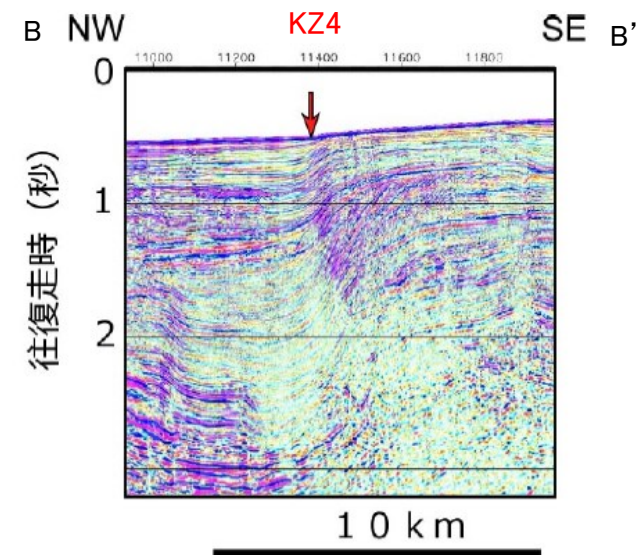
反射法地震探査測線位置
(文科省ほか(2015)に一部加筆)

＜文科省ほか(2015)の断層モデル作成に用いたデータ＞

- ・文科省ほかによる調査で取得した反射法地震探査及び海陸統合探査の結果
- ・「ひずみ集中帯の重点的調査観測・研究」プロジェクトで取得した反射法地震探査断面
- ・石油公団の反射法地震探査断面
- ・海底地形
- ・産業技術総合研究所の活断層トレース
- ・地震研究所が取得した反射法地震探査データ



KZ3を横断する反射法地震探査時間マイグレーション断面(I3測線)
(文科省ほか(2015)に一部加筆)

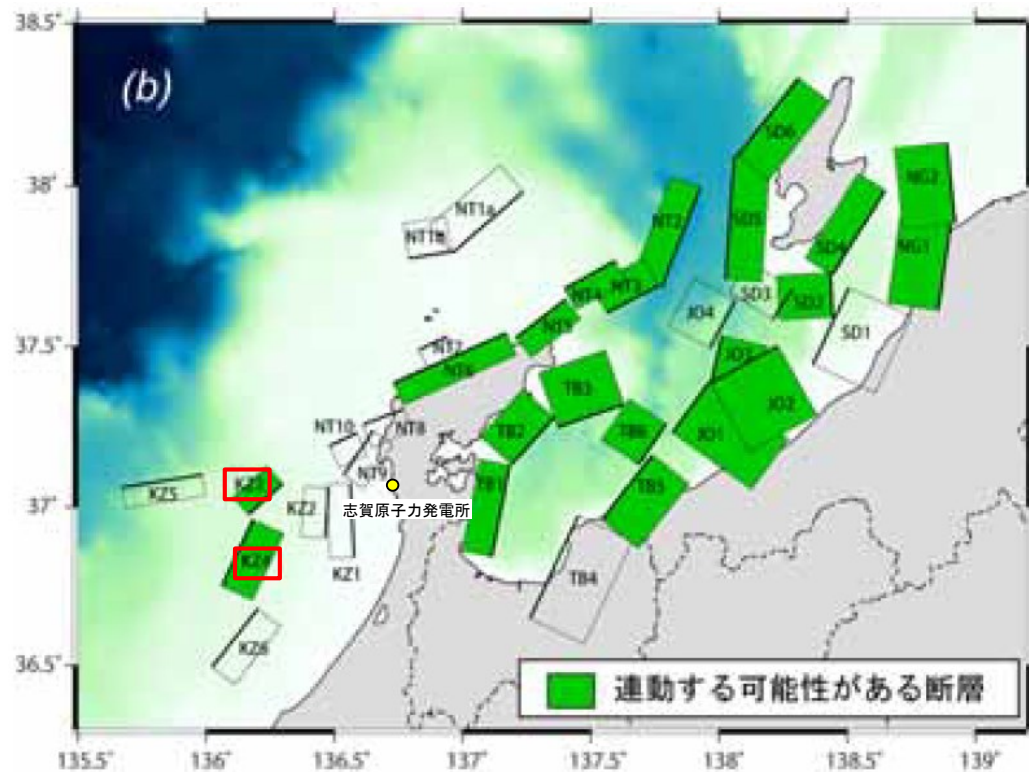


KZ4を横断する反射法地震探査時間マイグレーション断面(I2測線)
(文科省ほか(2015)に一部加筆)

KZ3・KZ4

【文科省ほか(2016)による断層モデル, 文科省ほか(2021)による断層の位置と長さ及び活動性】

○文科省ほか(2016)によると, 連動する可能性がある断層の組み合わせとして, KZ3-KZ4の組合せを評価している。
○文科省ほか(2021)はKZ3, KZ4の断層位置の評価を確実性Aクラスとしており, 反射法地震探査で認められるとしている。また, 断層の活動性に関して, KZ3, KZ4の活動性の評価を確実性Cクラス(変形を受けている最新期の地層の年代が第四紀前期である可能性がある)としている。



連動する可能性がある断層の組み合わせ
(文科省ほか(2016)に一部加筆)

断層の位置と長さ及び活動性(文科省ほか(2021)を編集)

断層名	断層位置	傾斜と変位	活動性
KZ1	MCS, HC	SR	QL
KZ2	MCS, HC	SR	QL
KZ3	MCS, HC	SR	QL
KZ4	MCS, HC	SR	QL
KZ5	MCS, HC	SR	Q
KZ6	MCS, HC	SR	Q

枠内の色は確実性
A: オレンジ, B: 黄色, C: 黄緑, D: 青
断層位置のHCは凡例がなく不明

c) 震源断層の位置と長さ

精度が高い順に, Aクラス, Bクラス, Cクラスとした。ここでは, 探査結果の優劣ではなく, 測線密度から区分している。

Aクラス

TG (Tectonic Geomorphology): 変動地形として追跡可能。SHR (Shallow high-resolution seismic): 高分解能の稠密な音波探査に基づく推定。

Bクラス

MCS (Multi-channel seismic reflection survey): 反射法地震探査

Cクラス

GA (Gravity Anomaly): 重力異常の急変帯。

HE (Historical Earthquake): 歴史地震資料に基づく解析による。

f) 活動性

断層の活構造としての確実性を, 確実 A から確実性が低いもの D まで区分し, 判断の根拠を示した。

Aクラス

Q: 第四紀後期までの地層が, 変形・変位を受けている

QT: 断層変位と調和的な変形が堆積面の海底地形に表れている。

Bクラス

QB: 第四紀後期に相当する地層まで変形を受けている可能性が高いが, 年代や断層による変形の幅が広く, 第四紀後期に相当する地層までの変形がやや不明瞭。

CT: 断層(推定も含む)の隆起側で海成段丘が隆起。

Cクラス

QL: 変形を受けている最新期の地層の年代が第四紀前期である可能性がある。

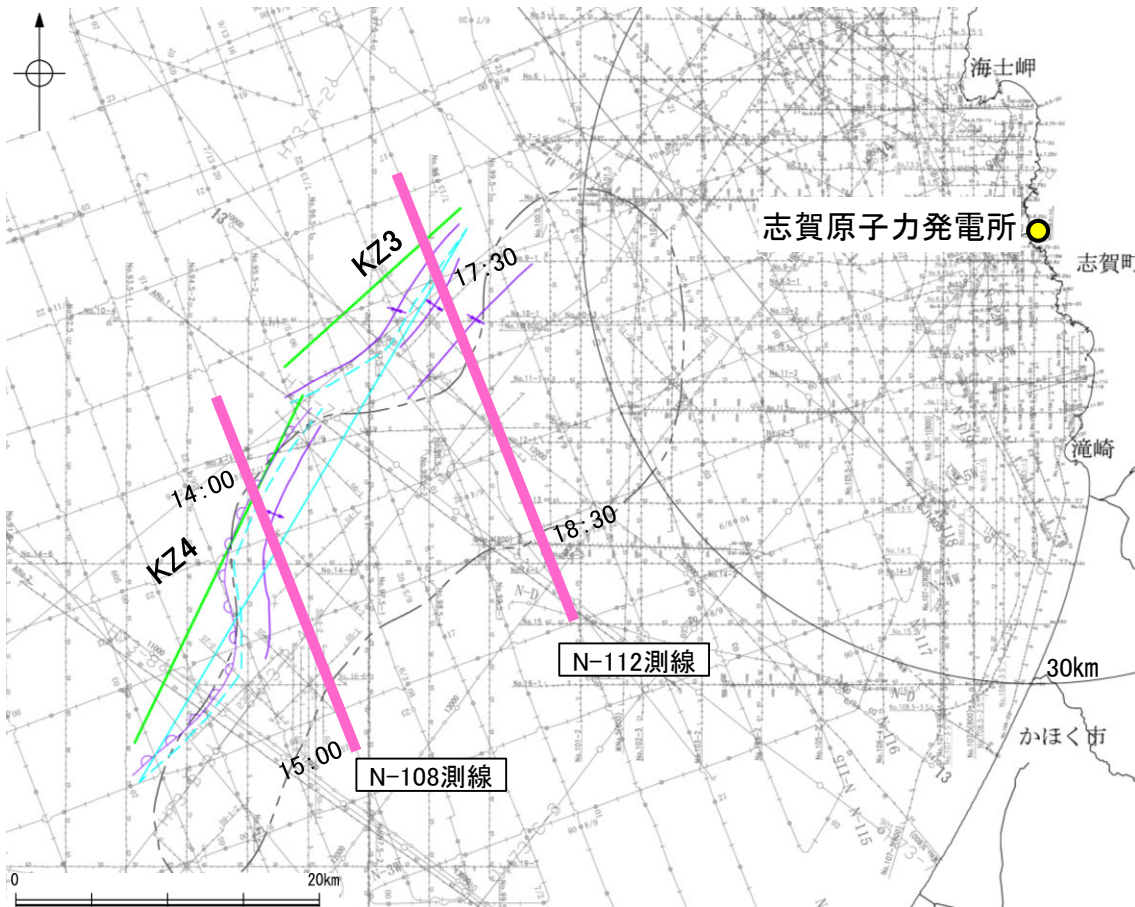
Dクラス

P: 変形を受けている最新期の地層の年代が鮮新世である可能性がある。

2.5.5 (3) KZ3・KZ4の活動性 —N-108測線, N-112測線—

ON-112測線において、測点17:23付近でQ層、C層、D₁層及びD₂層に南東落ちの変形が認められ、文科省ほか(2015)の断層モデル、国交省ほか(2014)の断層トレース、岡村(2007a)による第四紀向斜軸が示されている。また、測点17:40付近でQ層、C層、D₁層及びD₂層に南東落ちの変形が認められ、岡村(2007a)の第四紀向斜軸が示されており、文科省ほか(2015)のI3測線で示されたKZ3(P.318)の延長位置にあたる。これらの変形はKZ3に対応すると判断され、南東翼が急傾斜、北西翼が緩傾斜の非対称な褶曲であることから、北西傾斜の逆断層と推定される。

ON-108測線において、測点14:00付近でQ層、C層及びD₁層に北西落ちの変形が認められ、文科省ほか(2015)の断層モデル、国交省ほか(2014)の断層トレース、岡村(2007a)による第四紀撓曲が示されている。この変形はKZ4に対応すると判断され、北西翼が急傾斜、南東翼が緩傾斜の非対称な褶曲であることから、南東傾斜の逆断層と推定される。



位置図

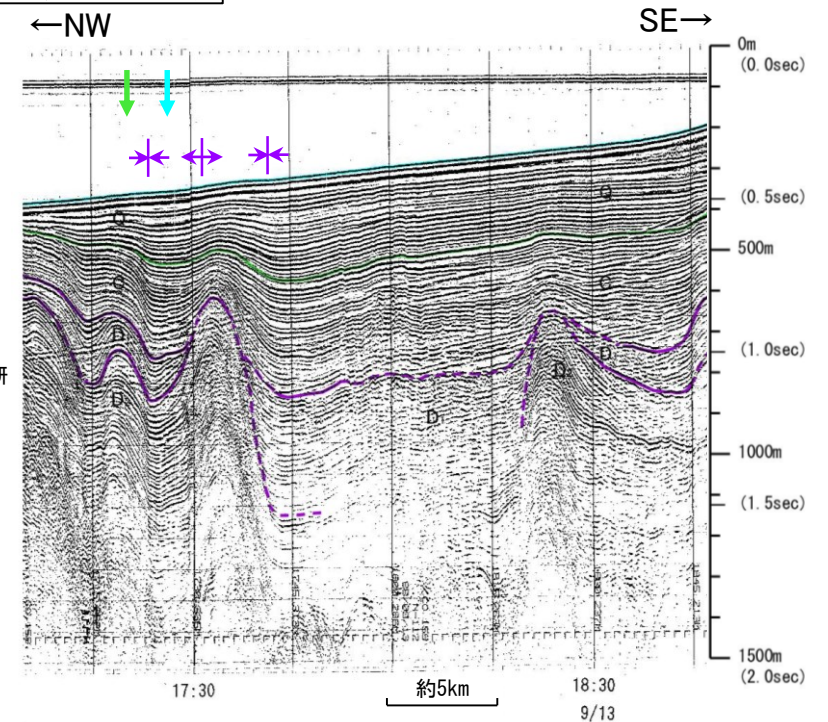
凡 例

- | | | | |
|-------------------|--|-------|------------------------|
| ----- | 小断層群密集域 | ----- | 右図記録範囲 |
| No. 4 S7-2 | 調査測線 (北陸電力: スーパー・シングルチャンネル・約2450ジュール) | ↓ | 国交省ほか(2014)の断層トレース |
| ANo. 1 | 調査測線 (北陸電力: スーパー・シングルチャンネル・約6400ジュール) | ↓ | 文科省ほか(2015)の断層モデル |
| No. 4 S | 調査測線 (北陸電力: スーパー・シングルチャンネル・約360ジュール) | ∩ | 岡村(2007a)による第四紀撓曲 |
| No. 8U
No. 11B | 調査測線 (北陸電力: プーマー・マルチチャンネル・約200ジュール) | ↔ | 岡村(2007a)による第四紀背斜軸・向斜軸 |
| LINE-A | 調査測線 (東京大学地震研究所: エアガン・マルチチャンネル) | | |
| K22 | 調査測線 (東京大学地震研究所: プーマー・マルチチャンネル) | | |
| L102 | 調査測線 (産業技術総合研究所: プーマー・マルチチャンネル) | | |
| N1-02BM | 調査測線 (原子力安全・保安院: プーマー・マルチチャンネル) | | |
| N1-06MS | 調査測線 (原子力安全・保安院: ウォーターガン・マルチチャンネル) | | |
| N-120 | 調査測線 (地質調査所: エアガン・シングルチャンネル) | | |
| 14 | 調査測線 (文部科学省研究開発局・国立大学法人東京大学地震研究所: エアガン・マルチチャンネル) | | |
| H73-1 | 調査測線 (エアガン・マルチチャンネル) | | |
| SJ1407 | 調査測線 (海洋研究開発機構: エアガン・マルチチャンネル) | | |

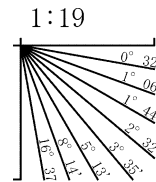
枠囲みの内容は機密事項に
属しますので公開できません。

- 文献による断層
- 岡村(2007a)による第四紀撓曲
 - 日本海における大規模地震に関する調査検討会(2014)による津波断層モデルの位置 (破線は断層トレース)
 - 文部科学省研究開発局・国立大学法人東京大学地震研究所(2015)による震源断層モデルの上端位置
 - 岡村(2007a)による第四紀向斜軸・背斜軸

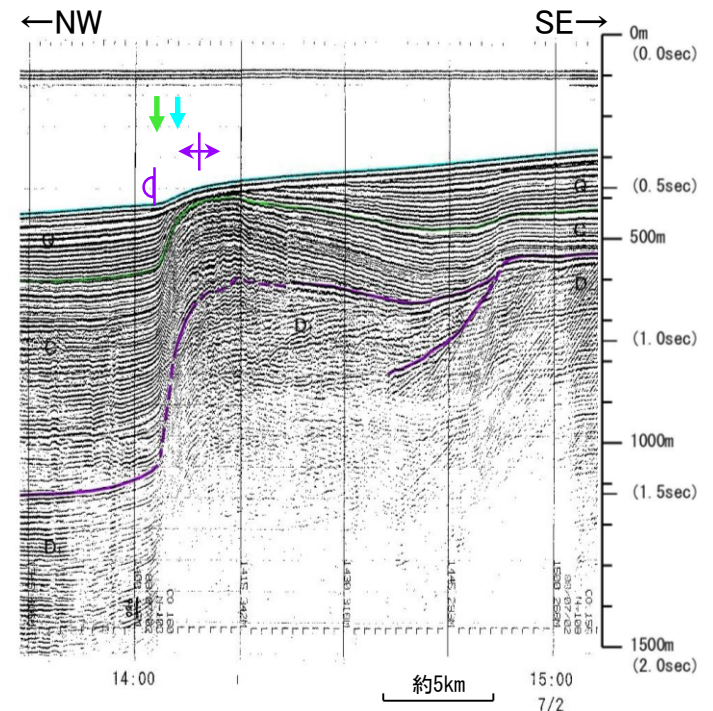
N-112測線(地質調査所エアガン)



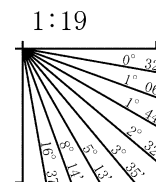
この図面は、地質調査所(現 産業技術総合研究所)の海上音波探査の記録を北陸電力が独自に解析・作成したものである



N-108測線(地質調査所エアガン)



この図面は、地質調査所(現 産業技術総合研究所)の海上音波探査の記録を北陸電力が独自に解析・作成したものである



-
- 2.5.6 F_U2
 - 2.5.7 猿山岬北方沖の断層
 - 2.5.8 F_U1
 - 2.5.9 KZ6
 - 2.5.10 KZ5
 - 2.5.11 NT1
 - 2.5.12 石川県西方沖の断層
 - 2.5.13 NT2・NT3

2.5.6 F_J2の評価結果

【文献調査】(補足資料2.5-1(1))※1

- 鈴木(1979)は、ENE-WSW方向、南落ちの正断層を図示している。以下、この断層を「F_J2」と称する。
- 岡村(2007a)、井上・岡村(2010)及び尾崎ほか(2019)は、F_J2に対応する南落ちの正断層を図示していない。
- 国交省ほか(2014)は、F_J2に対応する断層トレースを図示していない。
- 文科省ほか(2015)は、F_J2に対応する震源断層モデルを図示していない。

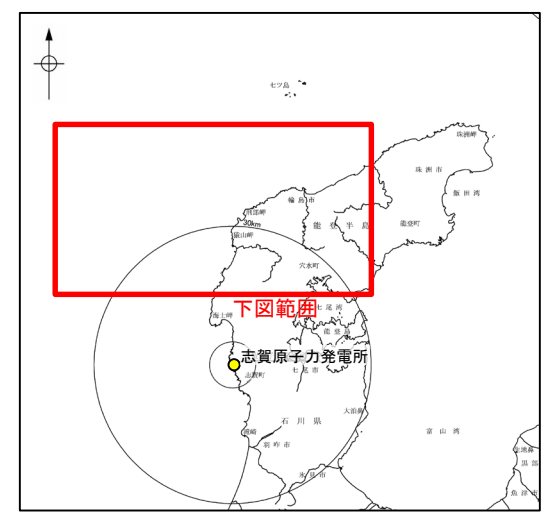
※1:F_J2の調査データは補足資料2.5-1

活動性評価※1

○文献調査の結果、F_J2は、鈴木(1979)では南落ちの正断層が図示されているが、他の文献では図示されていない。

○海上音波探査の結果、少なくとも第四系にはF_J2に対応する断層等を示唆するような変位、変形は認められない(補足資料2.5-1(2)P.2.5-1-3~6)。

→鈴木(1979)は、深部を対象とした石油開発公団等によるエアガンの調査結果から断層を推定しており、浅部を対象とした音波探査記録(スパーカー、ウォーターガン等)には断層等は認められないことから、F_J2に対応する構造は浅部まで連続していないと推定される。



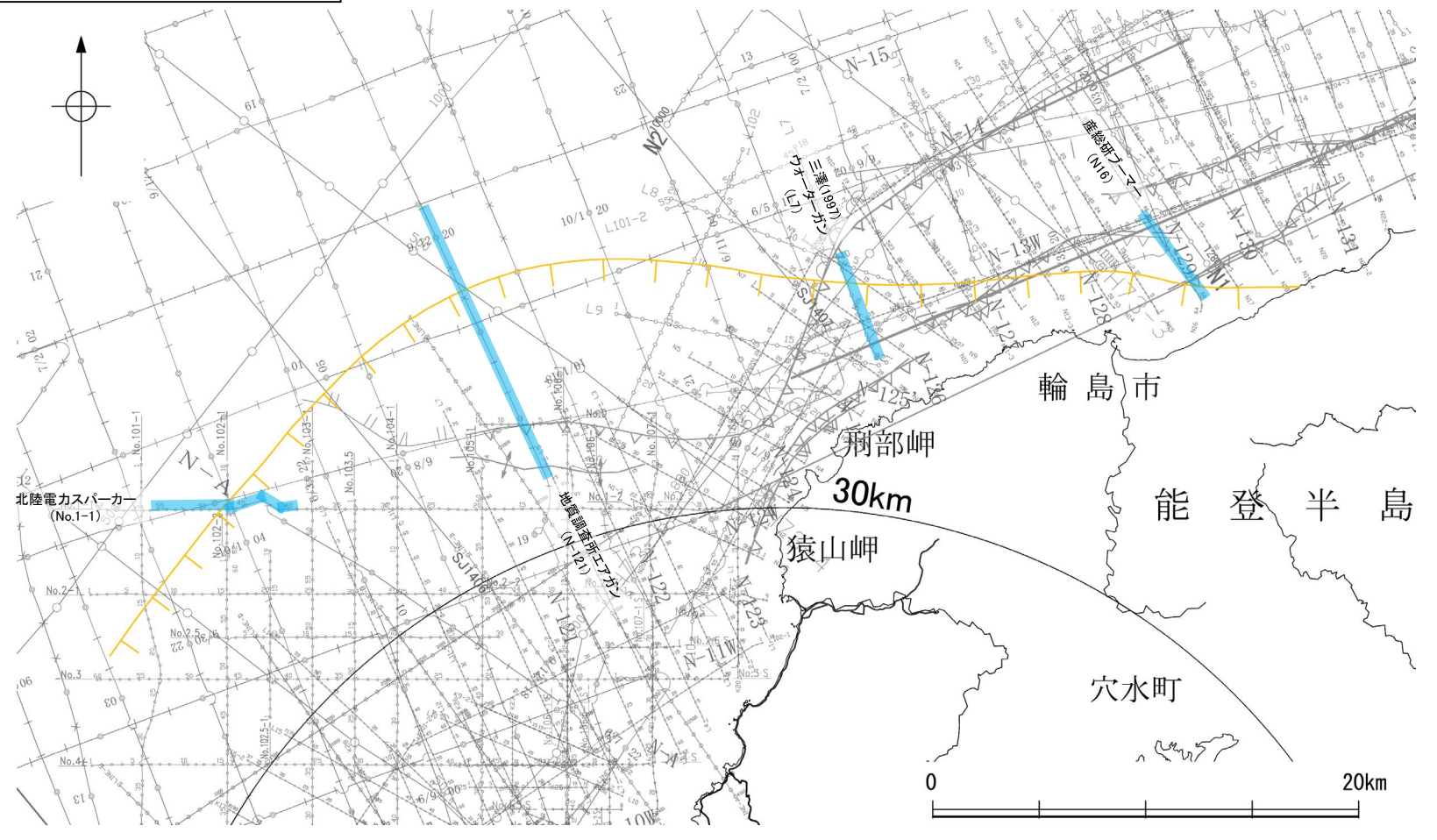
海上音波探査の結果、F_J2は浅部まで連続しない断層と推定され、少なくとも第四系には相当する断層等は認められない。

凡 例

文献による断層 対象文献断層	鈴木(1979)による正断層	断層の有無を確認した測線※2
対象外文献断層	鈴木(1979)による正断層	岡村(2002)による逆断層
	岡村(2007a)による正断層	井上他(2007)による背斜軸(逆断層の伏在を推定)
	岡村(2007a)による新第三紀逆断層	尾崎他(2019)による逆断層
	井上・岡村(2010)による逆断層	井上・岡村(2010)による撓曲軸
	井上・岡村(2010)による活逆断層	尾崎他(2019)による撓曲軸
	井上・岡村(2010)による活逆断層	尾崎他(2019)による活逆断層
	日本海における大規模地震に関する調査検討会(2014)による津波断層モデルの位置(破線は断層トレース)	
	文部科学省研究開発局・国立大学法人東京大学地震研究所(2015)による震源断層モデルの上端位置	

No. 8	調査測線(北陸電力:スパーカー・シングルチャンネル・約2450ジュール)
No. 9-S	調査測線(北陸電力:スパーカー・シングルチャンネル・約360ジュール)
LINE-A	調査測線(東京大学地震研究所:エアガン・マルチチャンネル)
K17	調査測線(東京大学地震研究所:プーマー・マルチチャンネル)
L5	調査測線(産業技術総合研究所:プーマー・マルチチャンネル)
N5	調査測線(産業技術総合研究所:プーマー・マルチチャンネル)
N-118	調査測線(地質調査所:エアガン・シングルチャンネル)
L4	調査測線(三澤(1997):ウォーターガン・シングルチャンネル)
N2	調査測線(文部科学省研究開発局・国立大学法人東京大学地震研究所:エアガン・マルチチャンネル)
H73-1	調査測線():エアガン・マルチチャンネル
SJ1407	調査測線(海洋研究開発機構:エアガン・マルチチャンネル)

枠囲みの内容は機密事項に属しますので公開できません。



位置図

※2: 以外のF_J2の有無を確認した音波探査記録はデータ集2

2.5.7 猿山岬北方沖の断層の評価結果

【文献調査】(補足資料2.5-2(1))※1

- 岡村(2007a)は、猿山岬北方沖で屈曲する新第三紀逆断層を図示し、西端部付近を正断層としている。
- 井上・岡村(2010)は、輪島の約13km北方に分布する沖ノ瀬隆起帯が北東-南西方向に延びる南志見沖層群及び基盤からなる背斜構造であり、その北西縁に逆断層を図示しているが、それらを覆う輪島沖層群には明瞭な変形構造は認められないとしている。
- 国交省ほか(2014)は、猿山岬北方沖の断層に対応する断層トレースを図示していない。
- 文科省ほか(2015)は、猿山岬北方沖の断層に対応する位置の一部に、断層長さ:10.7km, 南東傾斜65°の断層として、震源断層モデルNT7を設定している。

紫字: 第1144回審査会合以降に変更した箇所

※1: 猿山岬北方沖の断層の調査データは補足資料2.5-2

※2: 以外の猿山岬北方沖の断層を確認した音波探査記録はデータ集2

【活動性評価】※1

○猿山岬北方沖の断層は、猿山岬以東の区間の能登半島北岸に沿う隆起構造の北限に推定される断層等(以下、猿山岬北方沖断層)と猿山岬以西の断層等(以下、猿山岬以西の断層)から構成される(補足資料2.5-2(3)P.2.5-2-3)。

○海上音波探査の結果、猿山岬北方沖断層には、上部更新統及びそれより下位の地層に変位、変形が認められることから断層を推定し、B₁層以上に変位、変形が認められると判断した(補足資料2.5-2(3)P.2.5-2-4~8)。

○海上音波探査の結果、猿山岬以西の区間には、少なくとも上部更新統に猿山岬以西の断層に相当する断層等は認められない(補足資料2.5-2(3)P.2.5-2-9~13)。

→海上音波探査の結果、猿山岬北方沖の断層の内、後期更新世以降の活動が認められた猿山岬以東の区間を猿山岬北方沖断層と評価。猿山岬以西の断層は、後期更新世以降の活動は認められないと評価。

→猿山岬北方沖断層は文献調査の結果、井上・岡村(2010)等から南東傾斜(約65°)の逆断層と推定され、海上音波探査の結果からも、北西落ちの変位、変形が認められることから、現在の応力場と能登半島周辺に分布する断層の形成メカニズム(P.34~36)を踏まえると、南東傾斜の逆断層と推定される。

⇒文献調査及び海上音波探査の結果、猿山岬北方沖断層は、走向がNE-SW方向、南東傾斜(約65°)の逆断層と推定され、後期更新世以降の活動が否定できないと評価。

【長さの評価】※1

■猿山岬北方沖断層
北東端
(補足資料2.5-2(4)P.2.5-2-14, 15)
【海上音波探査】

○L1測線及びN-134測線において、猿山岬北方沖断層を示唆するような変位、変形は認められない。

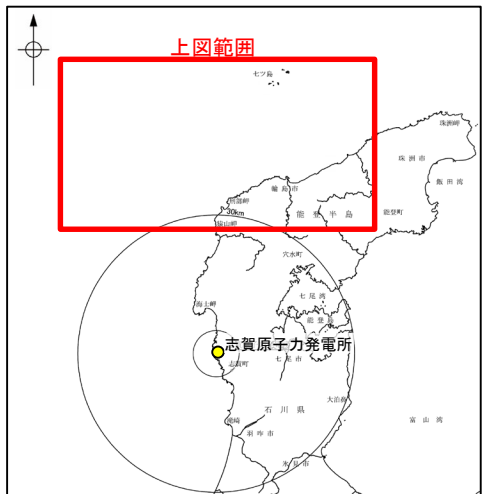
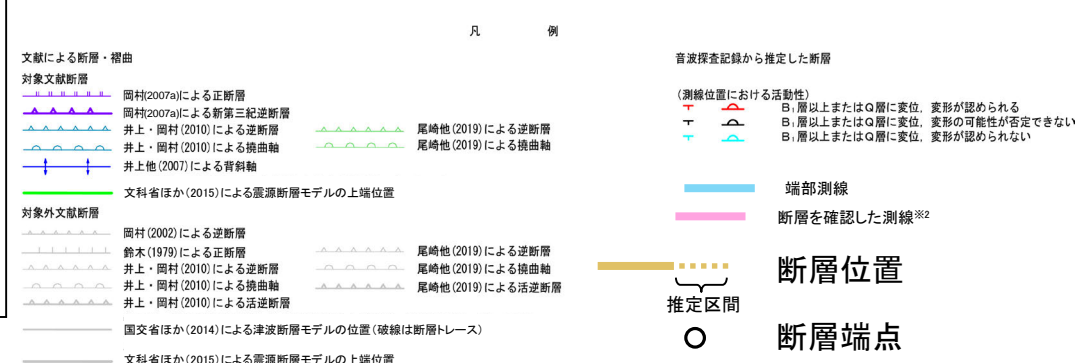
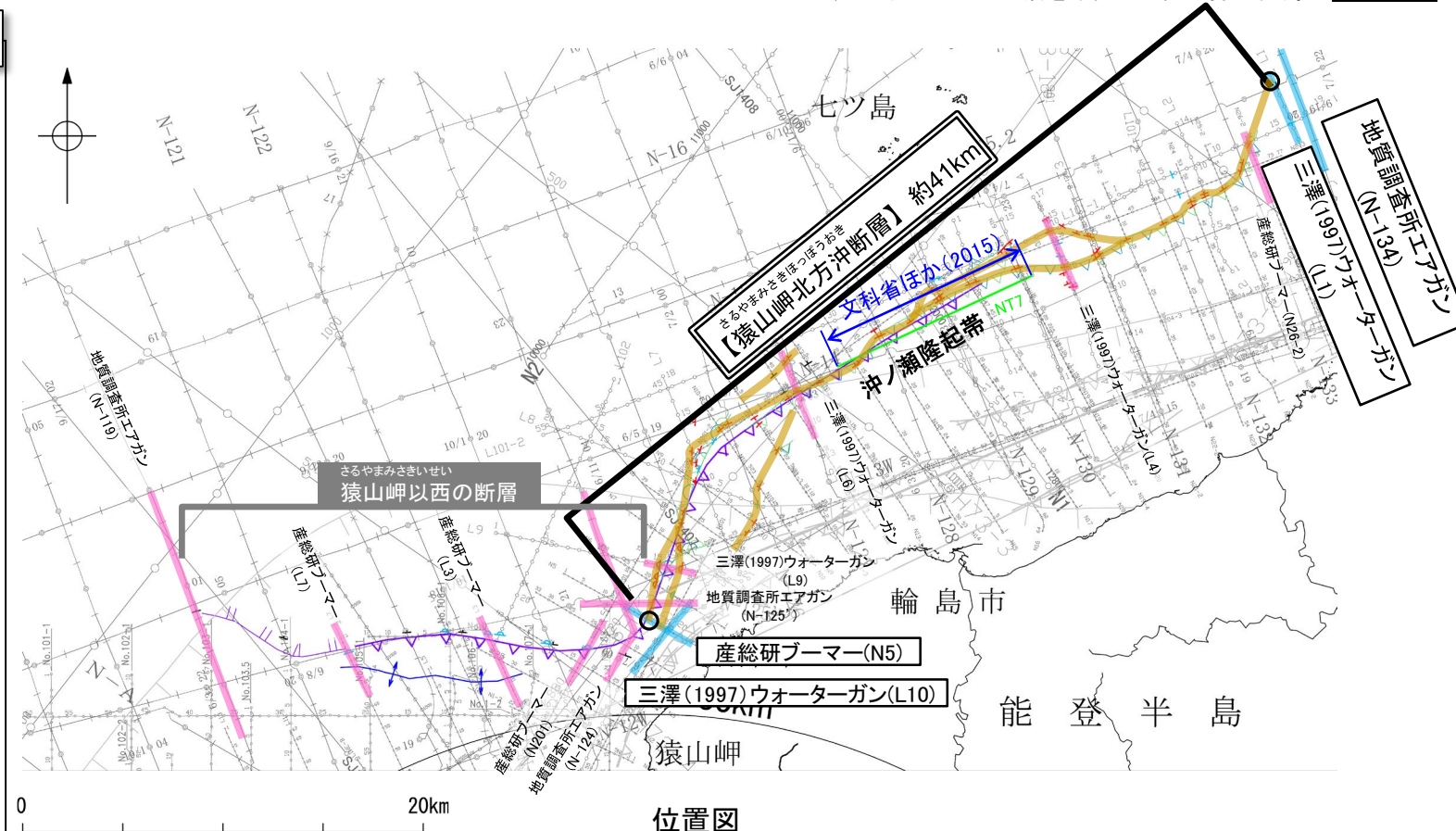
→L1測線を北東端と評価。

■猿山岬北方沖断層
南西端
(補足資料2.5-2(4)P.2.5-2-16, 17)
【海上音波探査】

○N5測線及びL10測線において、猿山岬北方沖断層を示唆するような変位、変形は認められない。

→N5測線を南西端と評価。

⇒猿山岬北方沖断層は、L1測線(北東端)からN5測線(南西端)までの約41km区間を評価。



猿山岬北方沖断層は後期更新世以降の活動が否定できず、その長さとして約41km区間を評価する。

猿山岬以西の断層は少なくとも上部更新統には相当する断層等は認められず、後期更新世以降の活動は認められない。

枠囲みの内容は機密事項に属しますので公開できません。